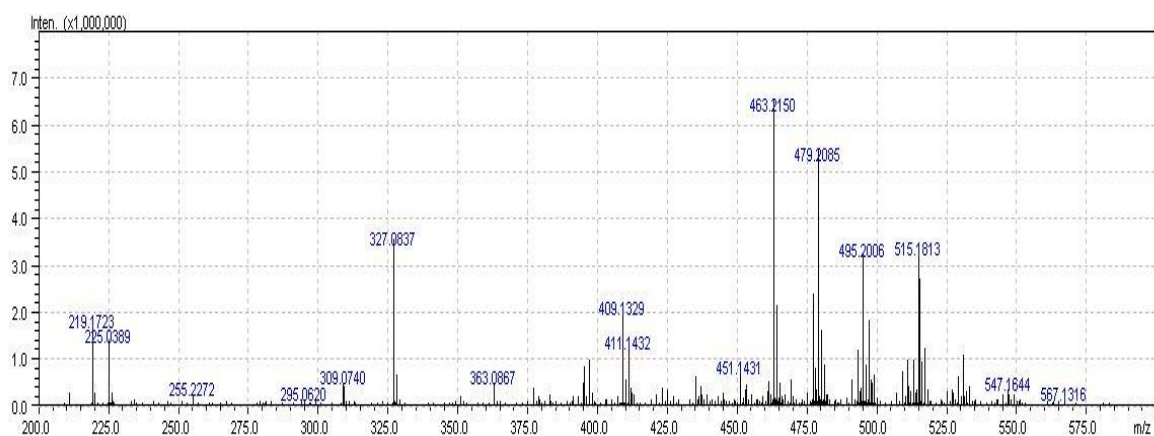


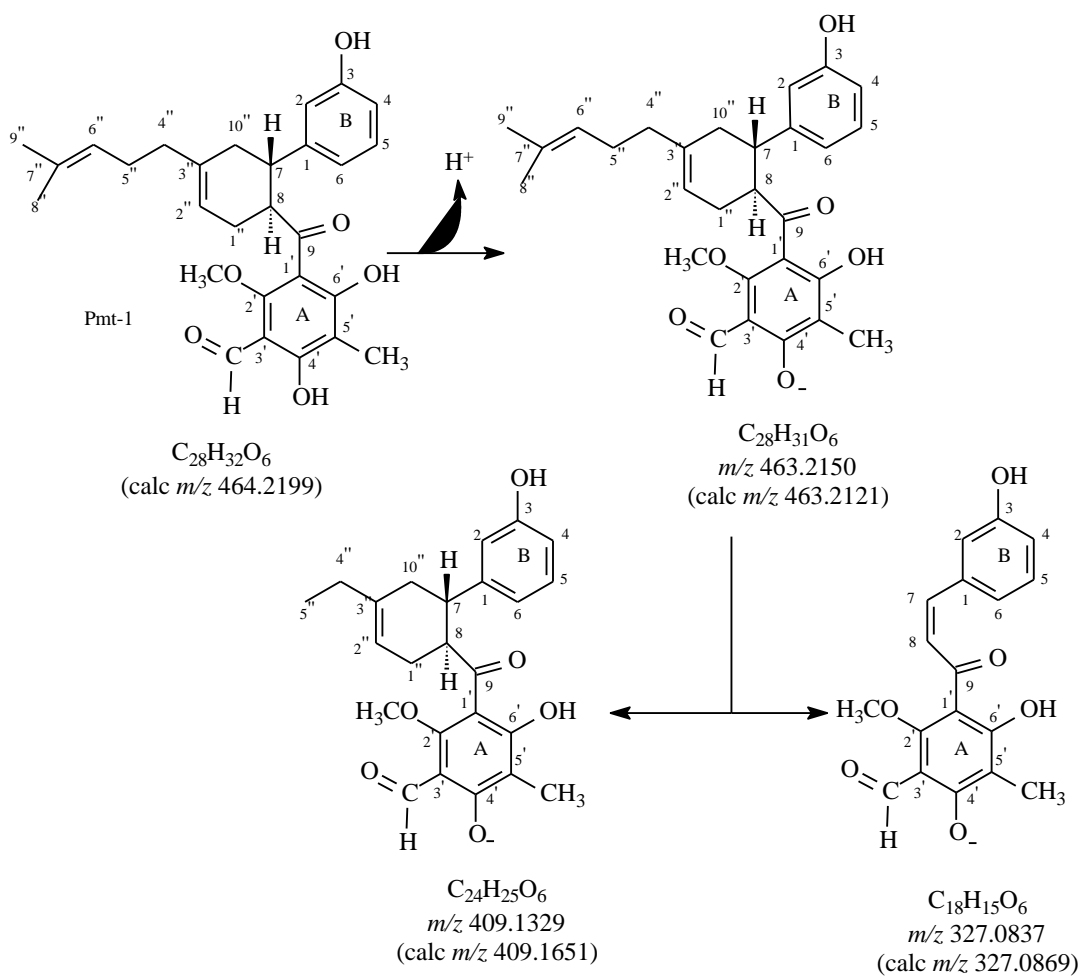
Pmt-1

1 and 3 (M.M = 464u)

Modo Negativo ESI(-)



Espectro de massas de alta resolução (EMAR) da Pmt-1:



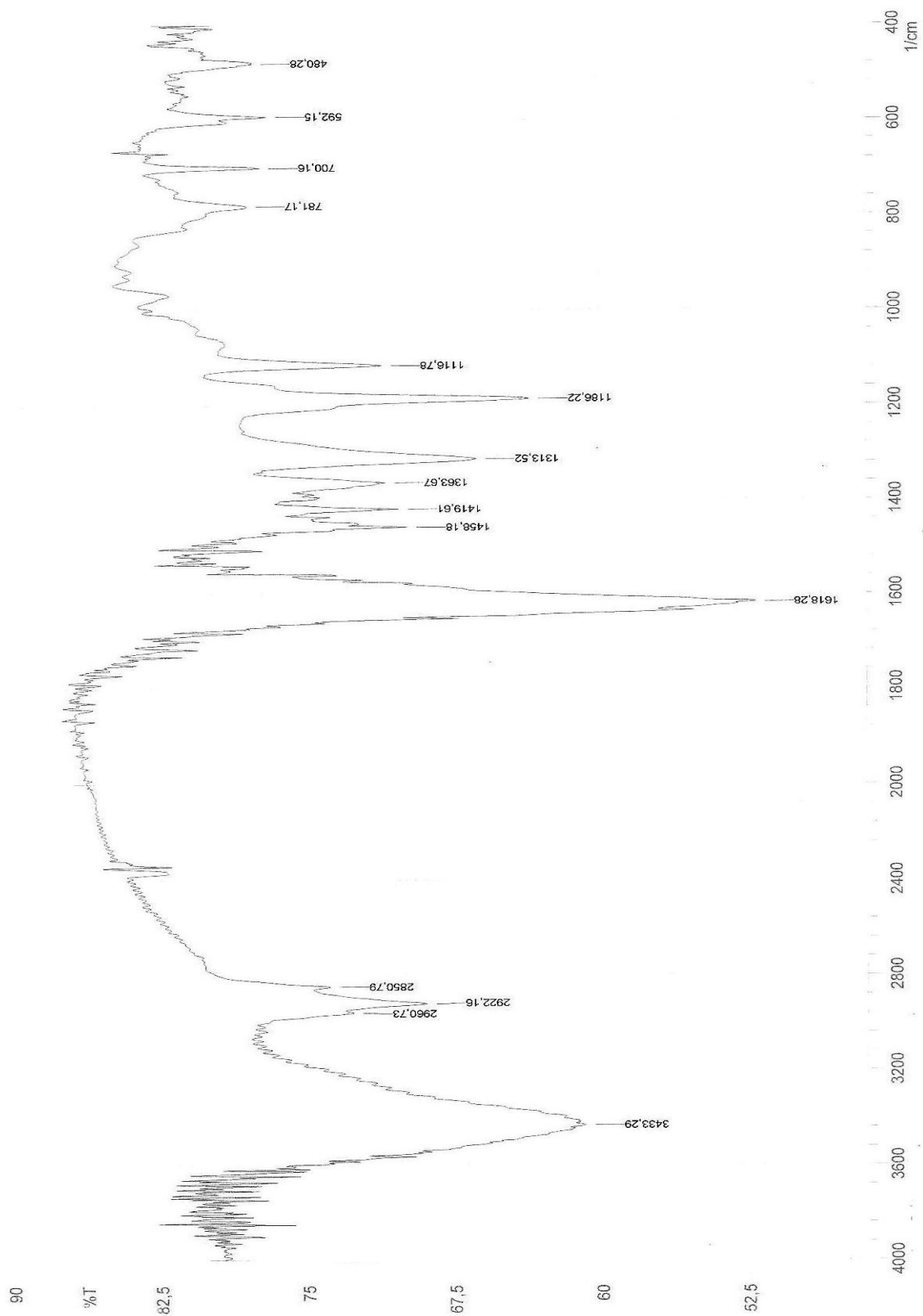


Figura 8: espectro no Infravermelho (λ_{\max} , KBr, cm^{-1}) de Pmt-1

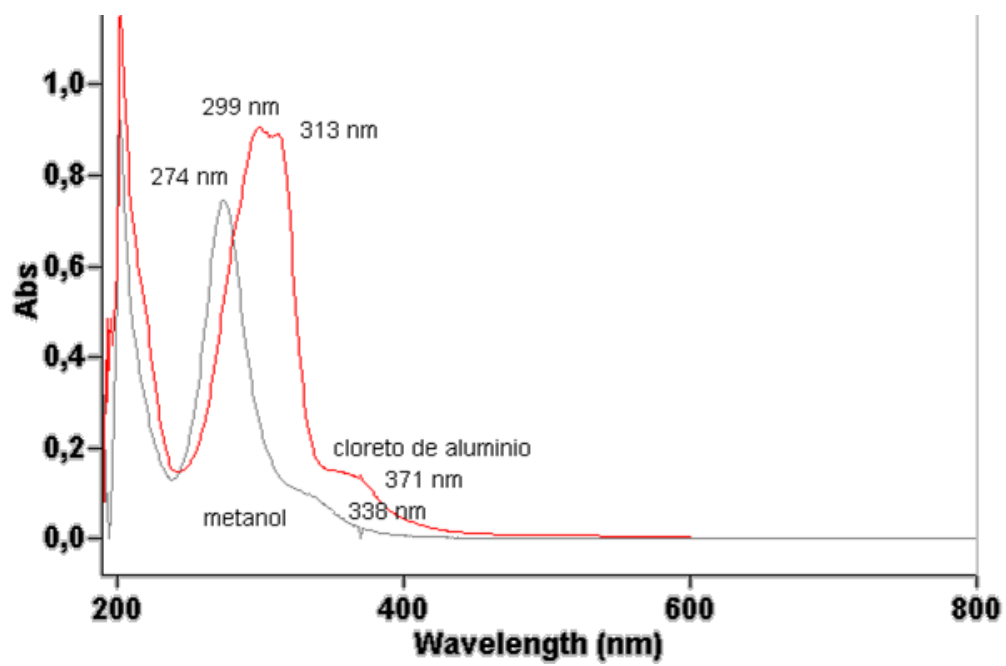


Figura 9: espectro no ultravioleta (λ_{\max} , MeOH; MeOH + AlCl₃) de Pmt-1

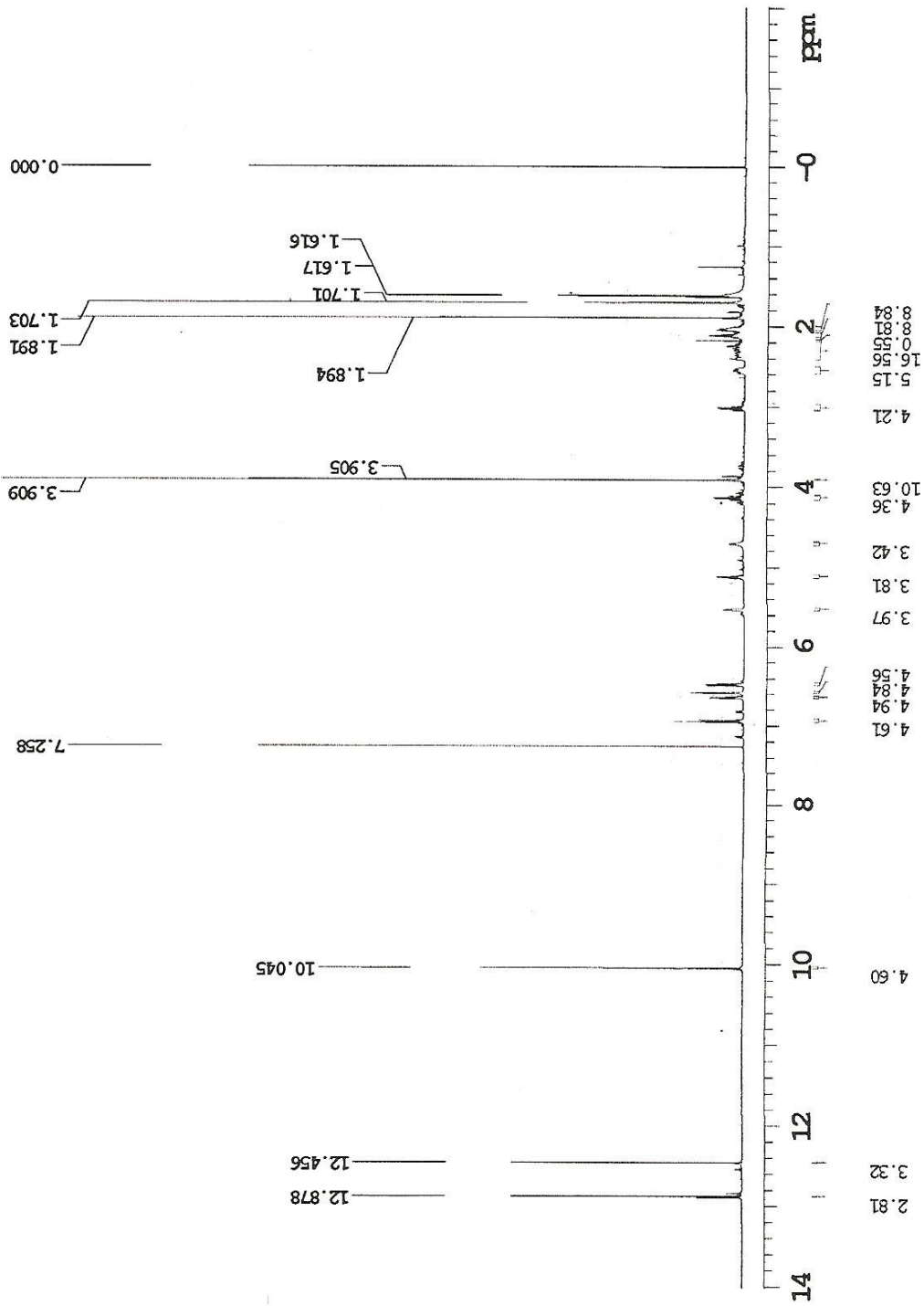


Figura 10 – Espectro de RMN ^1H (δ , CDCl_3 , 500 MHz) de Pmt-1

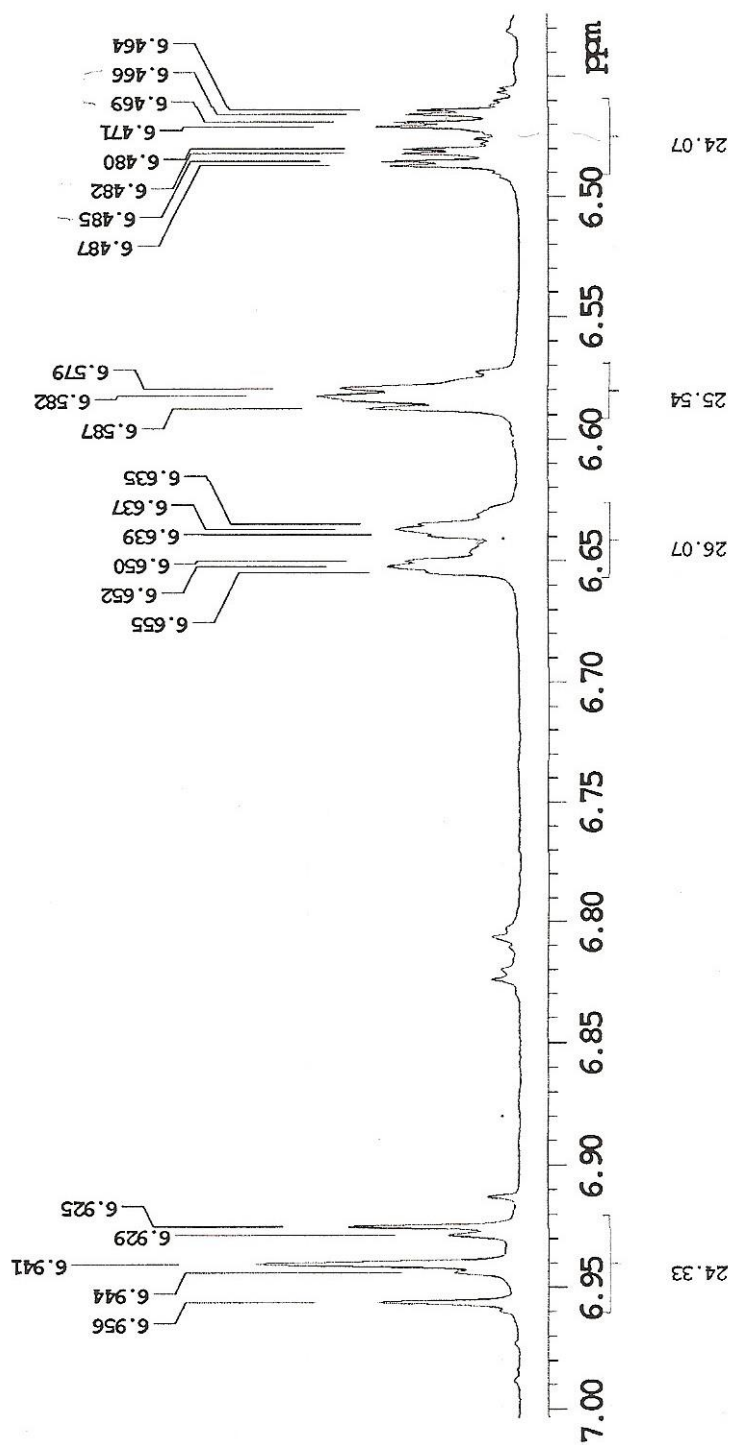


Figura 11 – expansão do espectro de RMN ¹H (δ, CDCl₃, 500 MHz) de Pmt-1

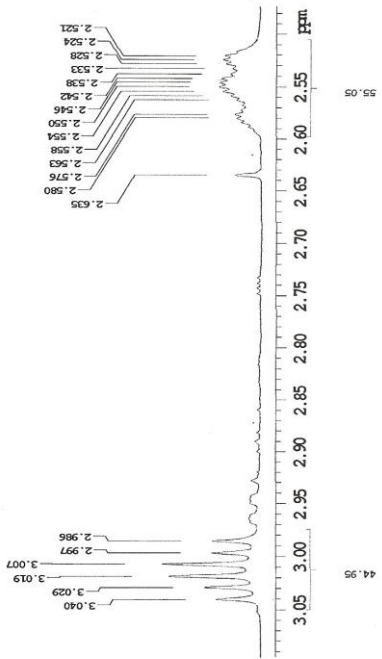
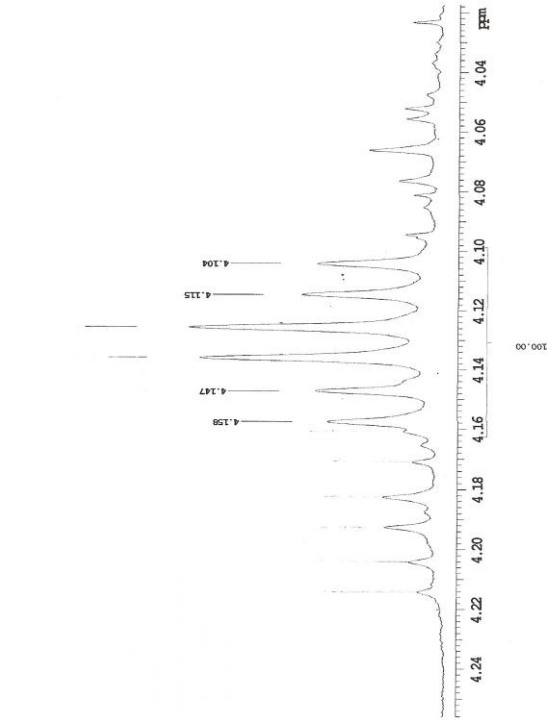
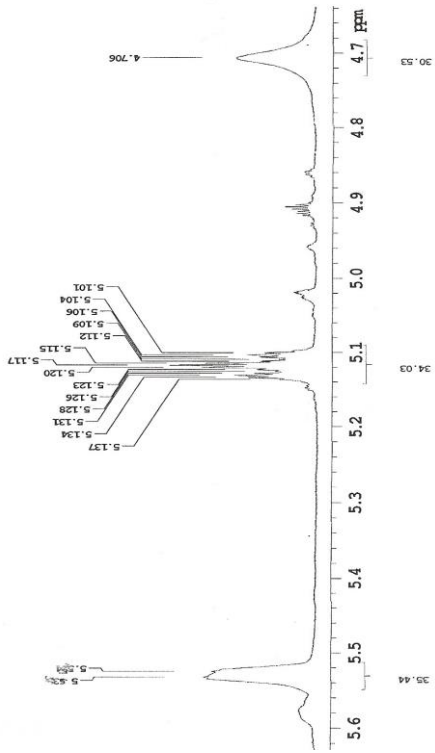


Figura 12, 13 e 14 – expansões do espectro de RMN ^1H (δ , CDCl_3 , 500 MHz) de Pmt-1

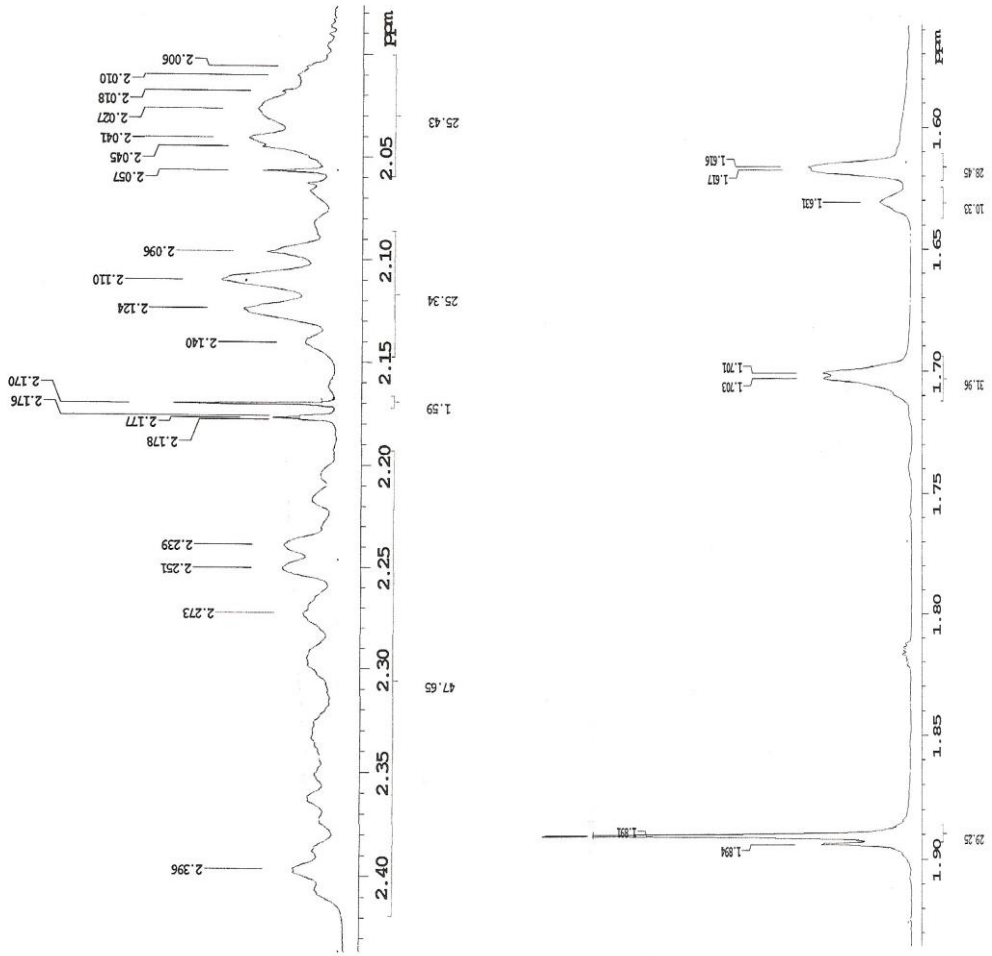


Figura 15 e 16 – expansões do espectro de RMN ¹H (δ, CDCl₃, 500 MHz) de Pmt-1

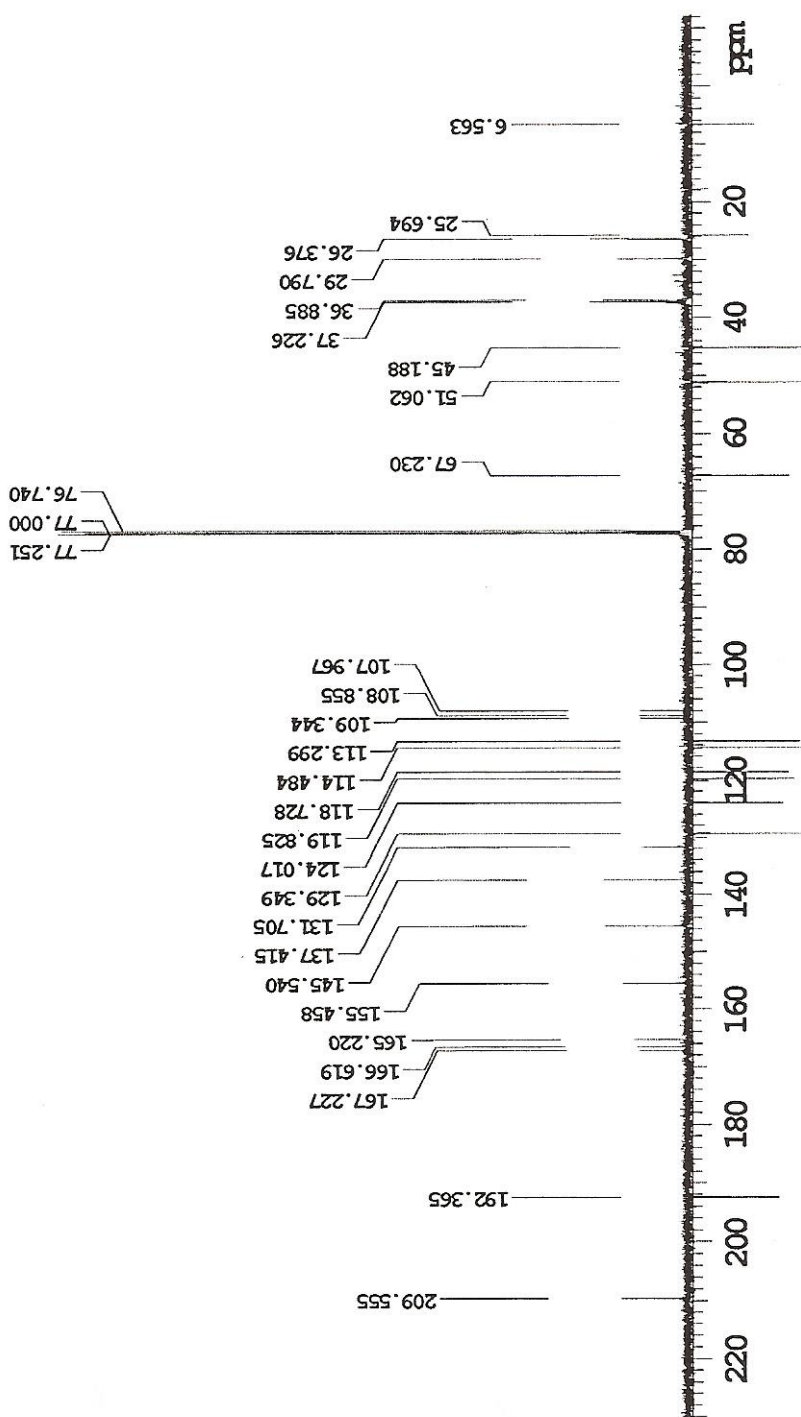


Figura 17 – espectro de RMN de ^{13}C , técnica APT (δ , CDCl_3 , 125 MHz) de Pmt-1

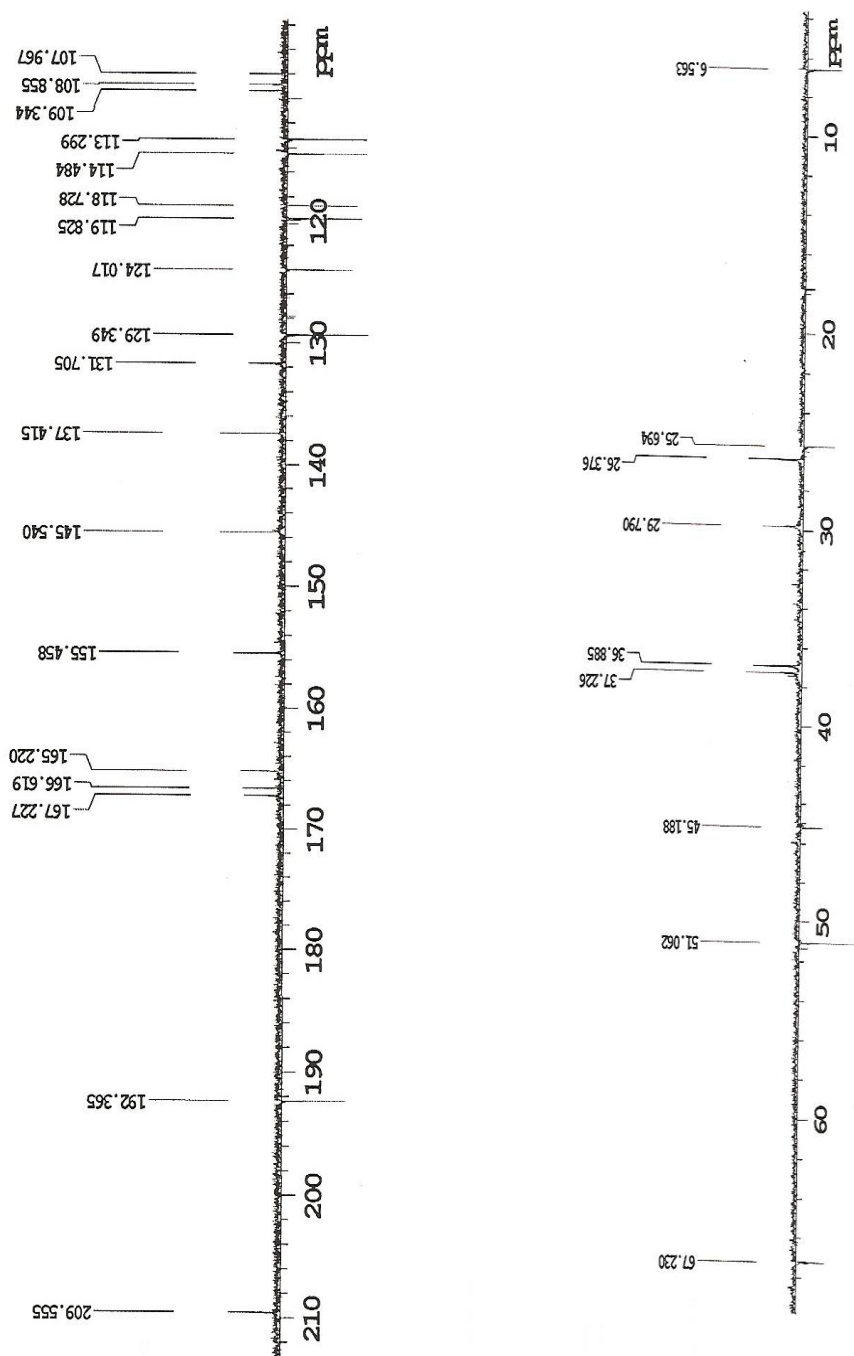


Figura 18 e 19 – expansões do espectro de RMN de ^{13}C (δ , CDCl_3 , 125 MHz) de Pmt-1

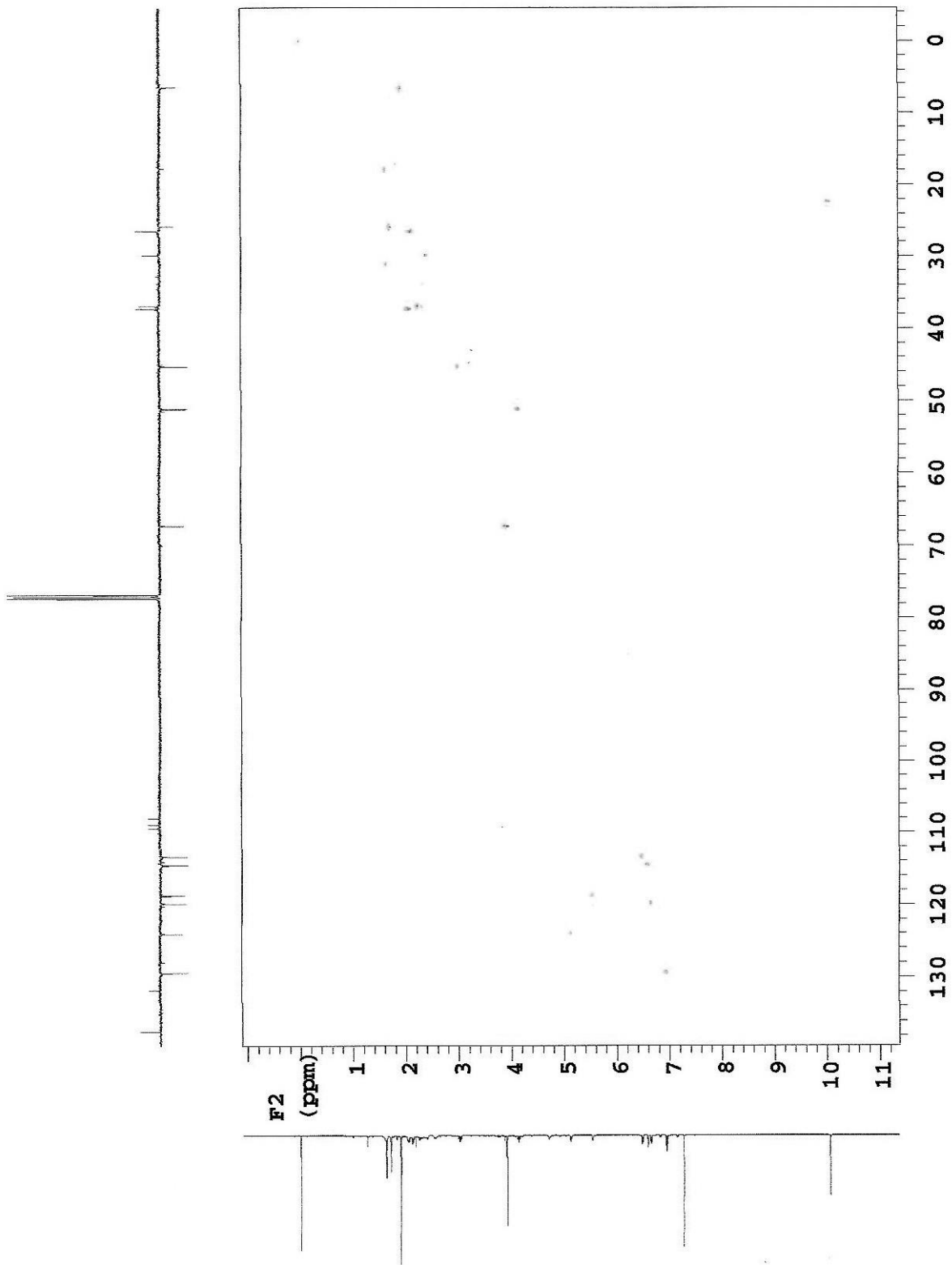


Figura 20 – espectro de correlação heteronuclear HMQC – $^1\text{H} \times ^{13}\text{C}$ de Pmt-1

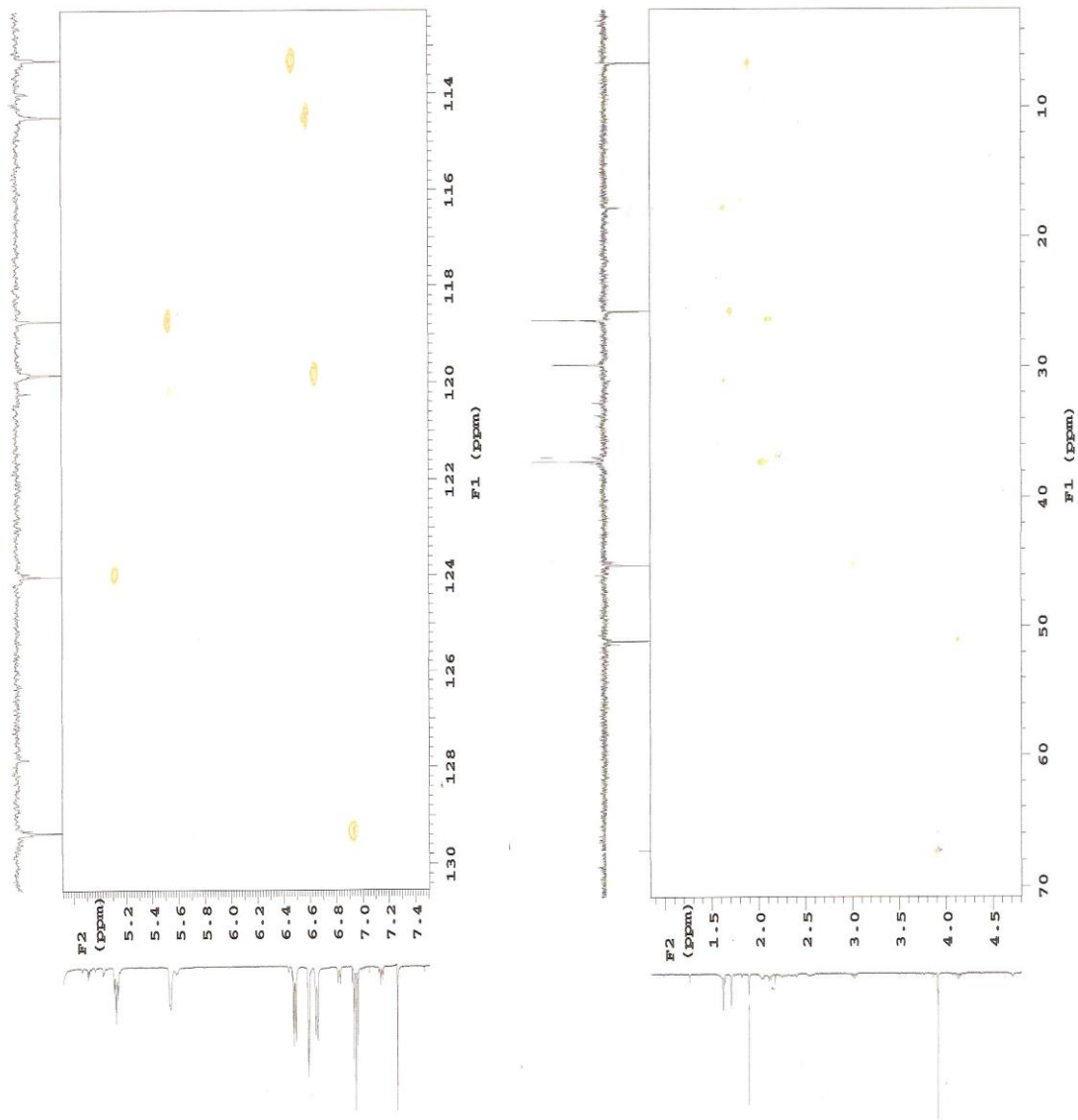


Figura 21 e 22 – expansões do espectro de correlação heteronuclear HMQC – $^1\text{H} \times ^{13}\text{C}$ de Pmt-1

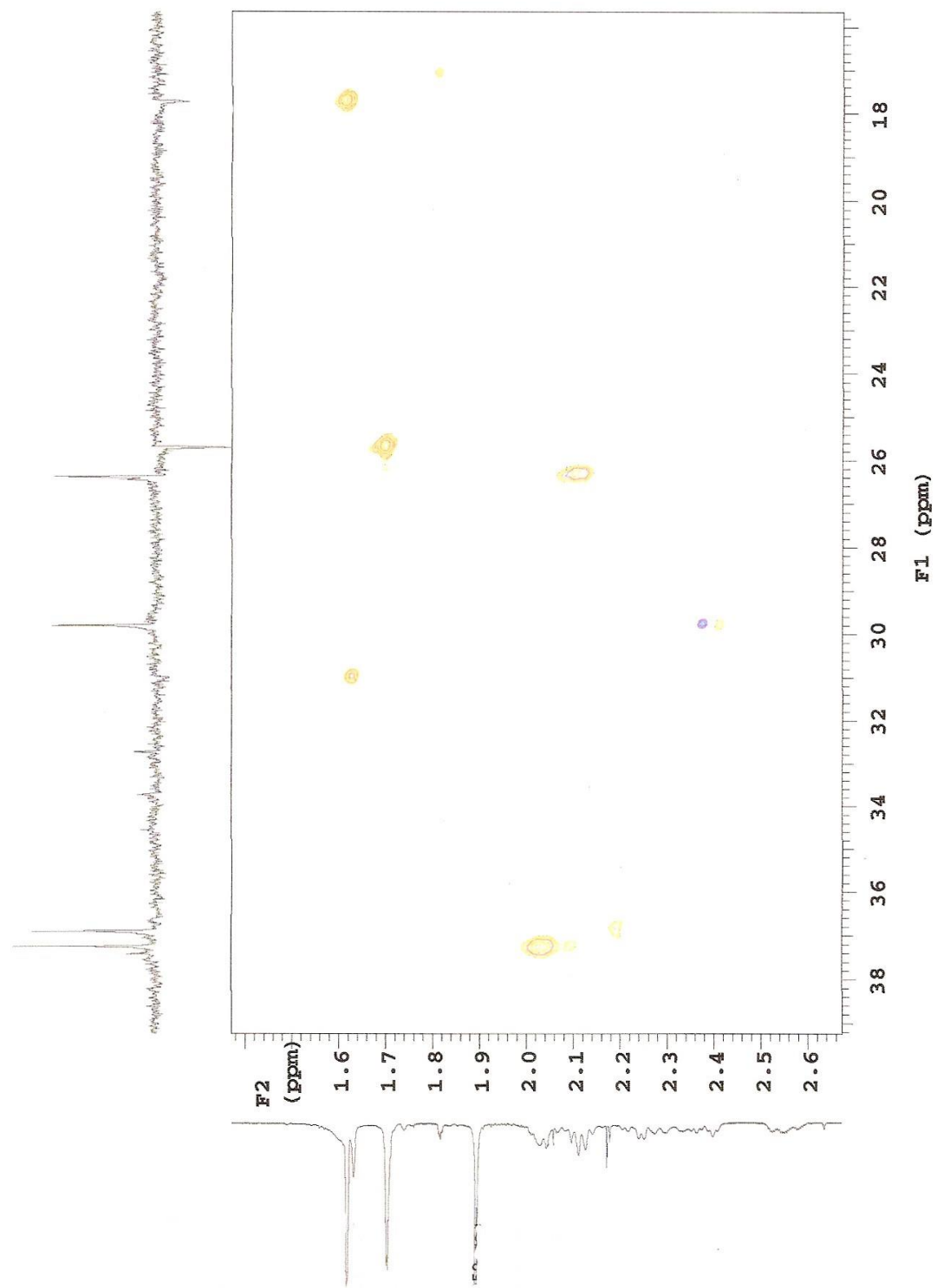


Figura 23 – expansão do espectro de correlação heteronuclear HMQC – ^1H x ^{13}C de Pmt-1

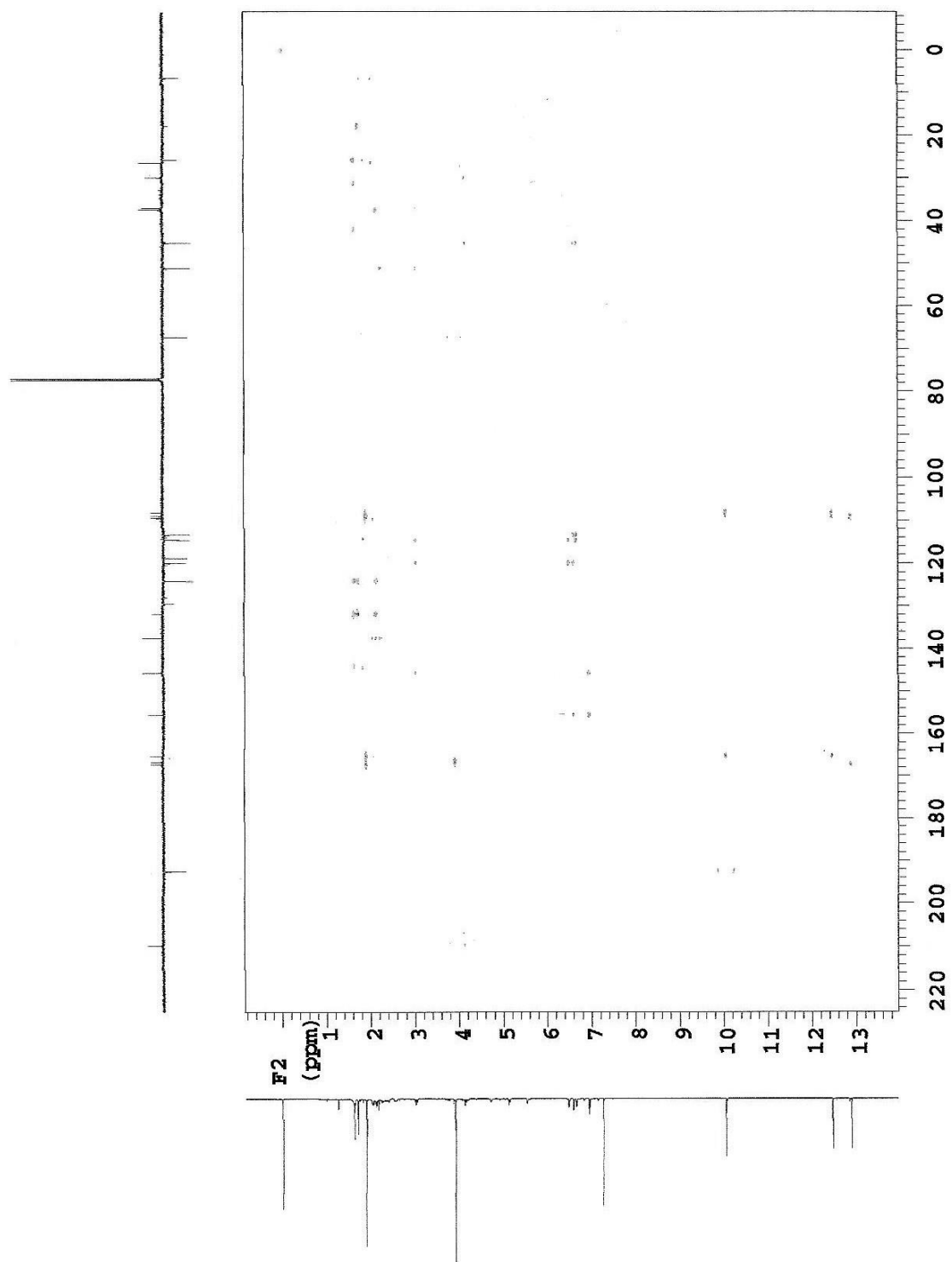


Figura 24 – espectro de correlação heteronuclear HMBC – $^1\text{H} \times ^{13}\text{C}$ de Pmt-1

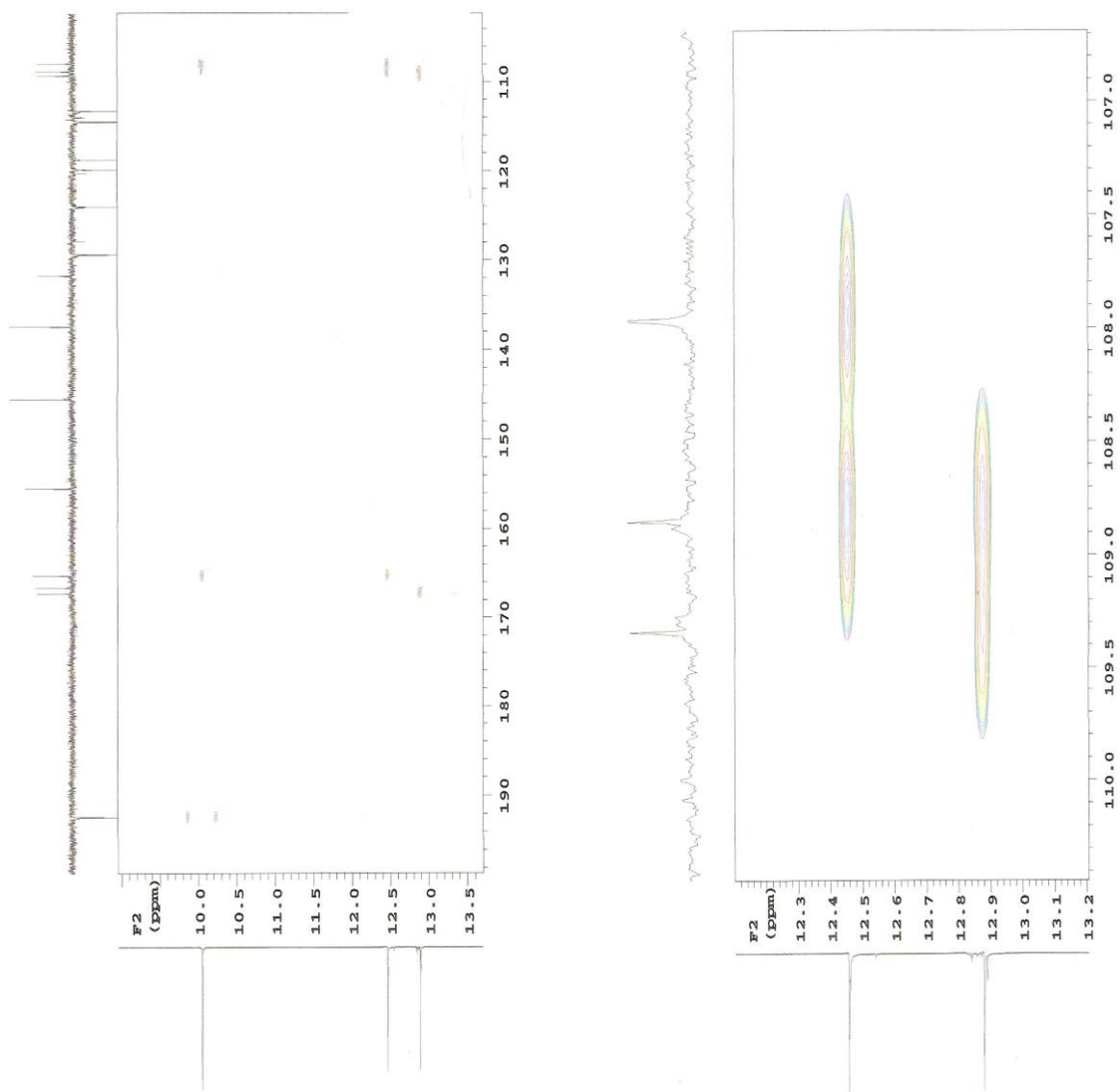


Figura 25 e 26 – expansões do espectro de correlação heteronuclear HMBC – $^1\text{H} \times ^{13}\text{C}$ de Pmt-1

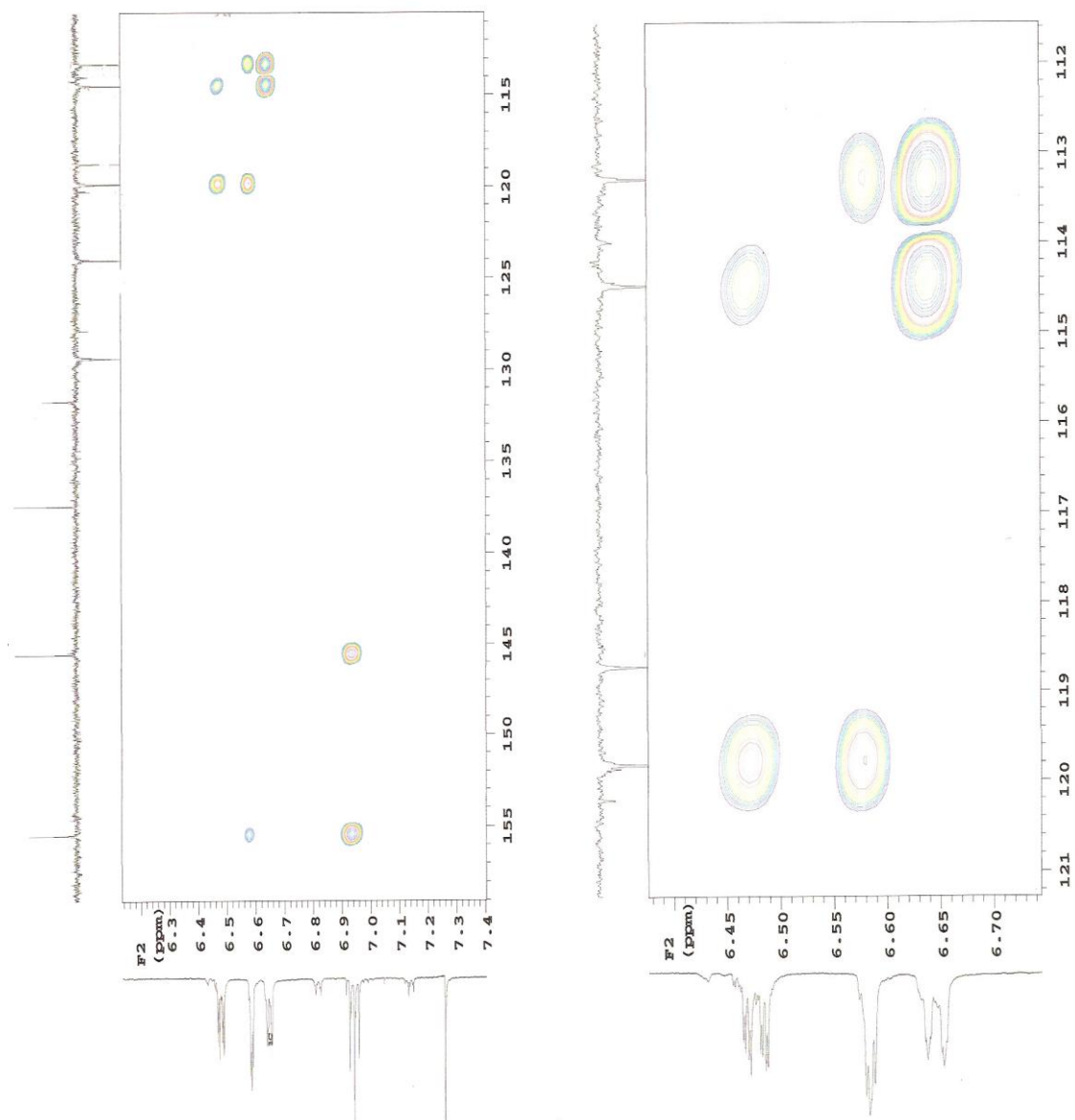


Figura 27 e 28 – expansões do espectro de correlação heteronuclear HMBC – $^1\text{H} \times ^{13}\text{C}$ de Pmt-1

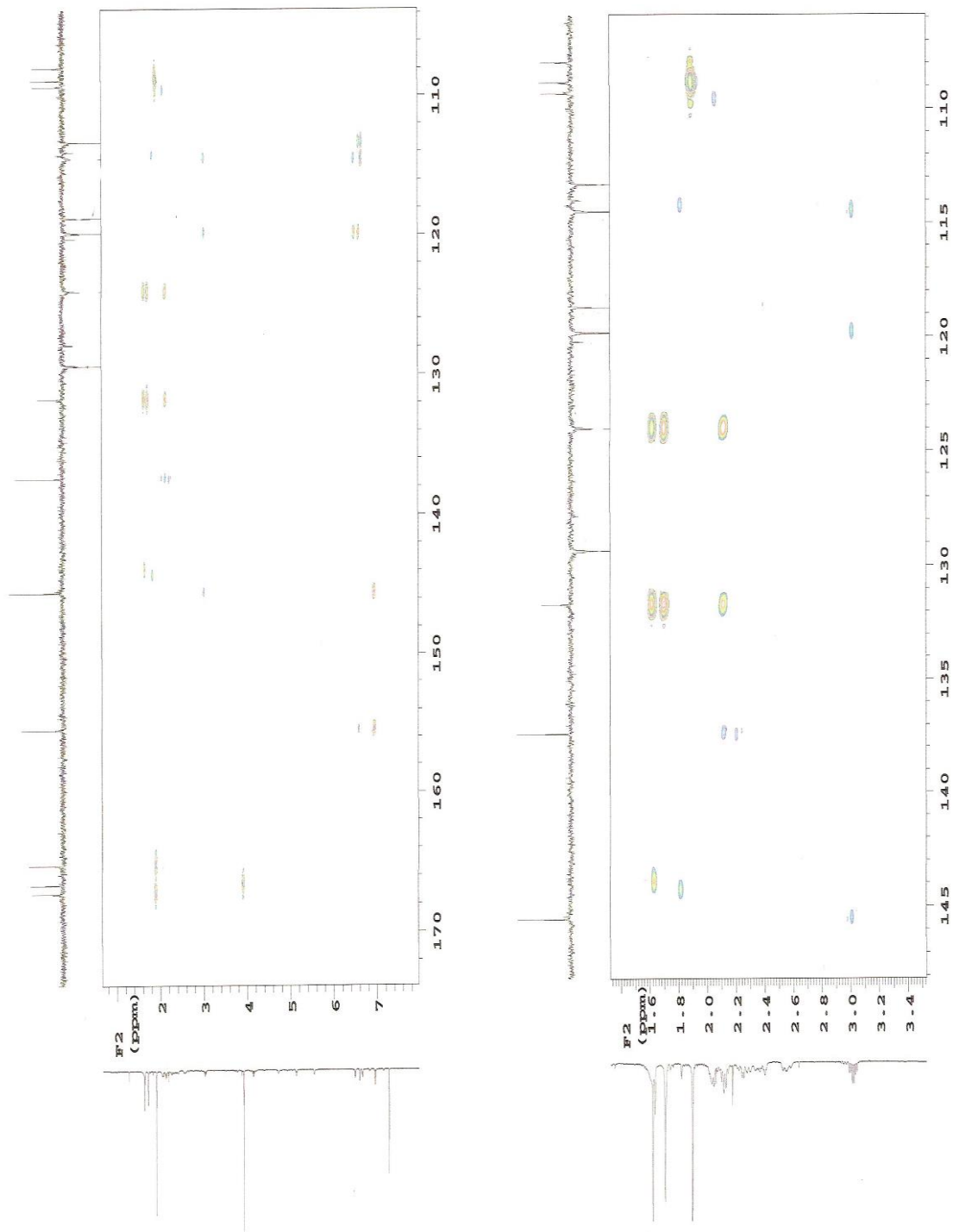


Figura 29 e 30 – expansões do espectro de correlação heteronuclear HMBC – $^1\text{H} \times ^{13}\text{C}$ de Pmt-1

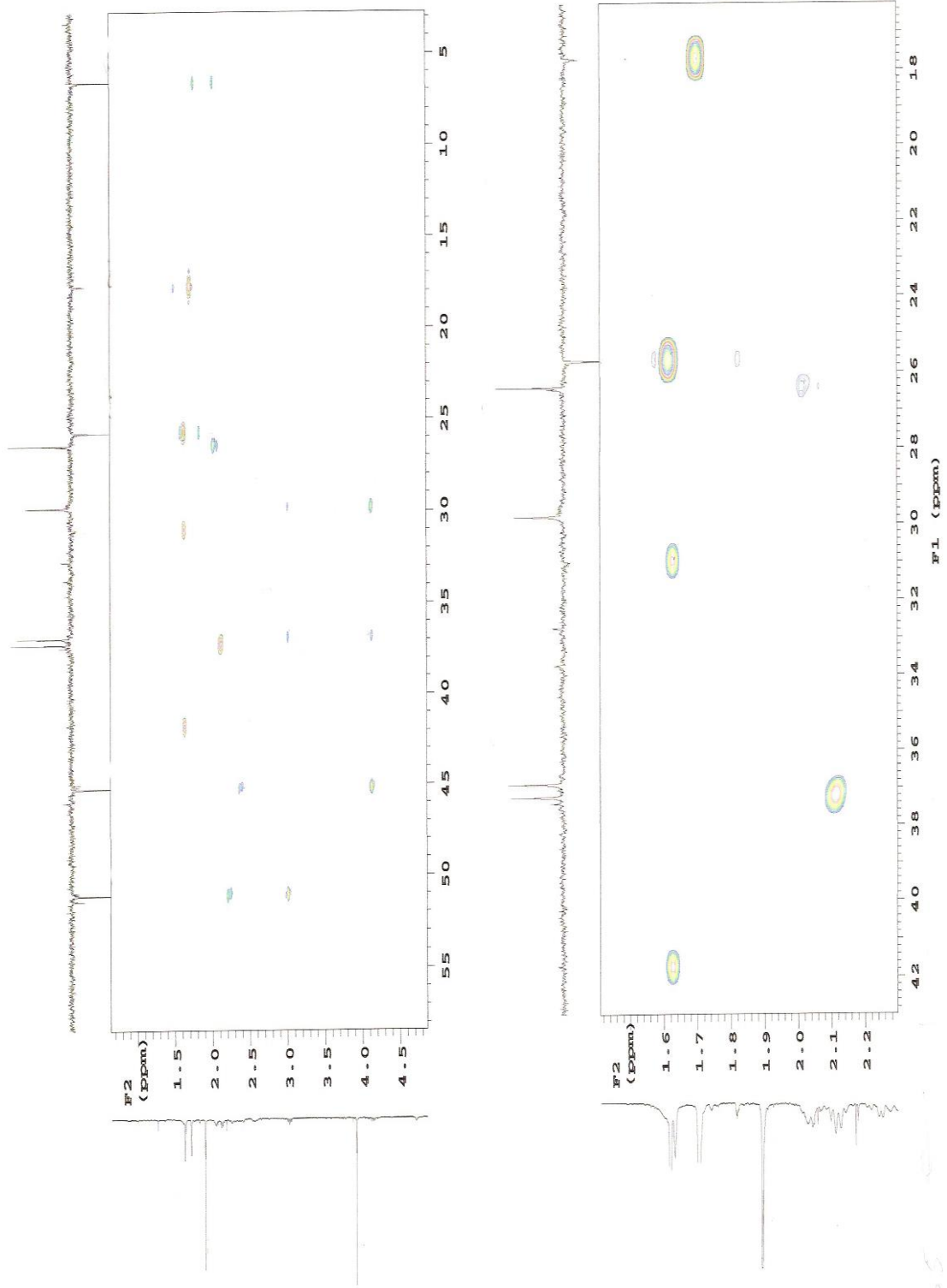


Figura 31 e 32 – expansões do espectro de correlação heteronuclear HMBC – $^1\text{H} \times ^{13}\text{C}$ de Pmt-1

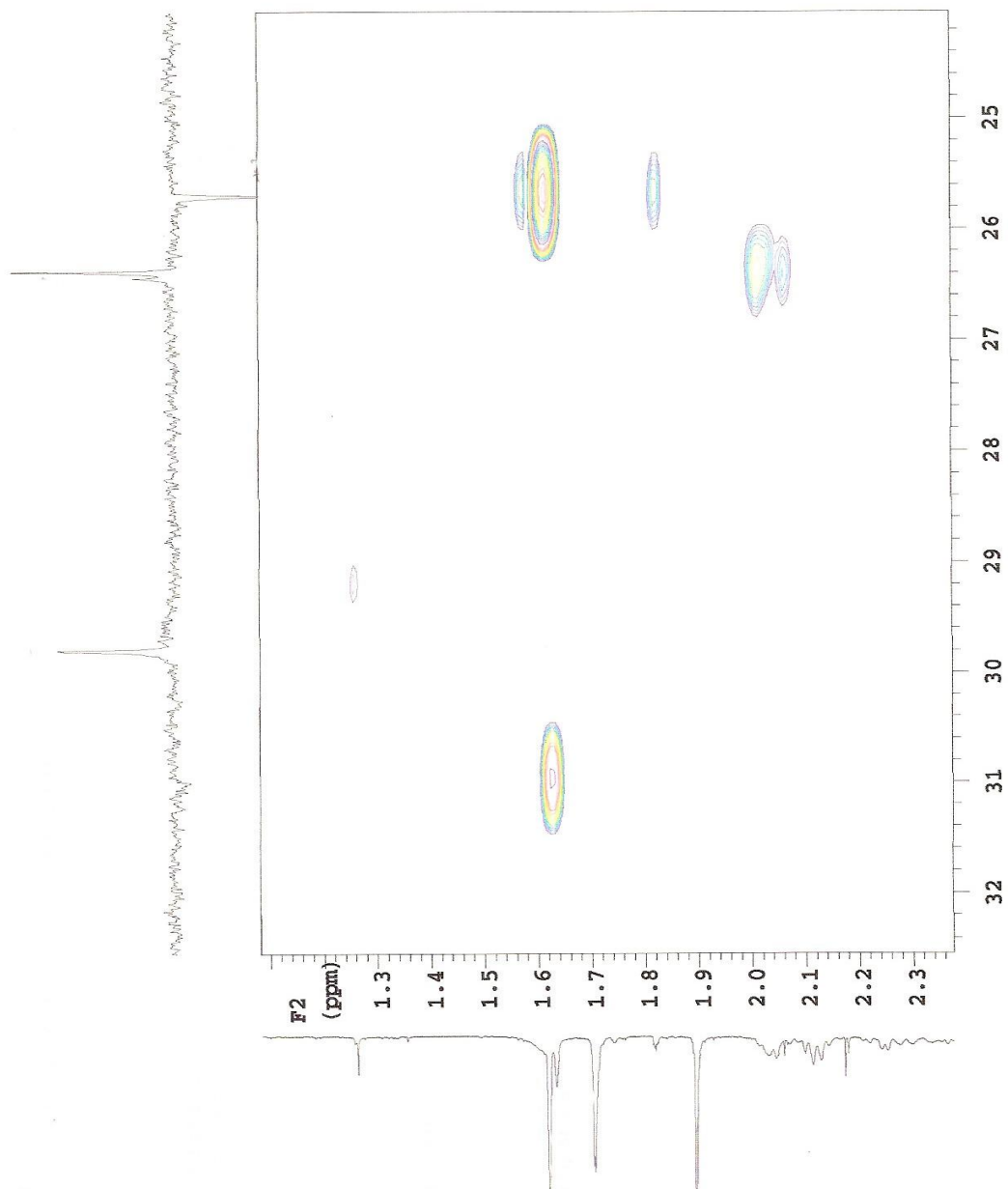


Figura 33 – expansão do espectro de correlação heteronuclear HMBC – ^1H x ^{13}C de Pmt-1

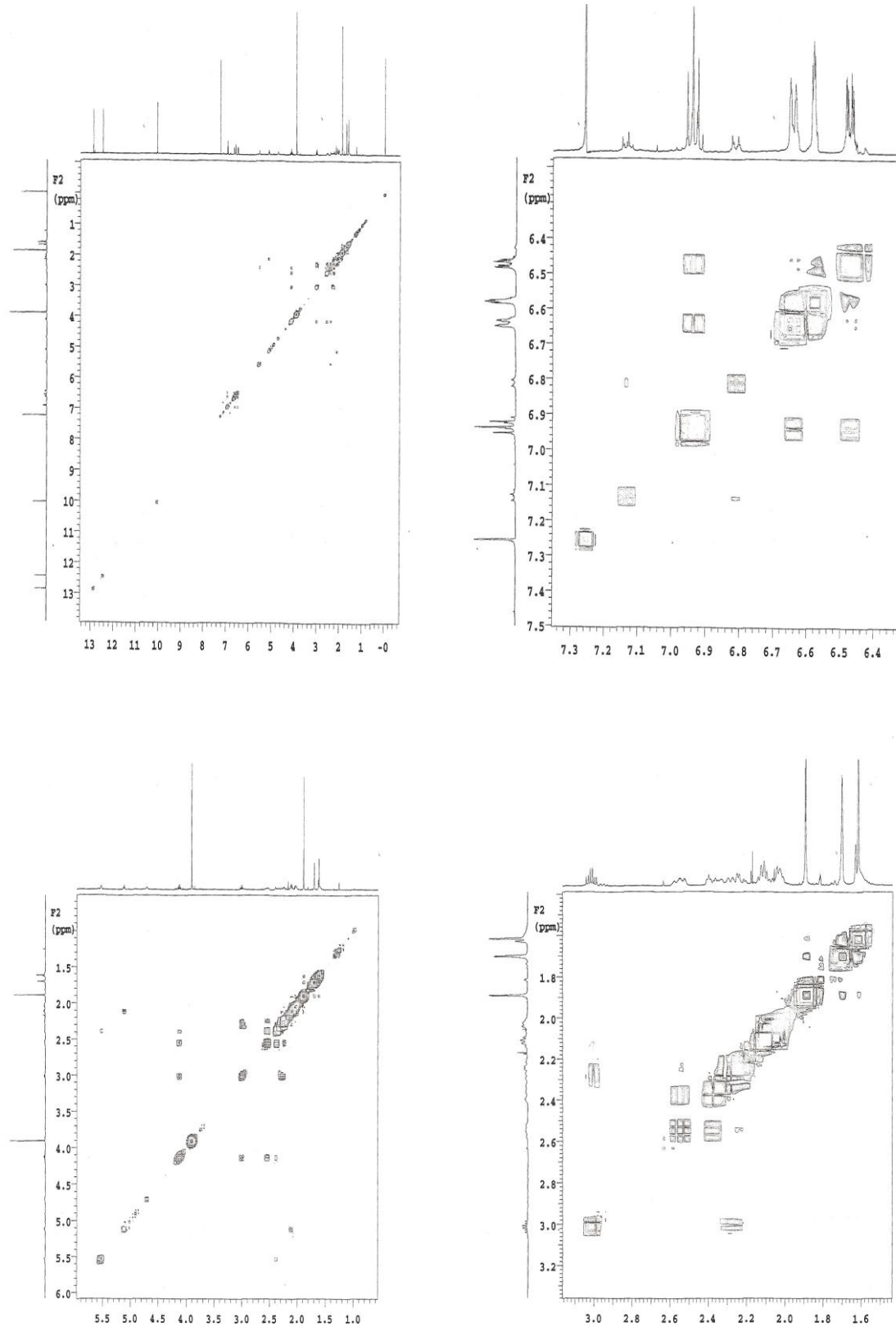


Figura 34-37 – expansões do espectro de correlação homonuclear COSY – $^1\text{H} \times ^1\text{H}$ de Pmt-1

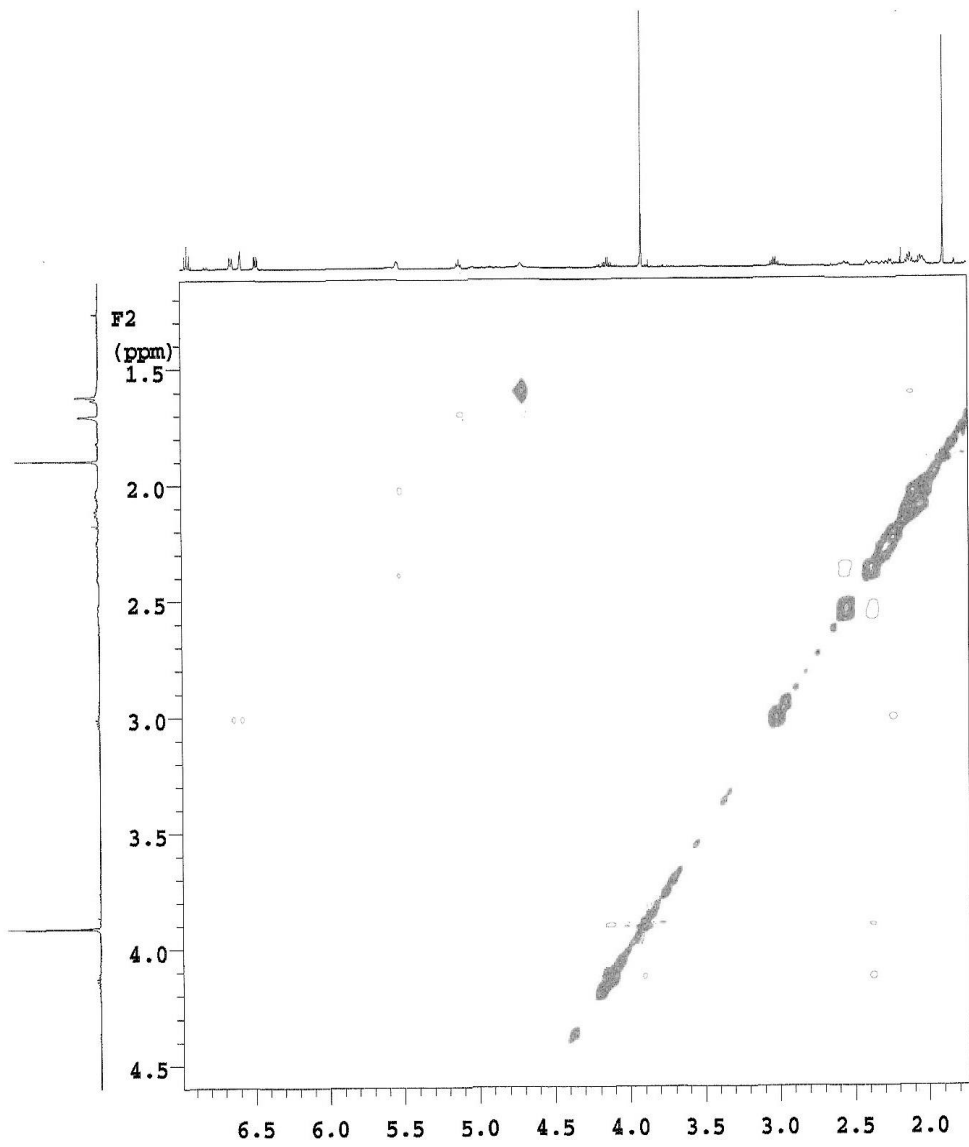
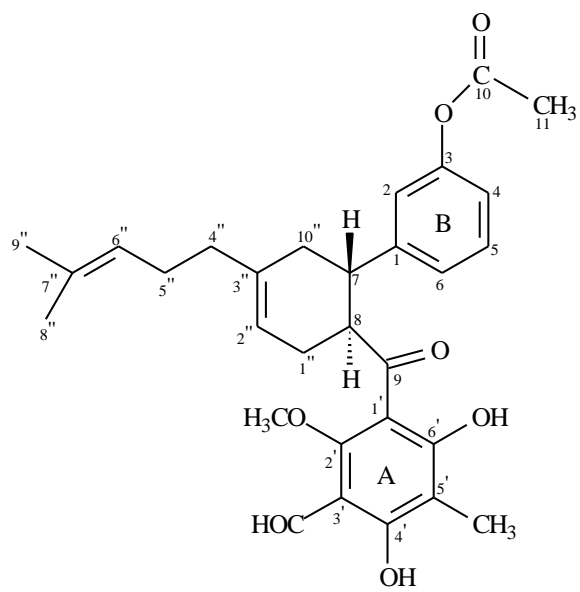


Figura 38: expansão do espectro de correlação homonuclear NOESY – ¹H x ¹H de Pmt-1

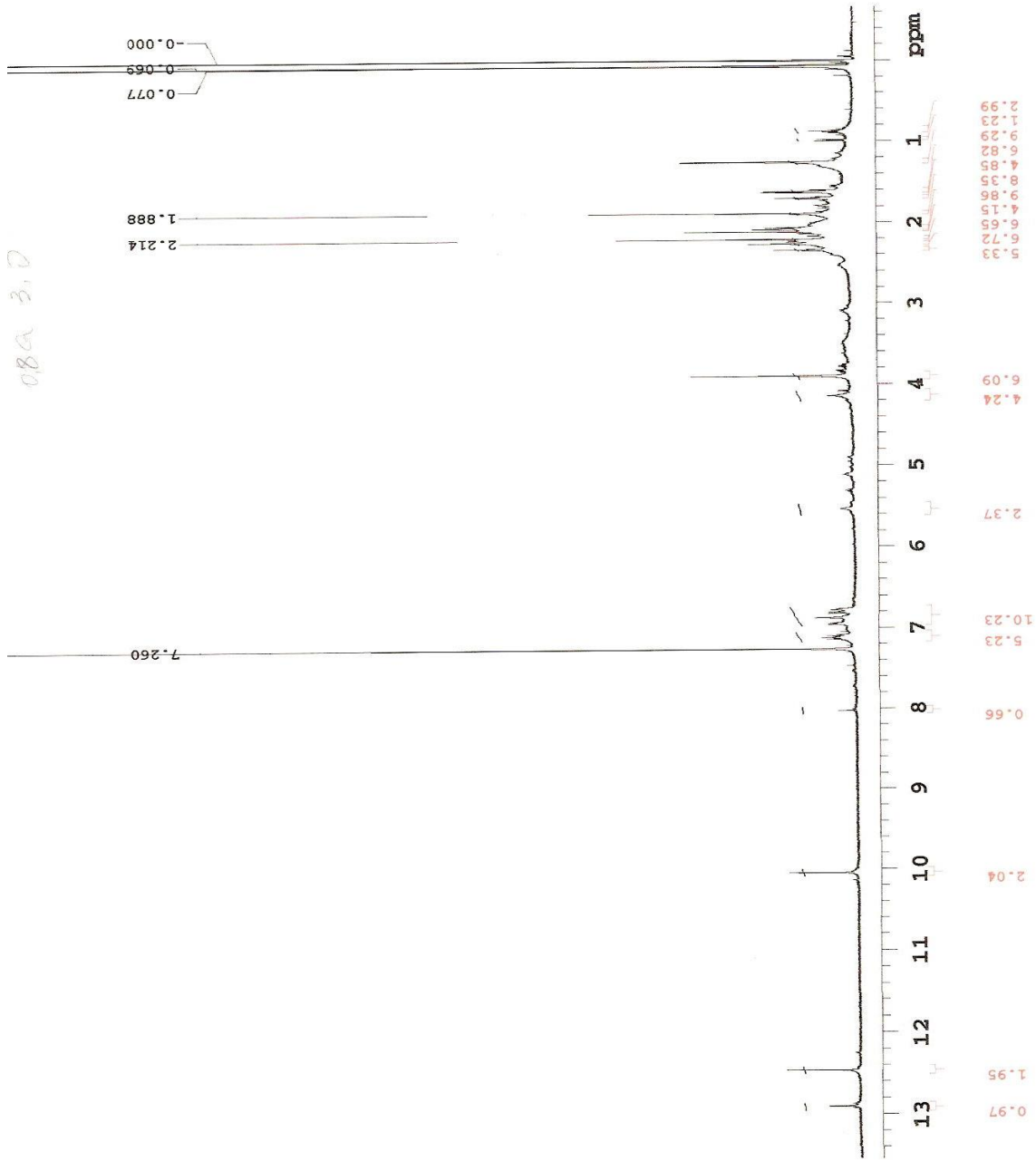


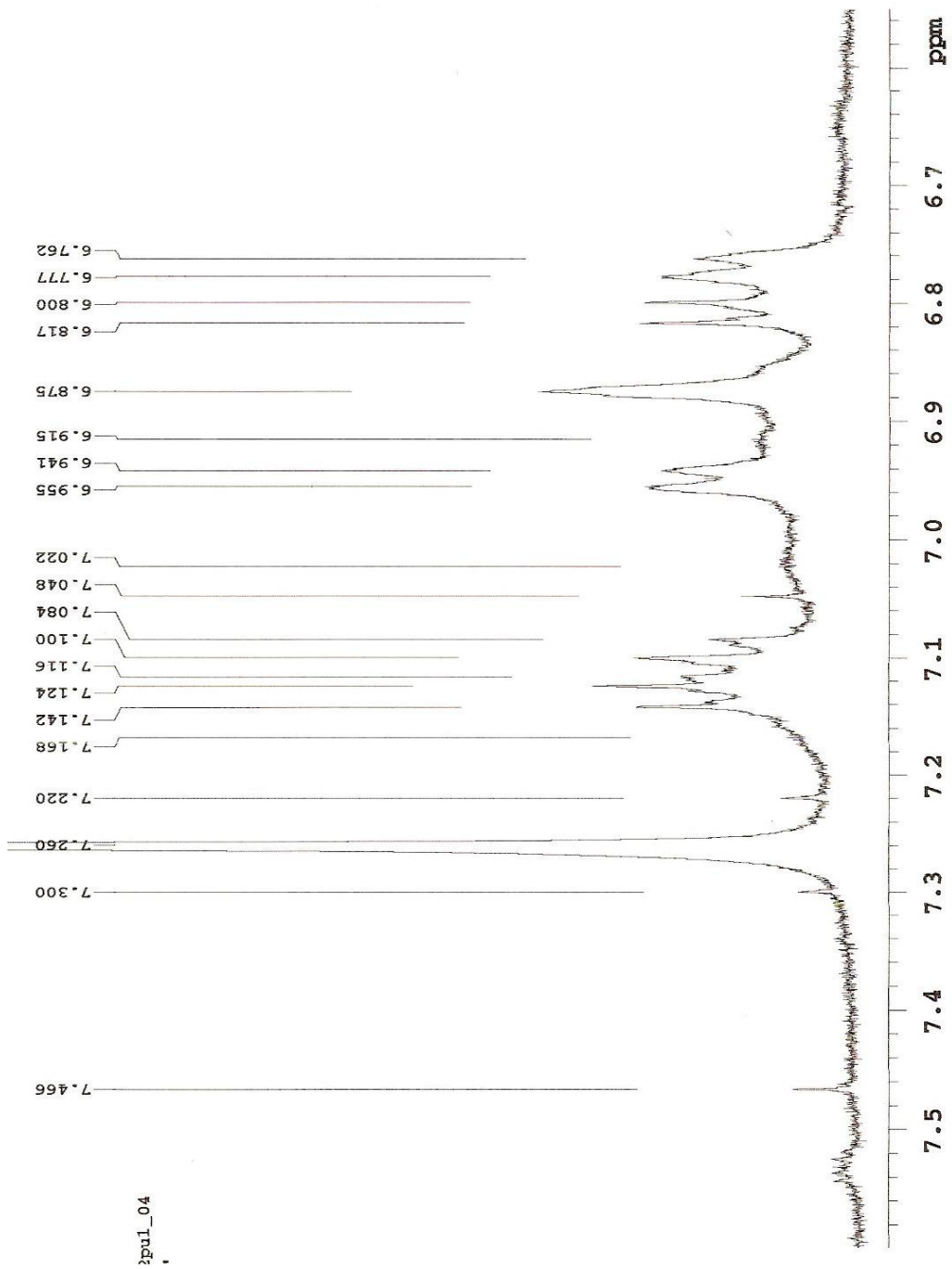
Pmt-1 ACETILADO

Sample: Fmcnte-C2.10.1.4-Fr3acet.
File: xp

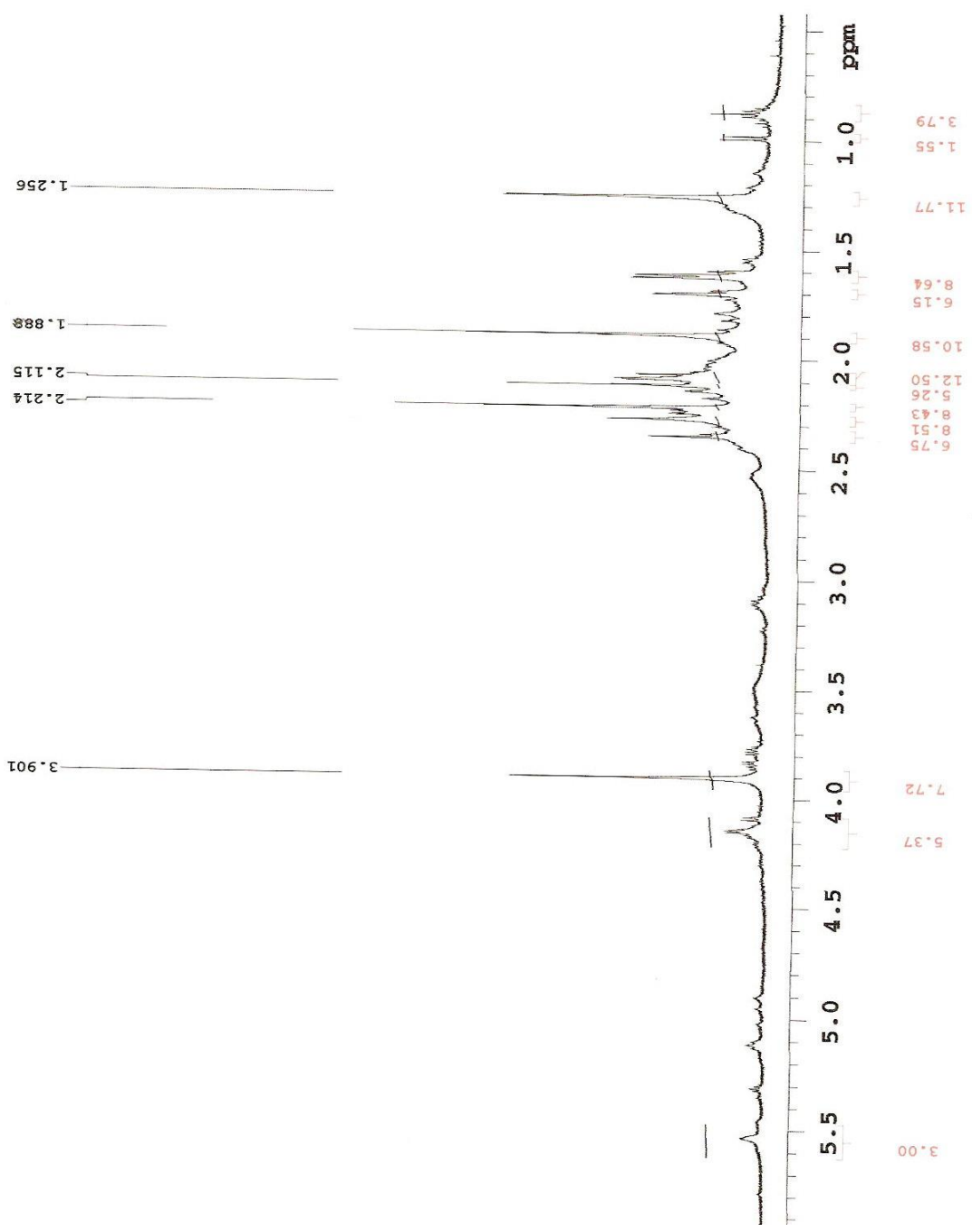
Pulse Sequence: s2pul
Solvent: cdcl3
Temp. 27.0 C / 300.1 K
Operator: vnmr1
VNMR5-500 "varian500.1tf.ufpb.br"

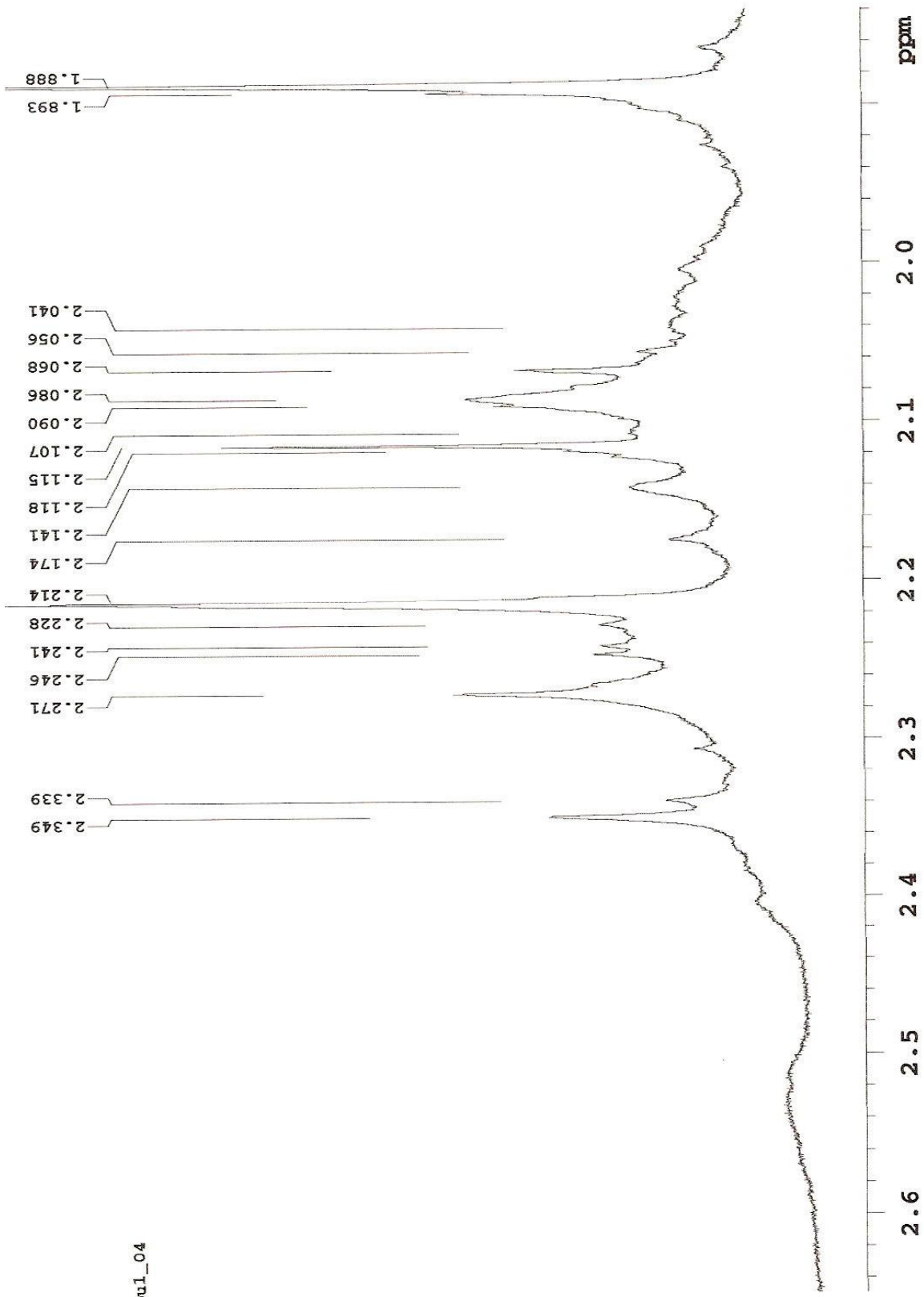
Relax. delay 0.847 sec
Pulse 45.0 degrees
Acq. time 4.153 sec
Width 8012.8 Hz
16 repetitions
OBSERVE H1, 499.5804893 MHz
DATA PROCESSING
Resol. enhancement -0.0 Hz
FT size 131072
Total time 1 min, 30 sec



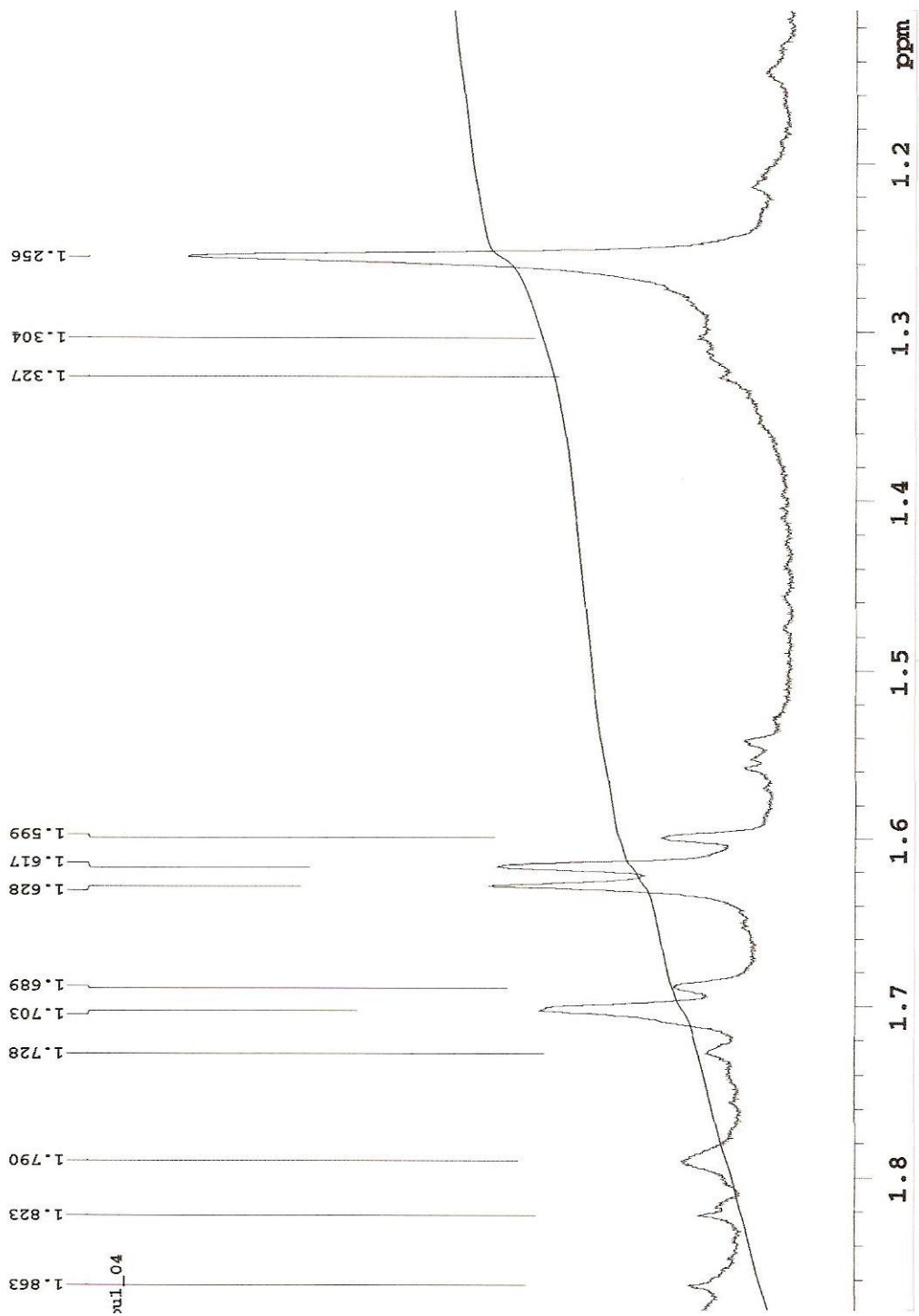


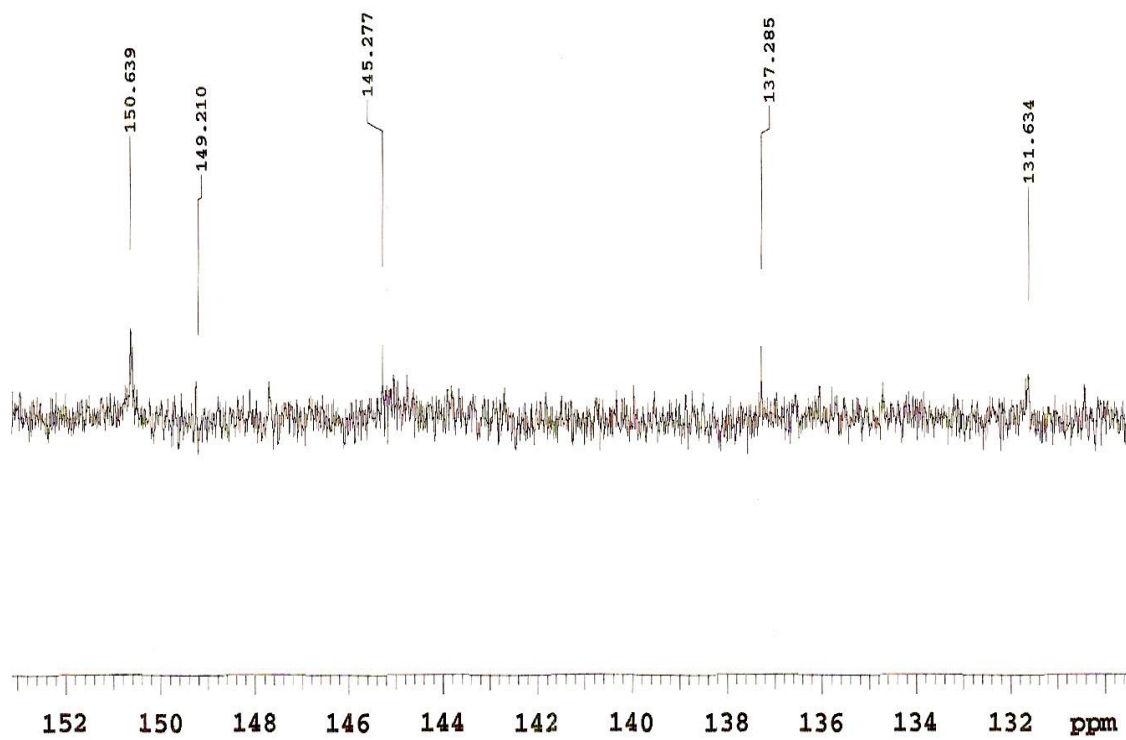
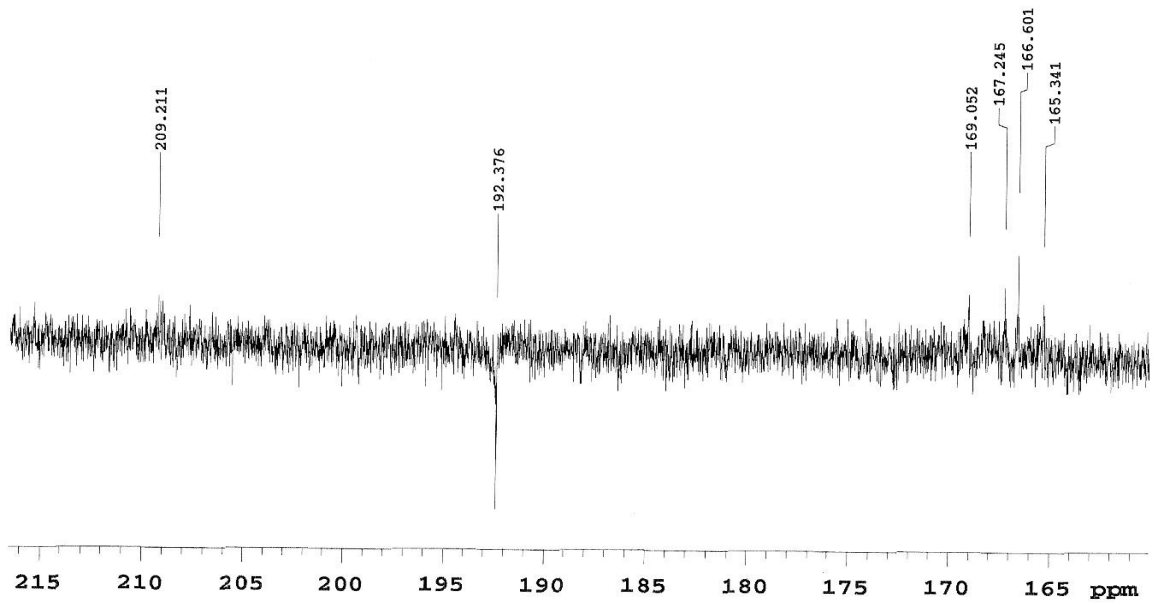
pu1_04



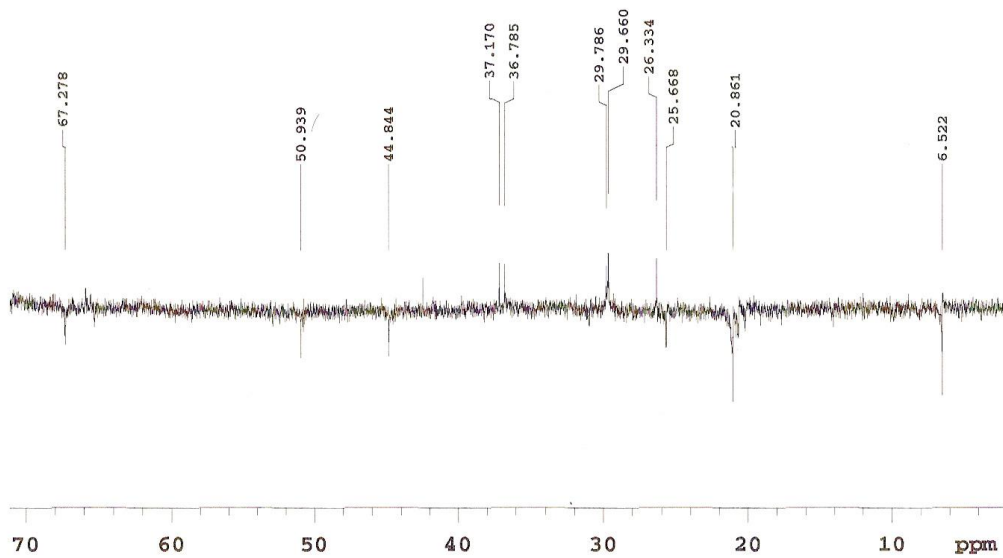
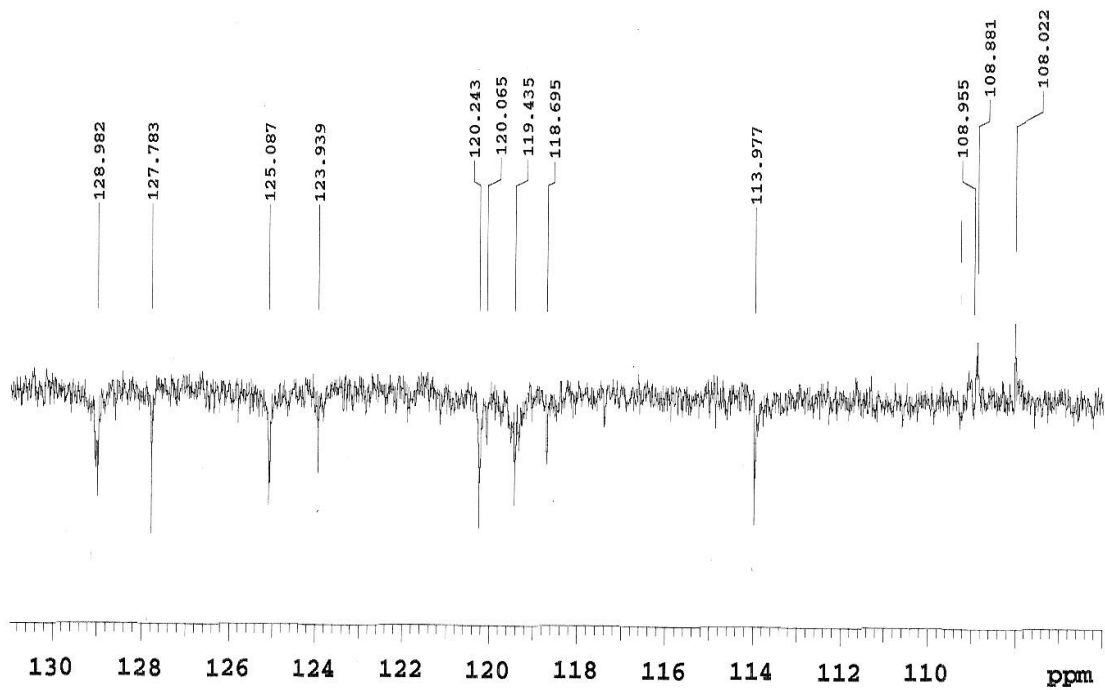


Pu1_04

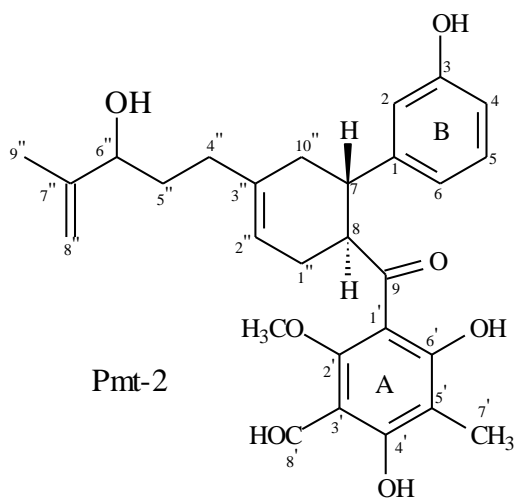




Figuras 39 e 40 – expansões do espectro de RMN de ¹³C (APT) de Pmt-1 acetilado

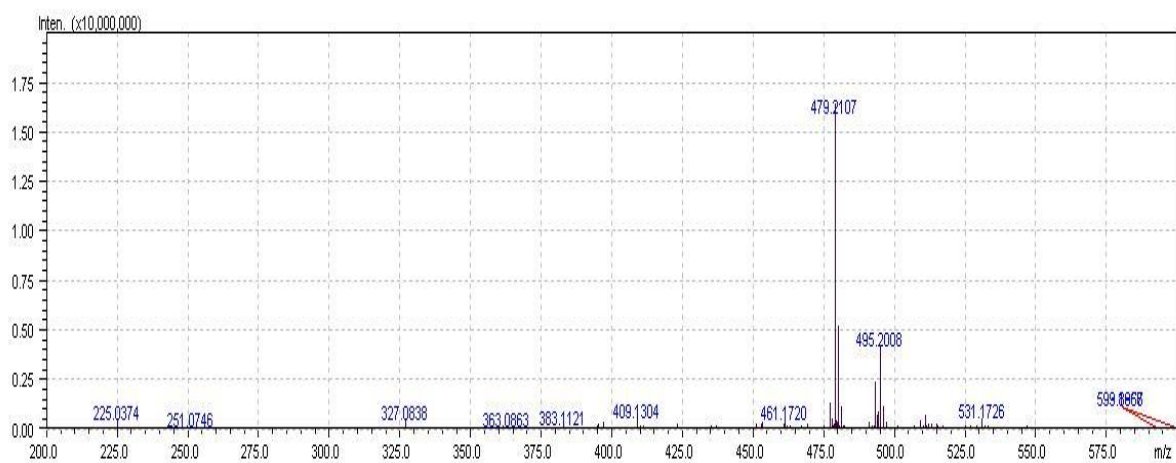


Figuras 41 e 42 – expansões do espectro de RMN de ¹³C (APT) de Pmt-1 acetilado



2 (M.M. = 480u)

Modo Negativo ESI(-)



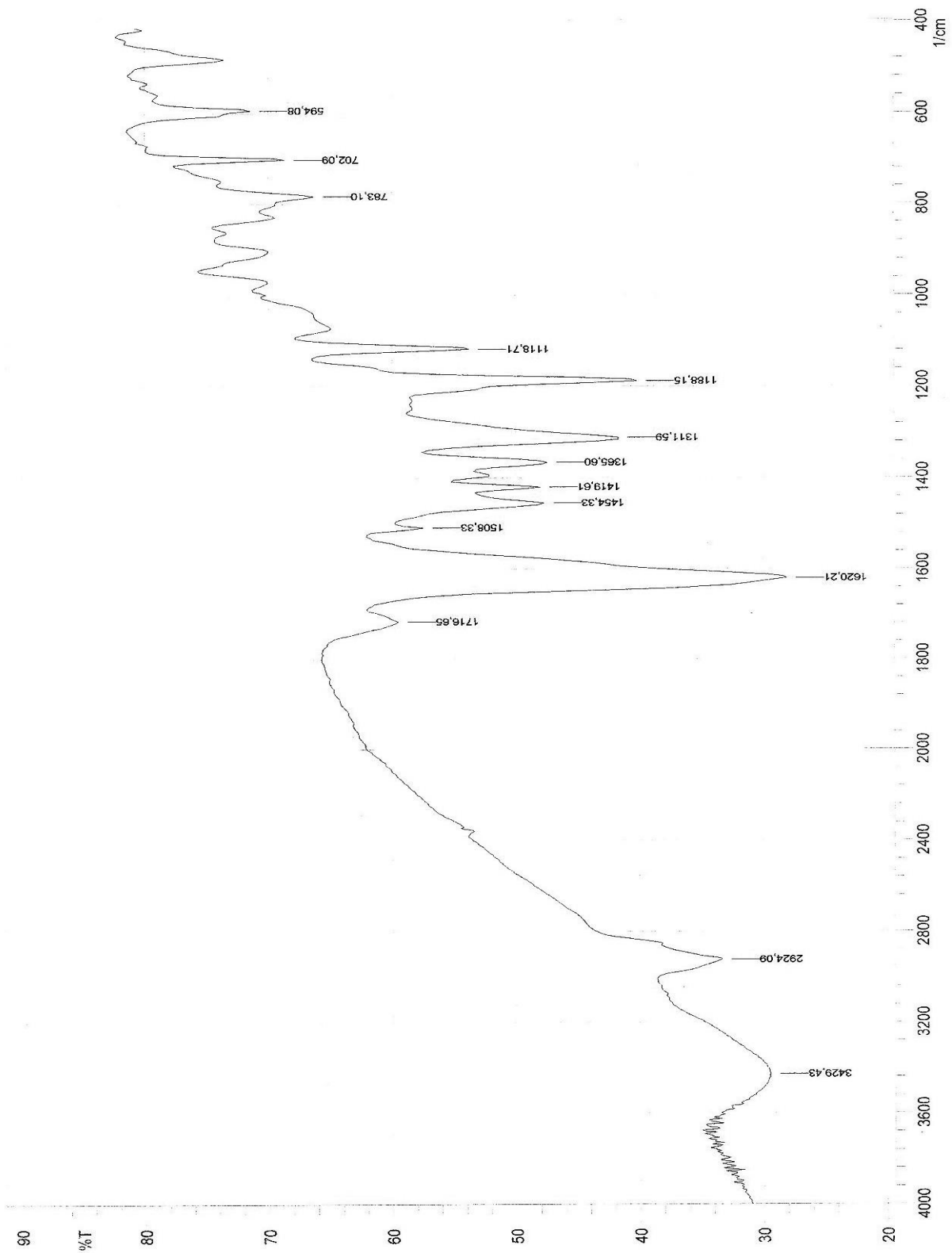
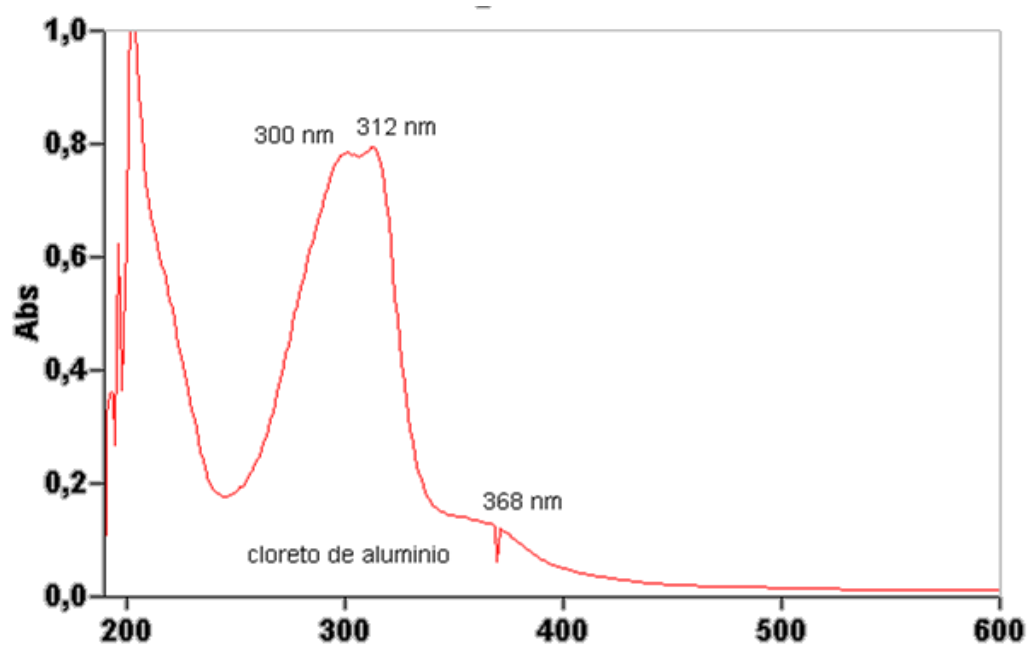
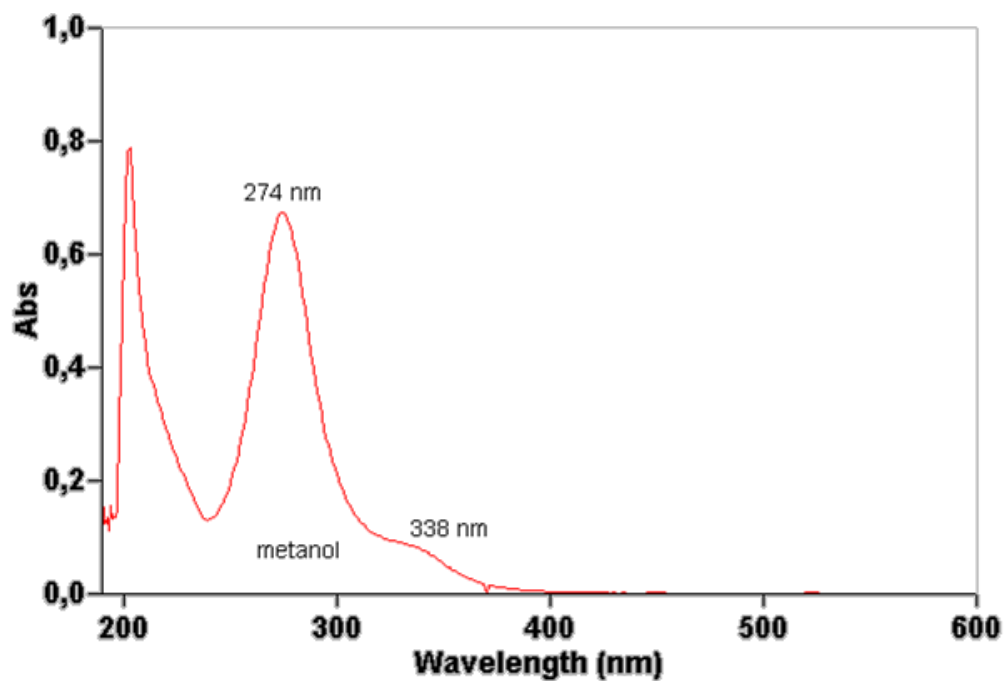


Figura 43: espectro no Infravermelho (λ_{\max} , KBr, cm^{-1}) de Pmt-2



Figuras 44a e 44b: espectro no ultravioleta (λ_{max} , MeOH; MeOH + AlCl₃) de Pmt-2

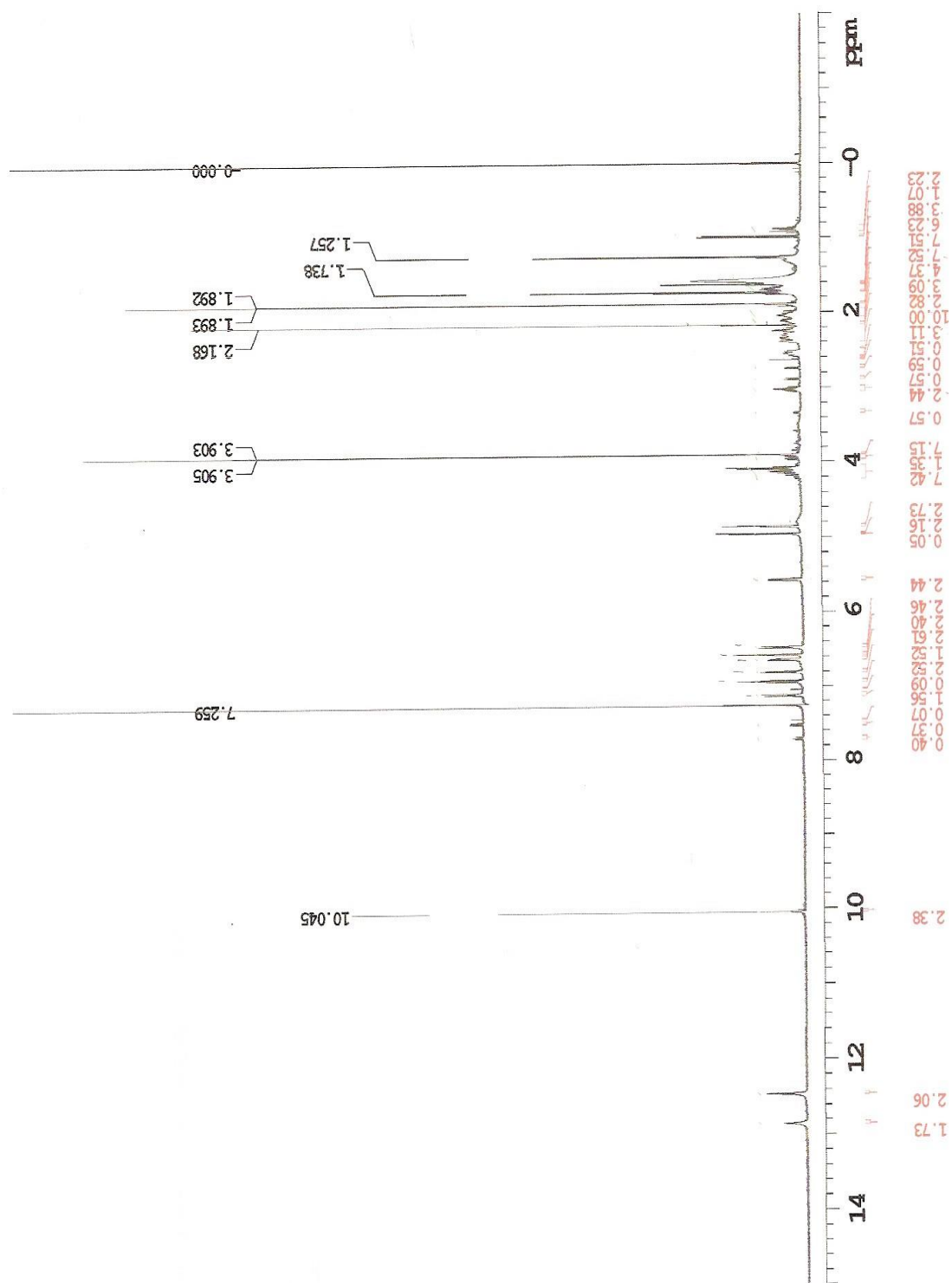
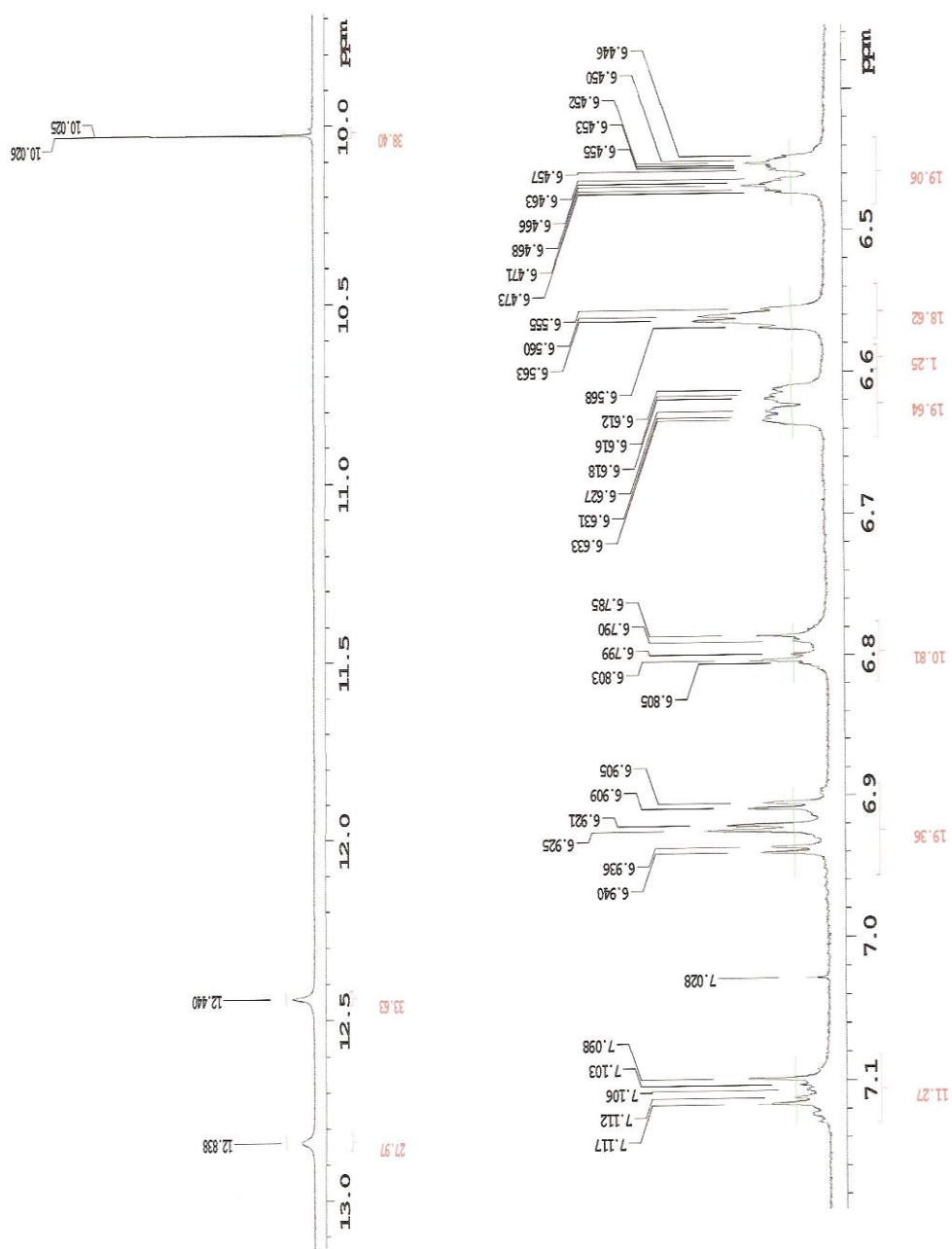


Figura 45: espectro de RMN de ^1H (δ , 500 MHz, CDCl_3) de Pmt-2



544

Figura 46 e 47: expansões do espectro de RMN de ^1H (δ , 500 MHz, CDCl_3) de Pmt-2

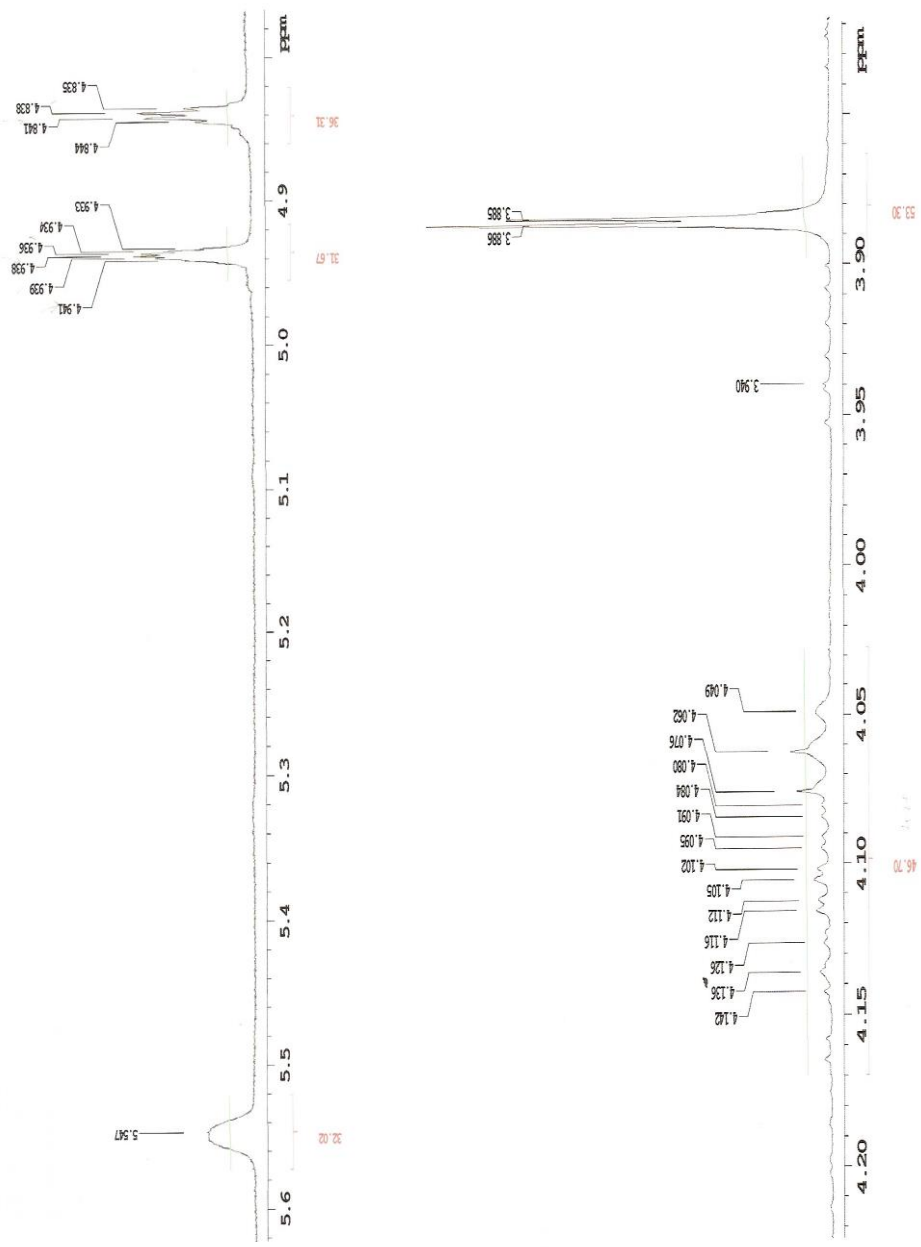


Figura 48 e 49: expansões do espectro de RMN de ¹H (δ, 500 MHz, CDCl₃) de Pmt-2

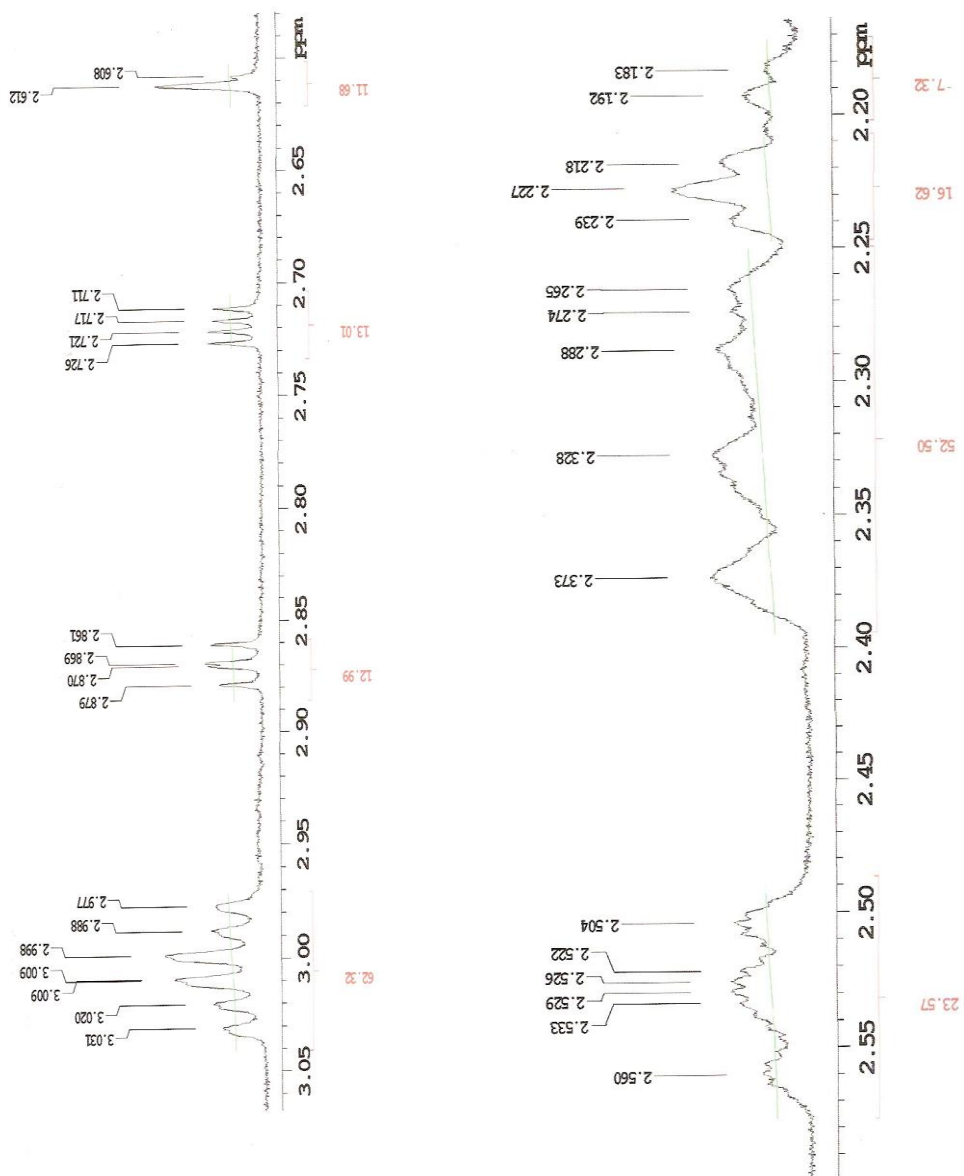


Figura 50 e 51: expansões do espectro de RMN de ^1H (δ , 500 MHz, CDCl_3) de Pmt-2

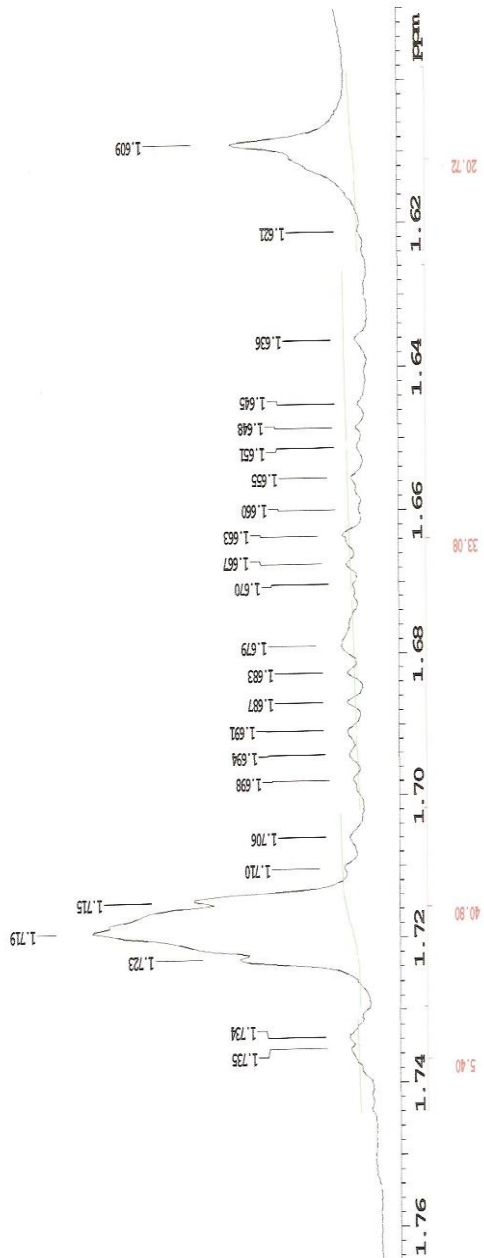
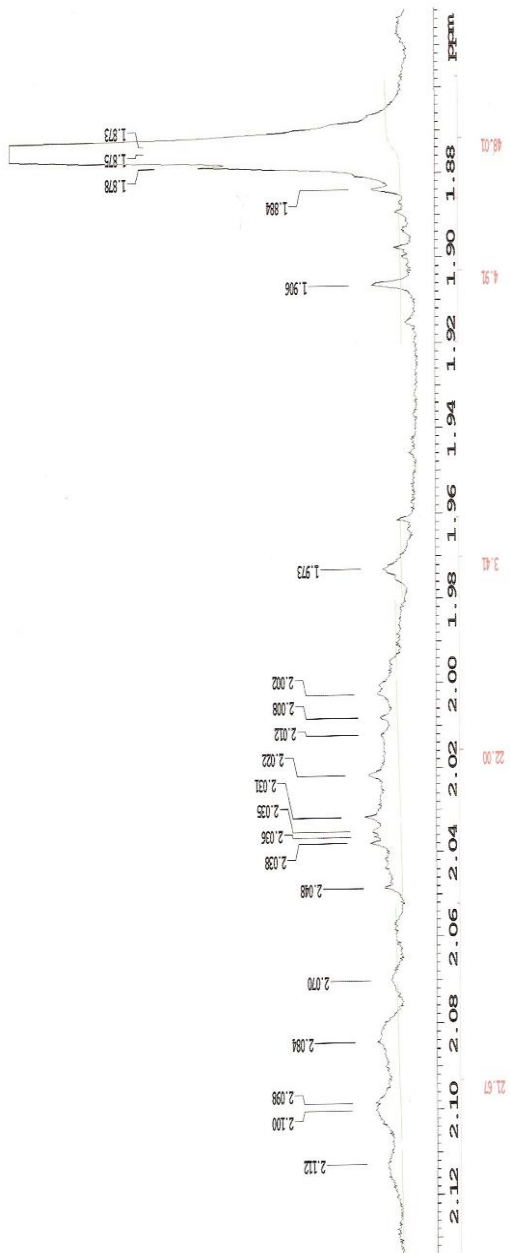


Figura 52 e 53: expansões do espectro de RMN de ^1H (δ , 500 MHz, CDCl_3) de Pmt-2

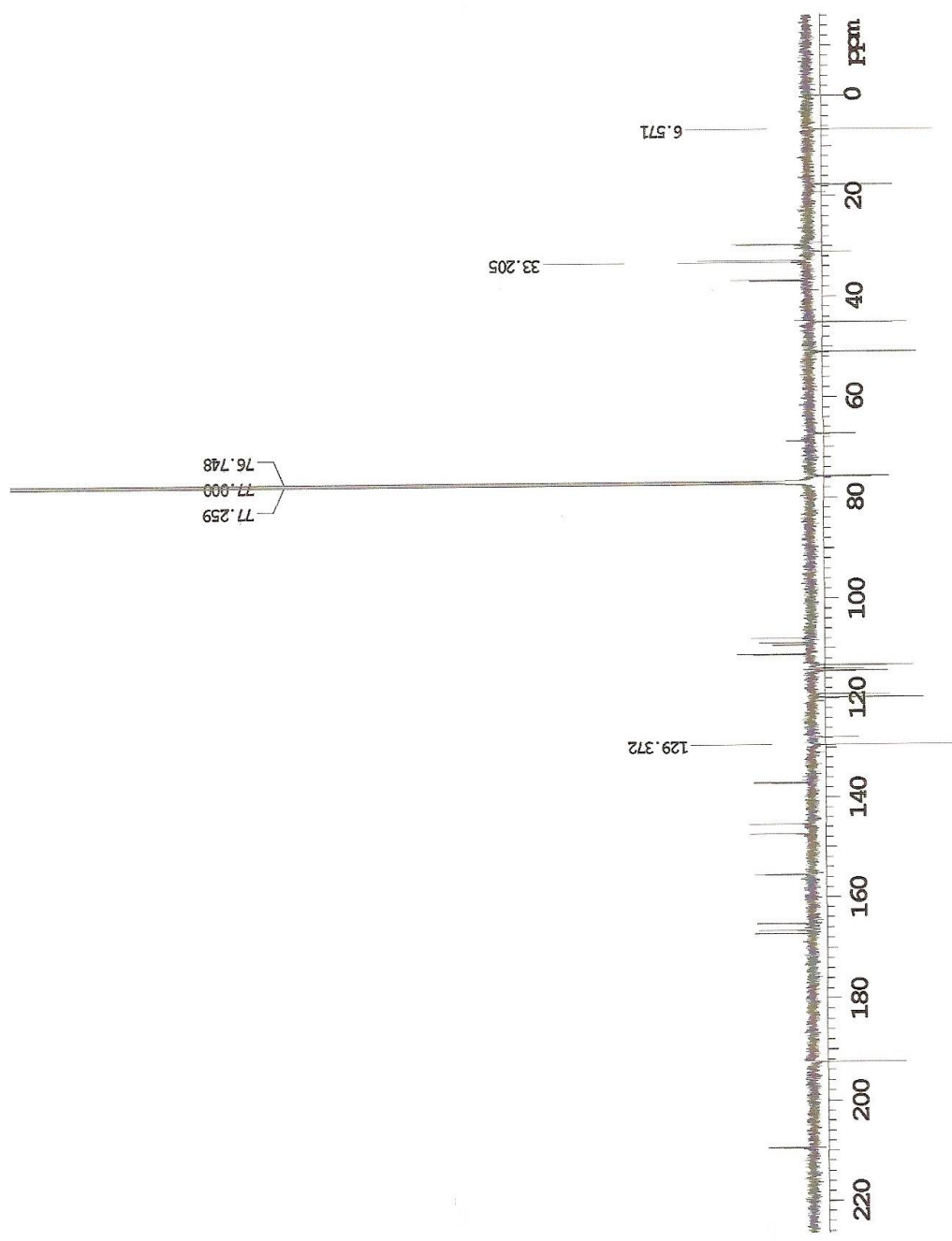


Figura 54: espectro de RMN de ¹³C (δ, 500 MHz, CDCl₃) de Pmt-2

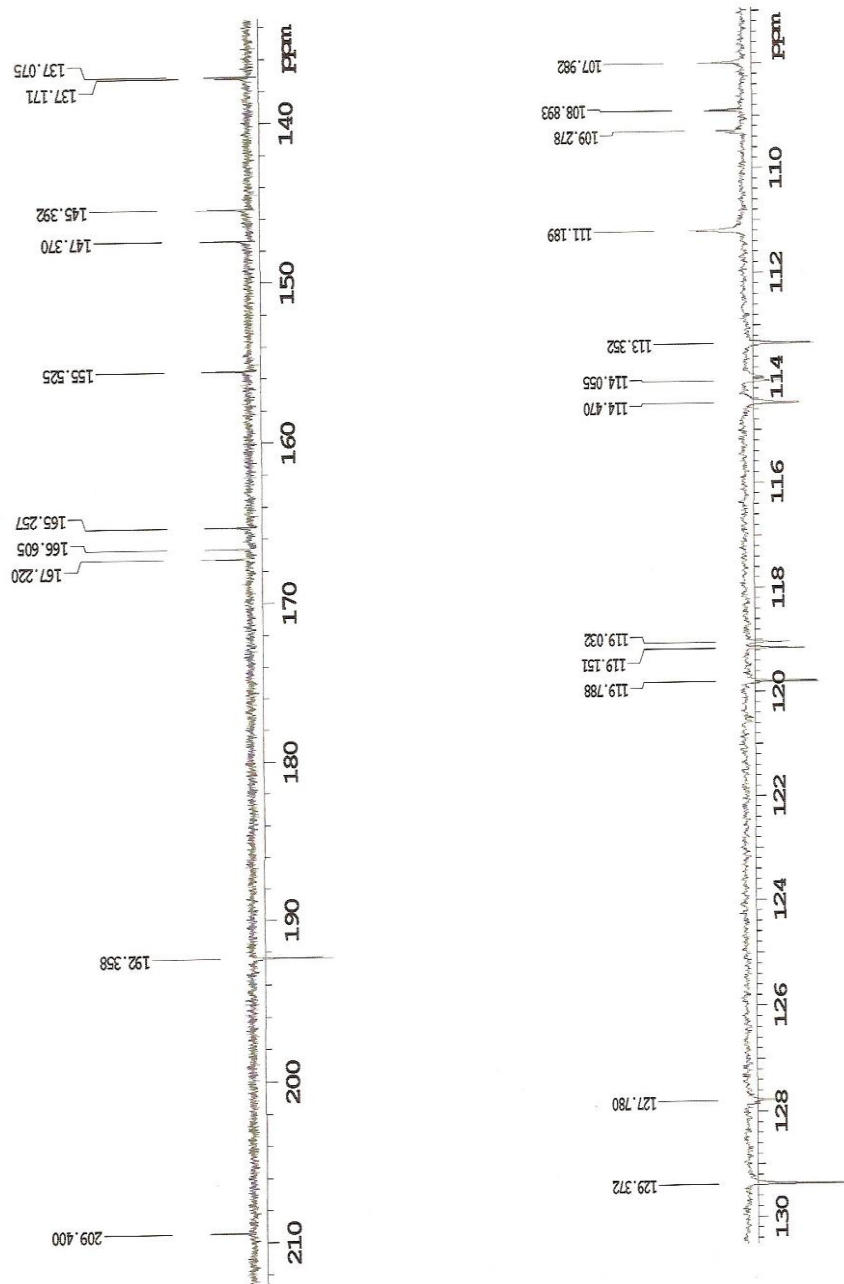


Figura 55 e 56: expansões do espectro de RMN de ^{13}C (δ , 500 MHz, CDCl_3) de Pmt-2

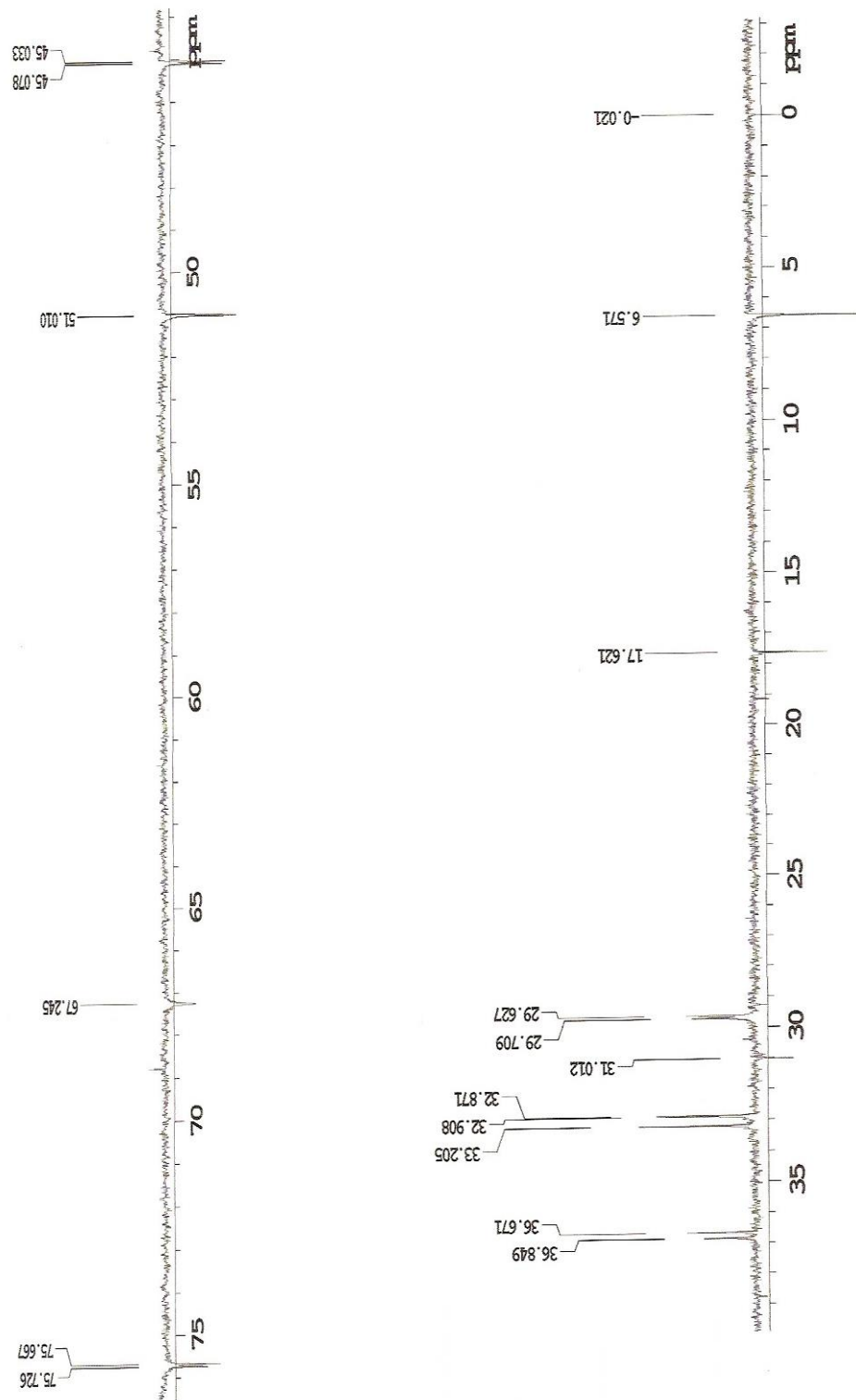


Figura 57 e 58: expansões do espectro de RMN de ^{13}C (δ , 500 MHz, CDCl_3) de Pmt-2

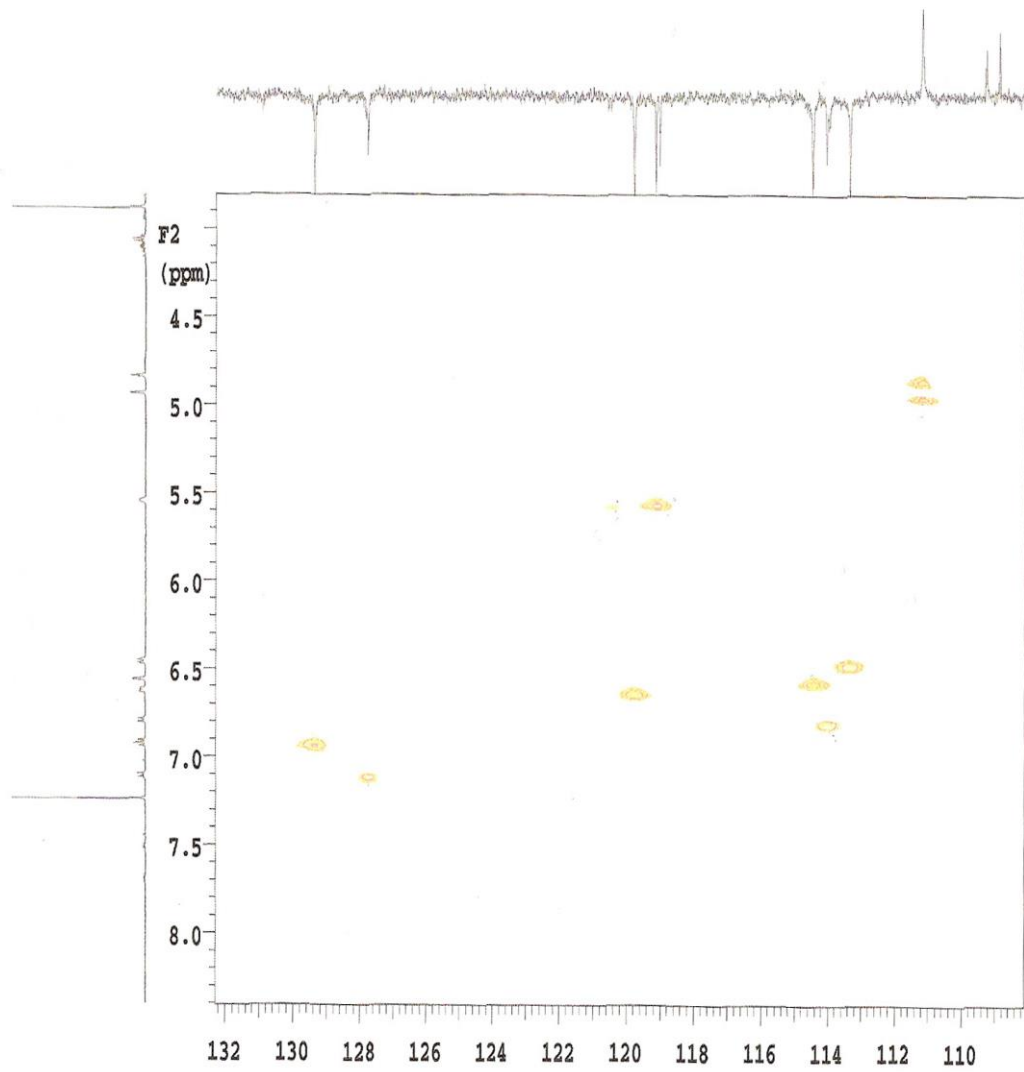


Figura 59: expansão do espectro de correlação heteronuclear HMQC – $^1\text{H} \times ^{13}\text{C}$ de Pmt-2

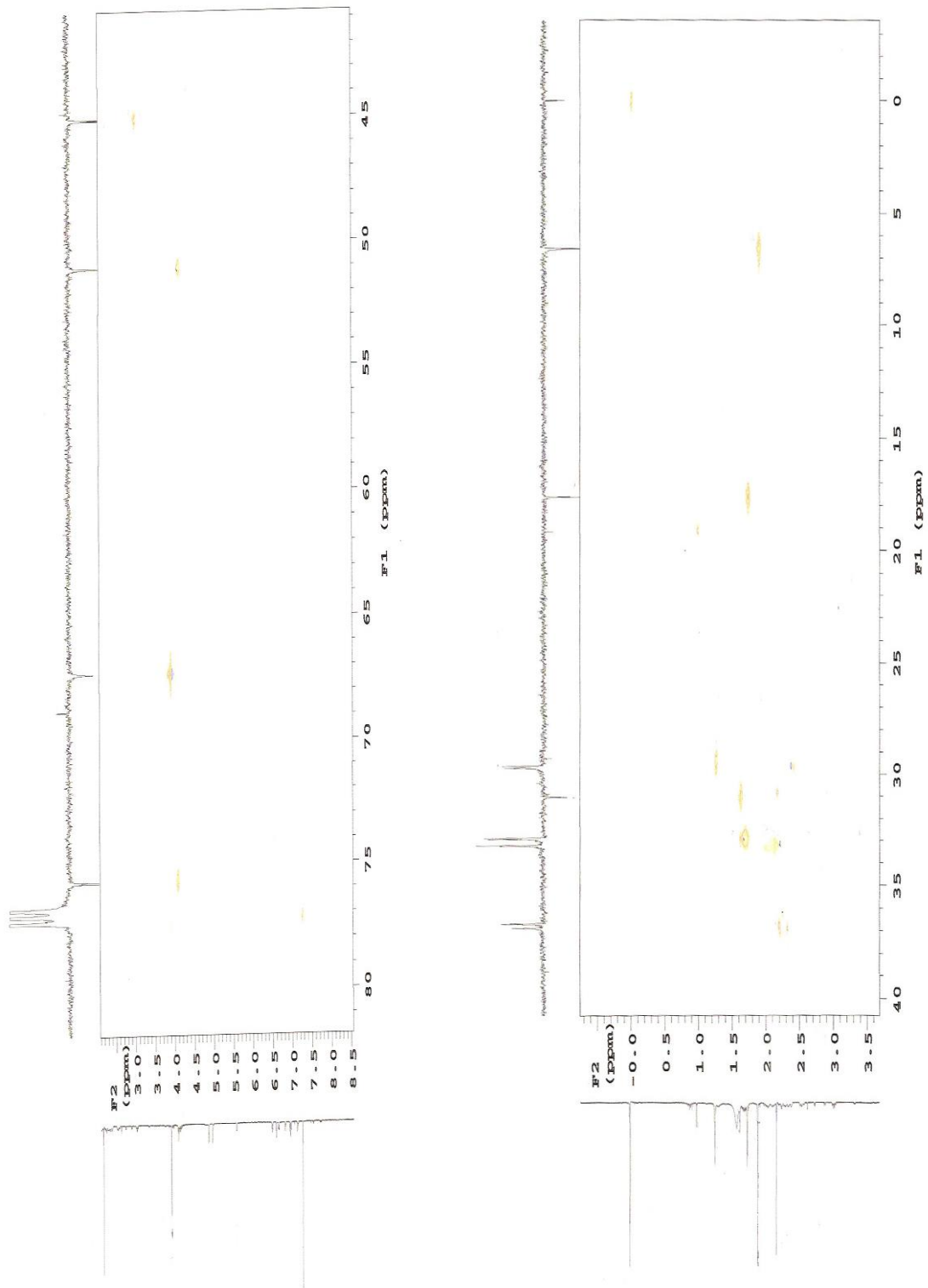


Figura 60 e 61: expansões do espectro de correlação heteronuclear HMQC – ^1H x ^{13}C de Pmt-2

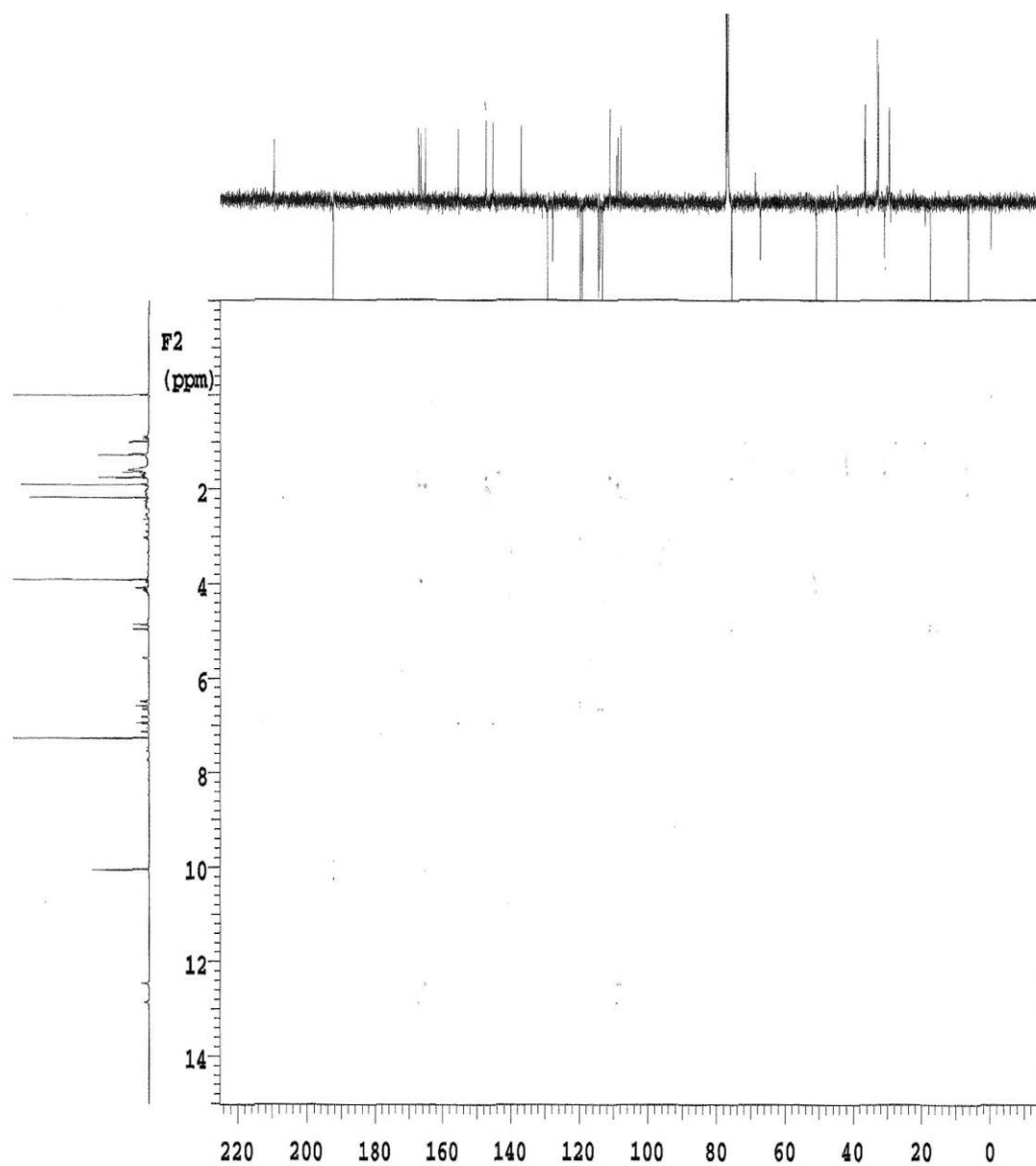


Figura 62: espectro de correlação heteronuclear HMBC – $^1\text{H} \times ^{13}\text{C}$ de Pmt-2

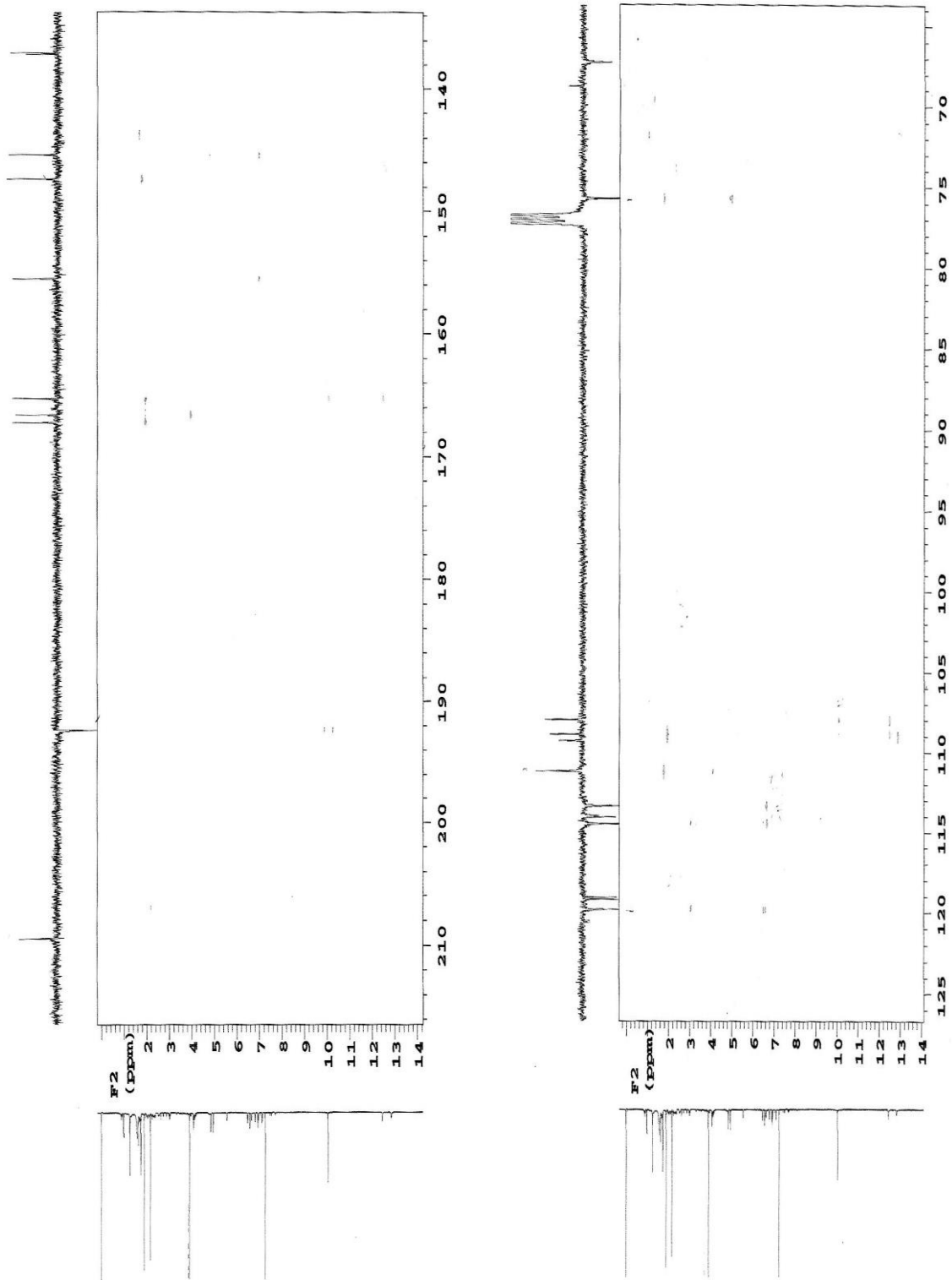


Figura 63 e 64: espectro de correlação heteronuclear HMBC – ^1H x ^{13}C de Pmt-2

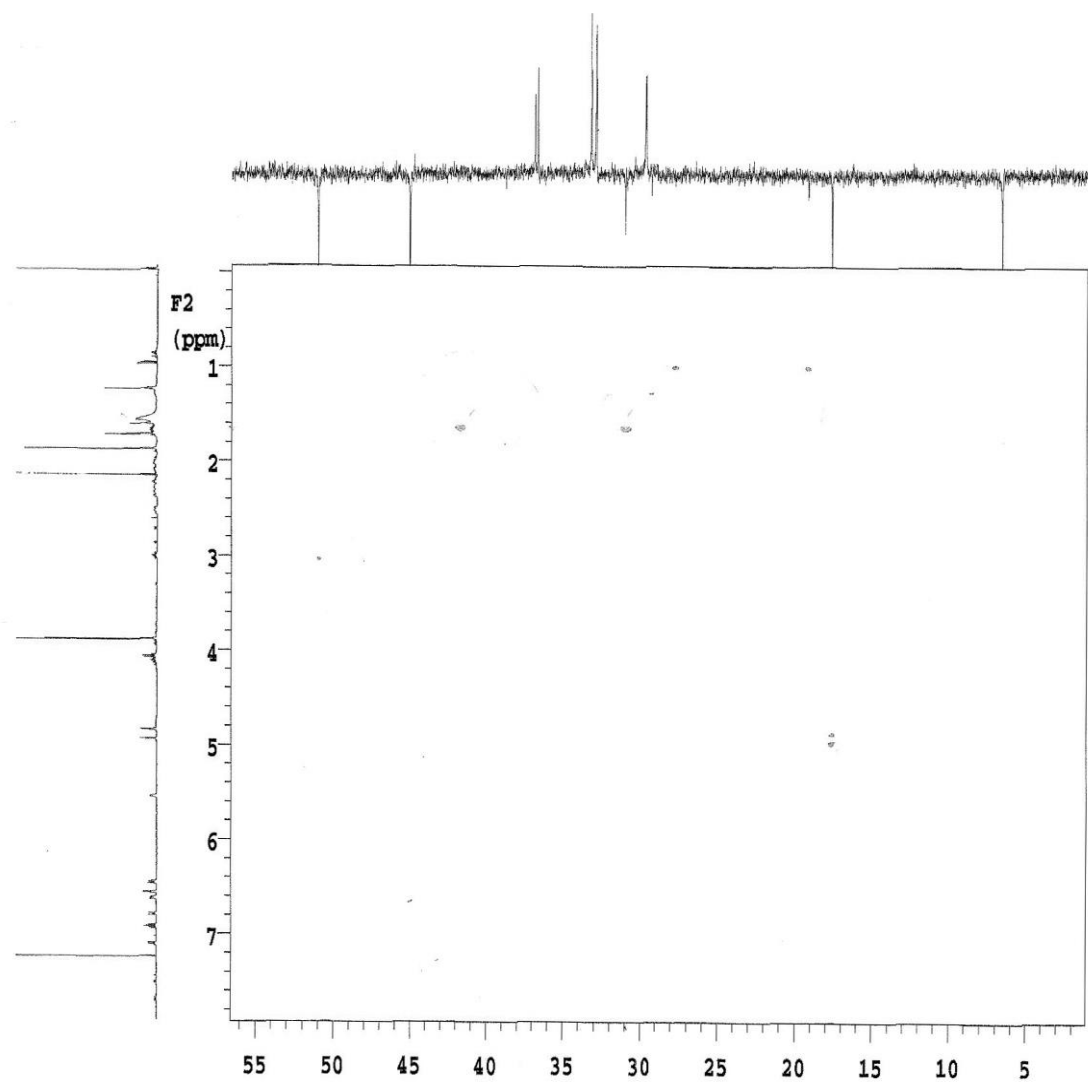


Figura 65: expansão do espectro de correlação heteronuclear HMBC – $^1\text{H} \times ^{13}\text{C}$ de Pmt-2

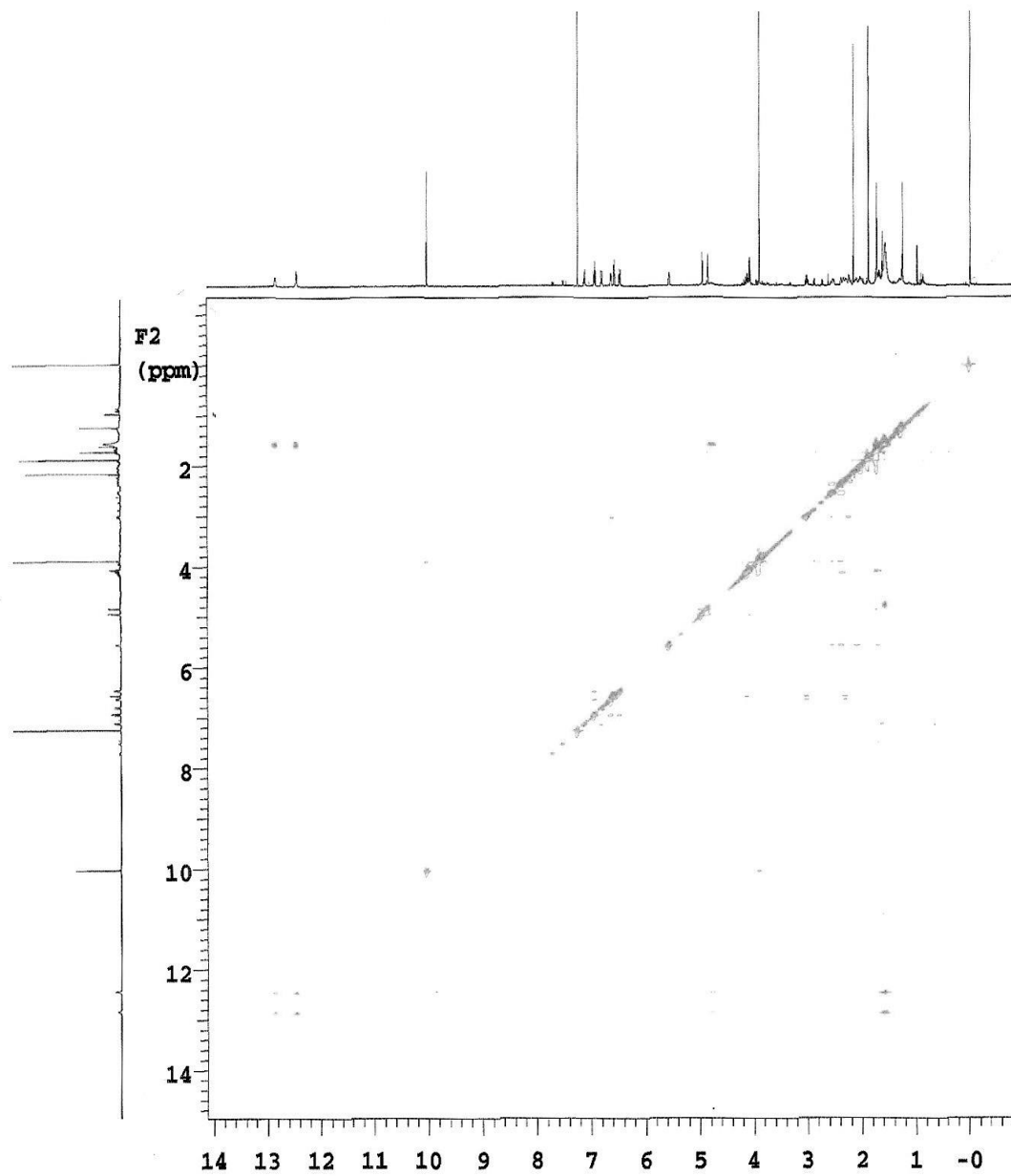


Figura 66: espectro de correlação homonuclear NOESY – $^1\text{H} \times ^1\text{H}$ de Pmt-2

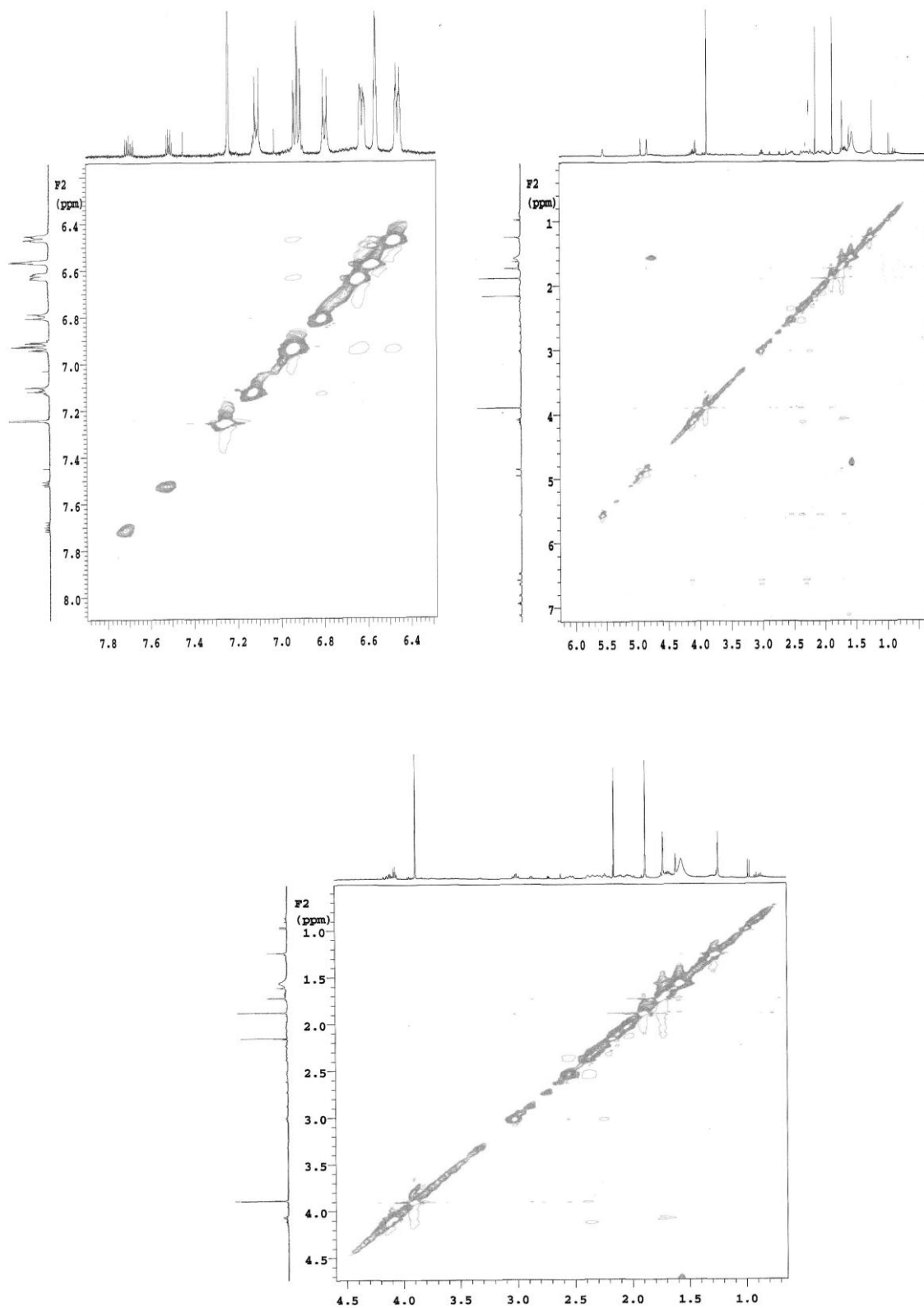


Figura 67, 68 e 69: expansões do espectro de correlação homonuclear NOESY – $^1\text{H} \times ^1\text{H}$ de Pmt-2

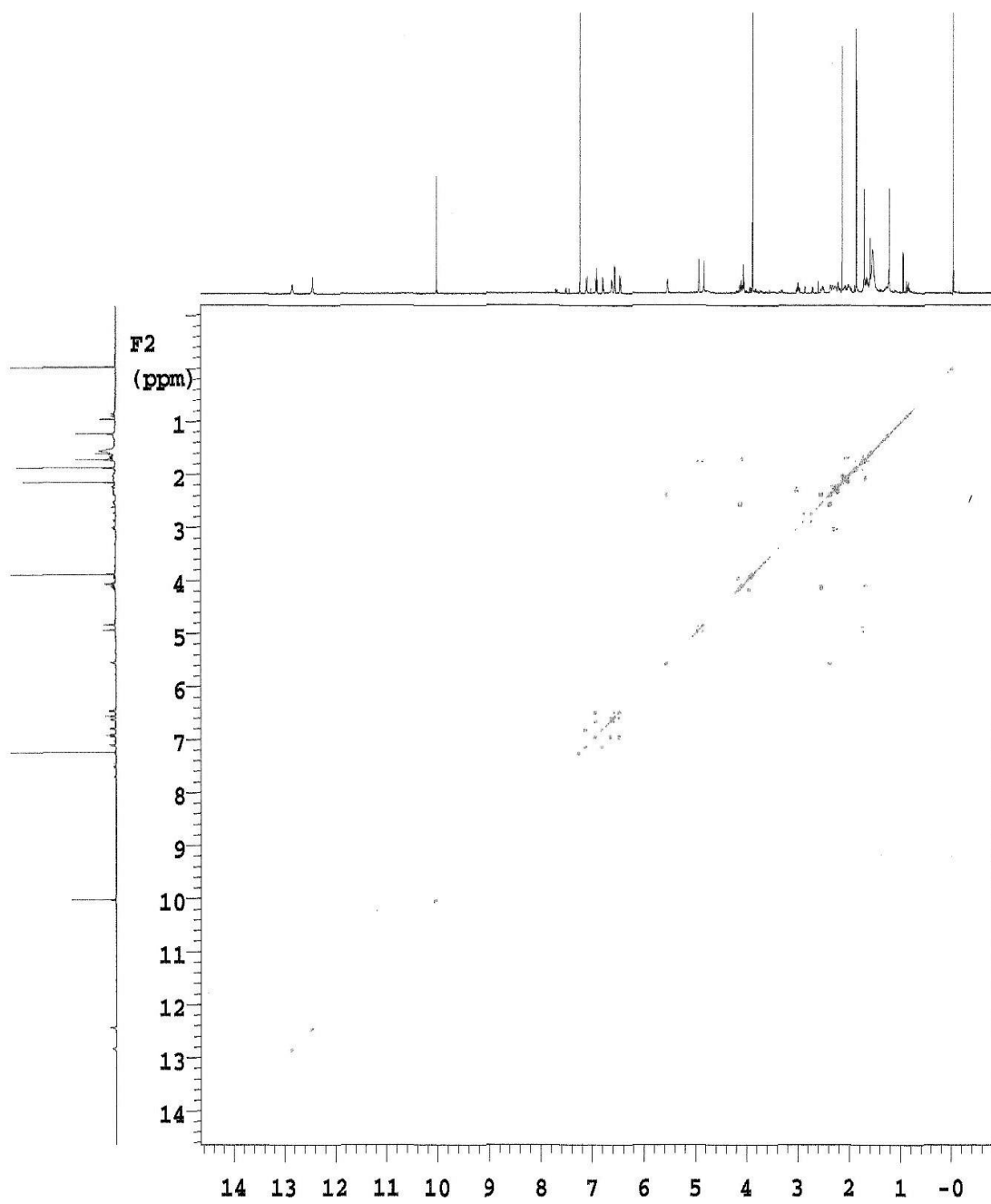


Figura 70: espectro de correlação homonuclear COSY – ¹H x ¹H de Pmt-2

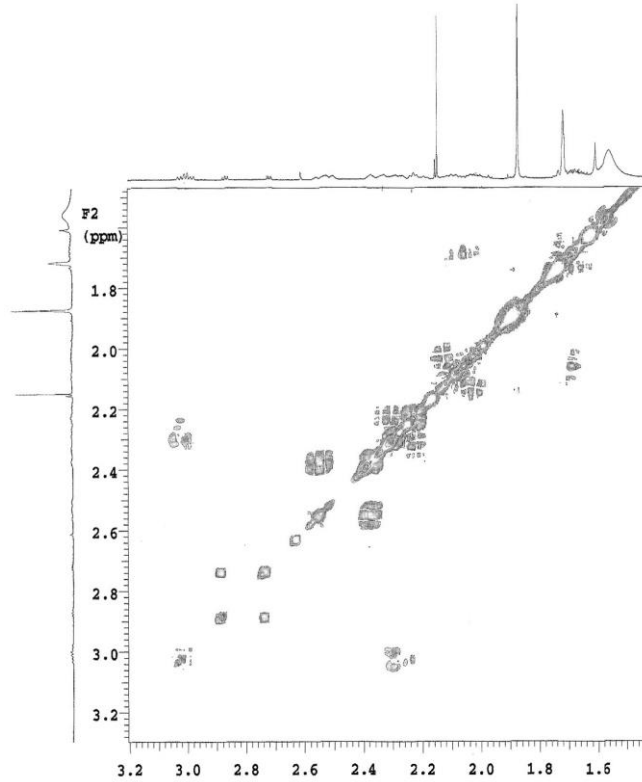
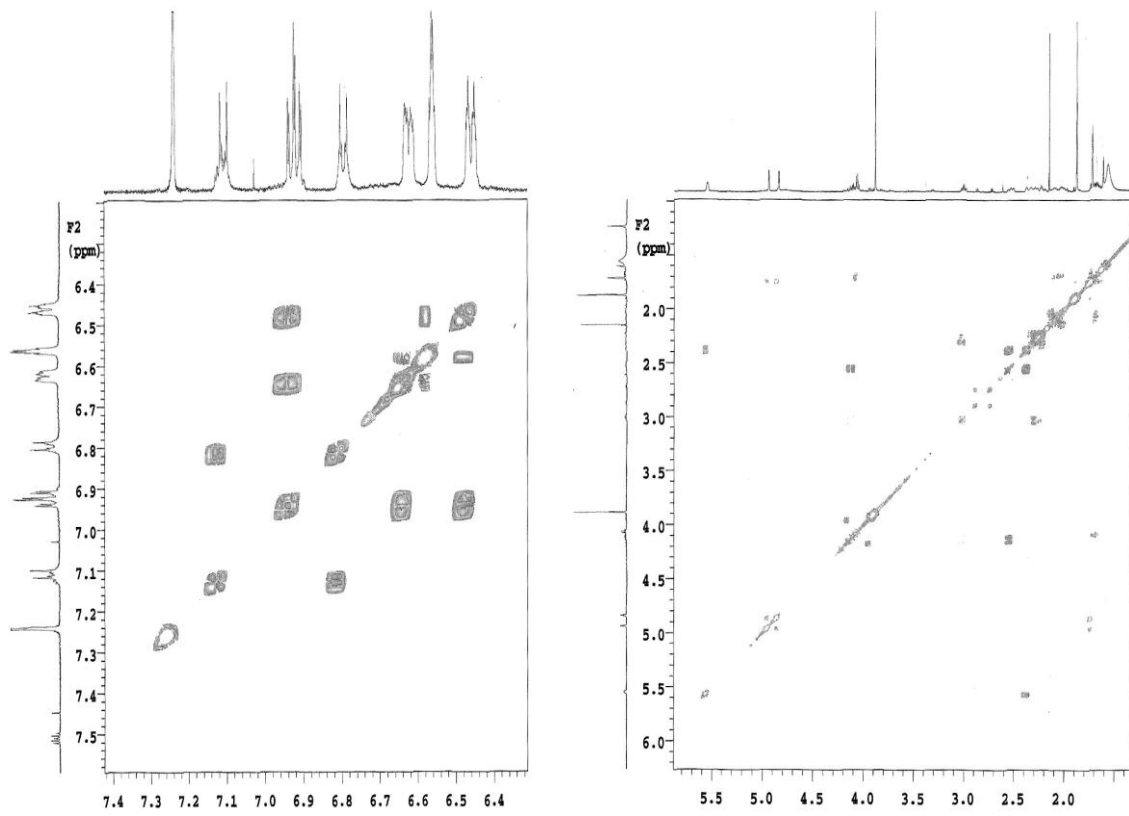
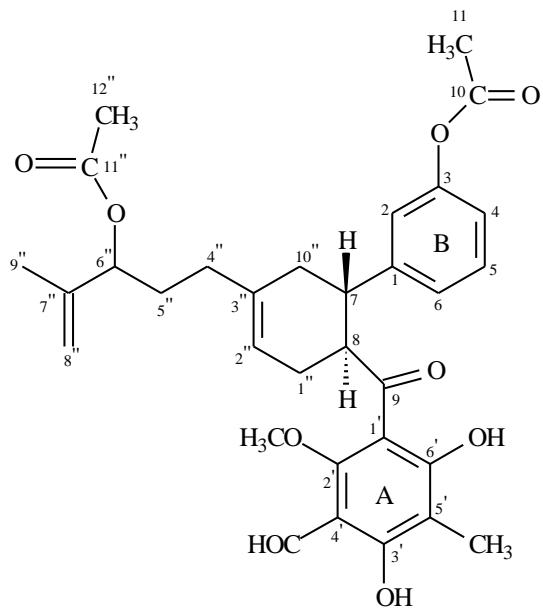
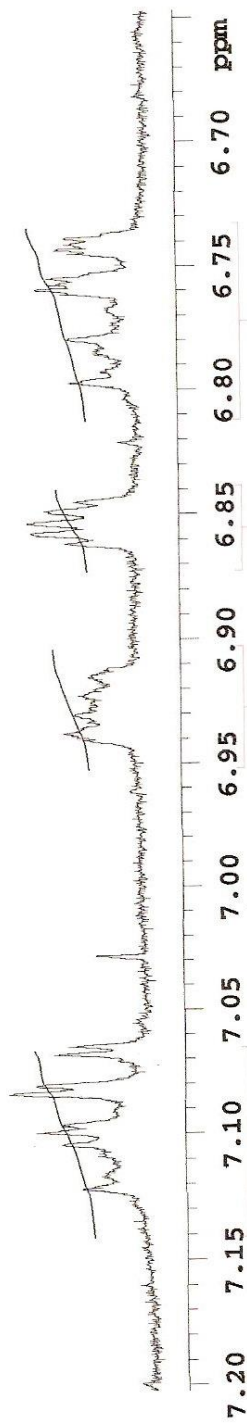
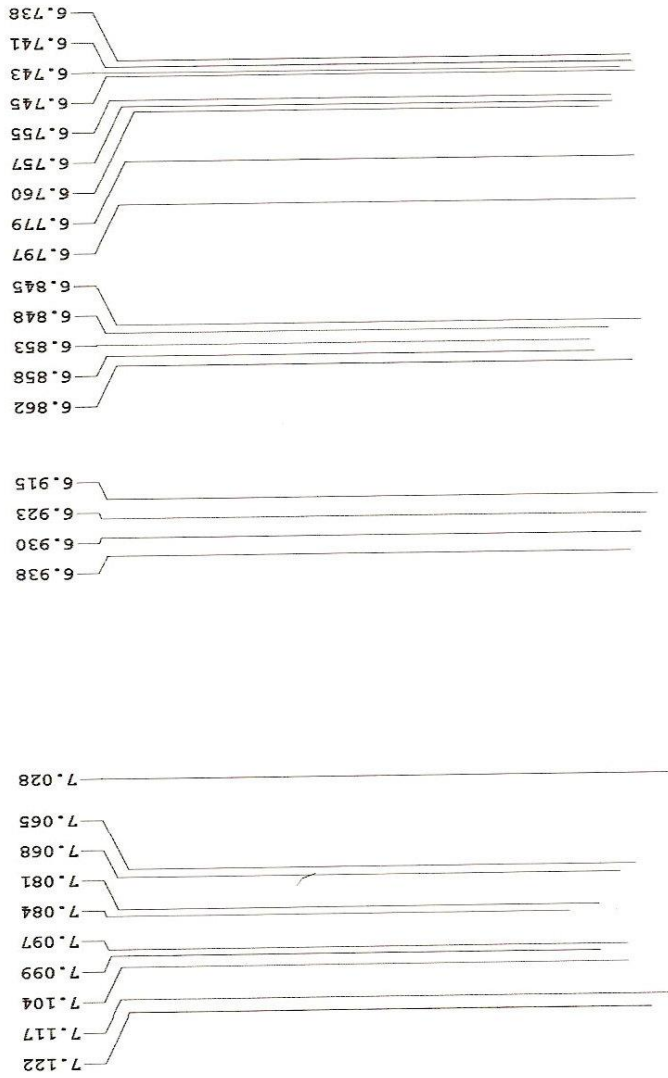


Figura 71, 72 e 73: expansões do espectro de correlação homonuclear COSY – ¹H x ¹H de Pmt-2



Pmt-2 ACETILADO



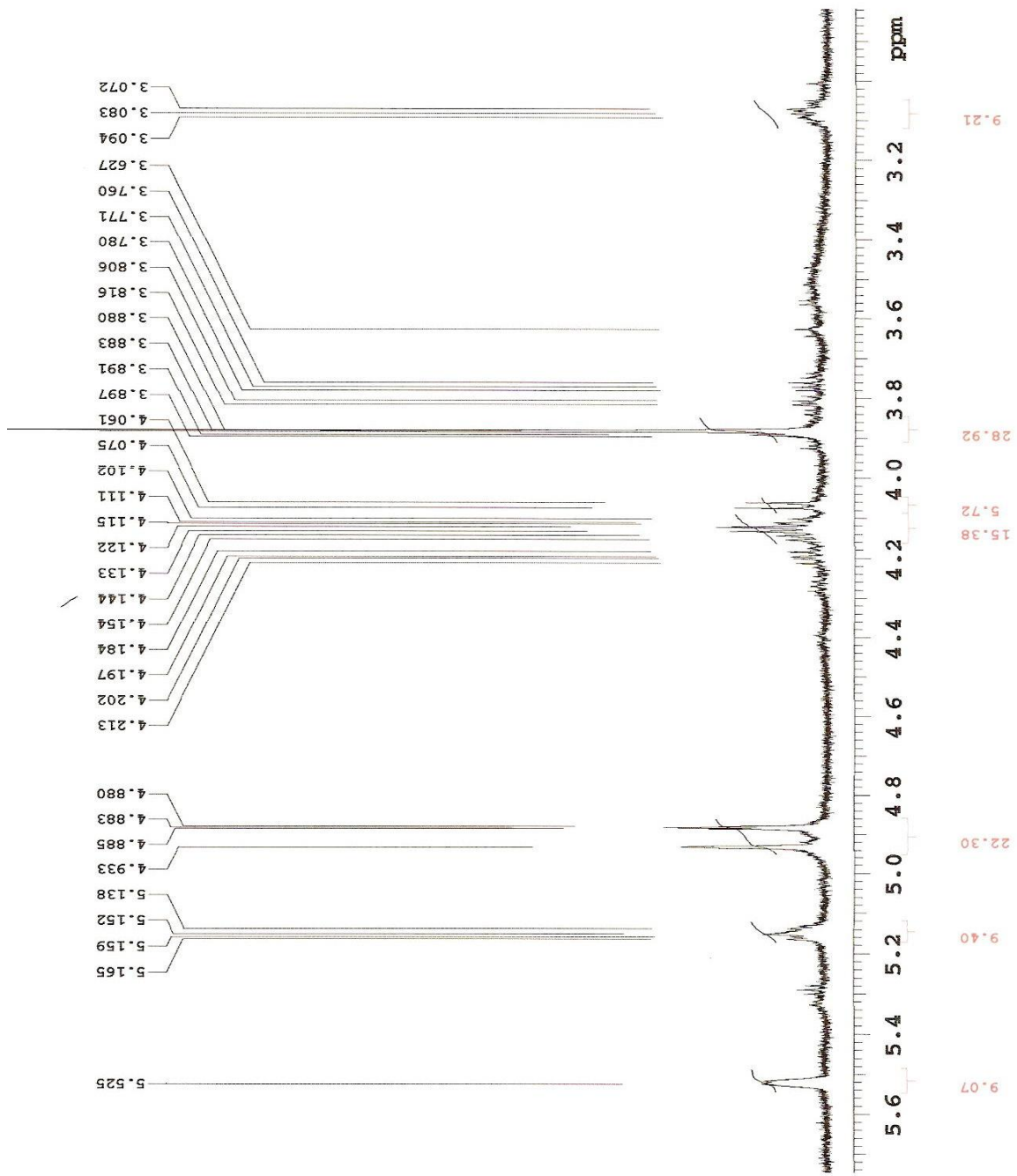
31.17

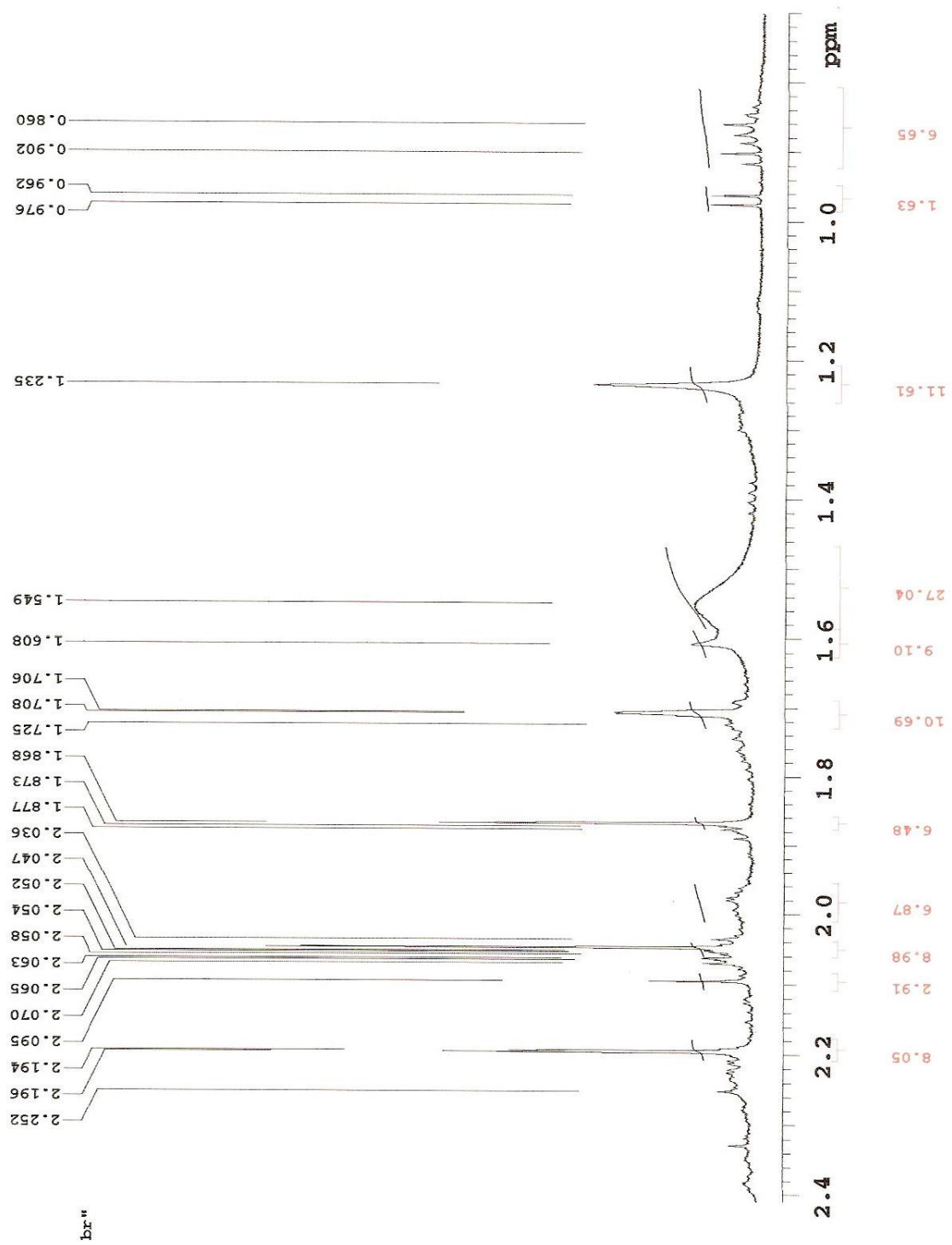
16.88

19.71

32.24

11





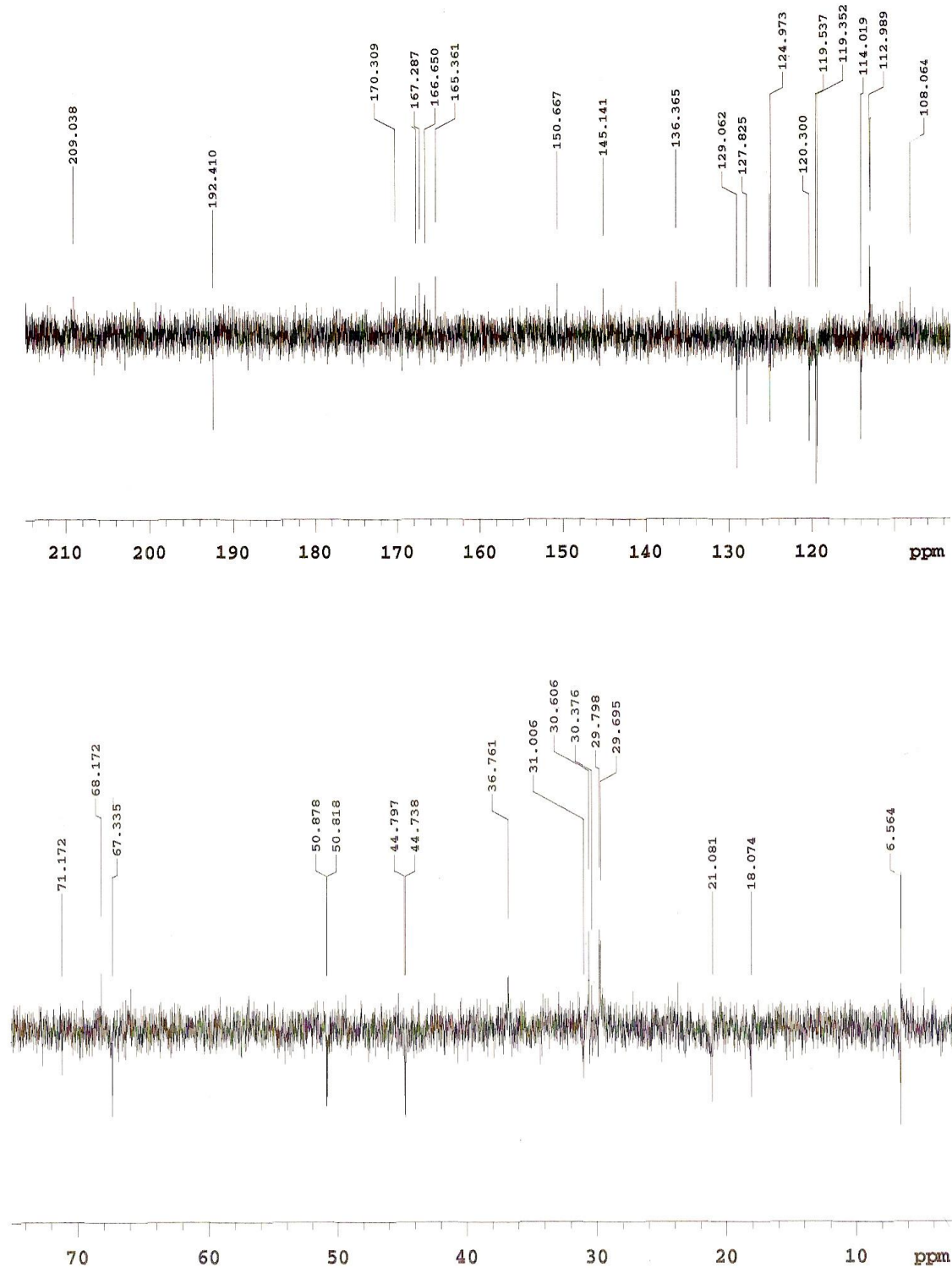
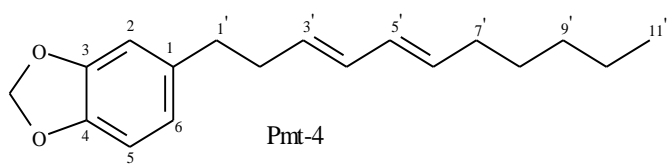


Figura 74 e 75: expansões do espectro de RMN de ^{13}C (δ , 125 MHz, CDCl_3) de Pmt-2 acetilado

Espectros de 4



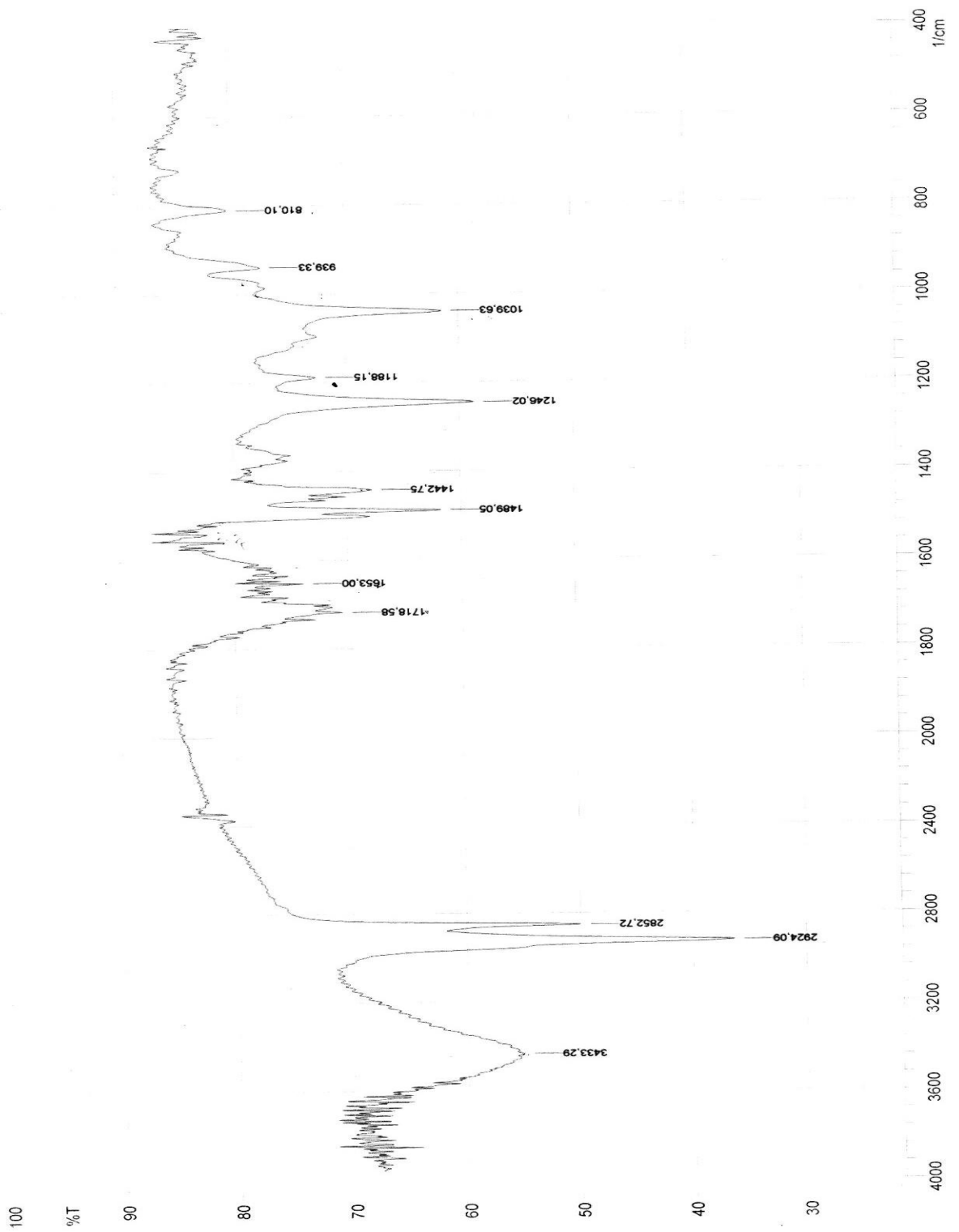


Figura 97: espectro no Infravermelho (λ_{\max} , KBr, cm^{-1}) de Pmt-4

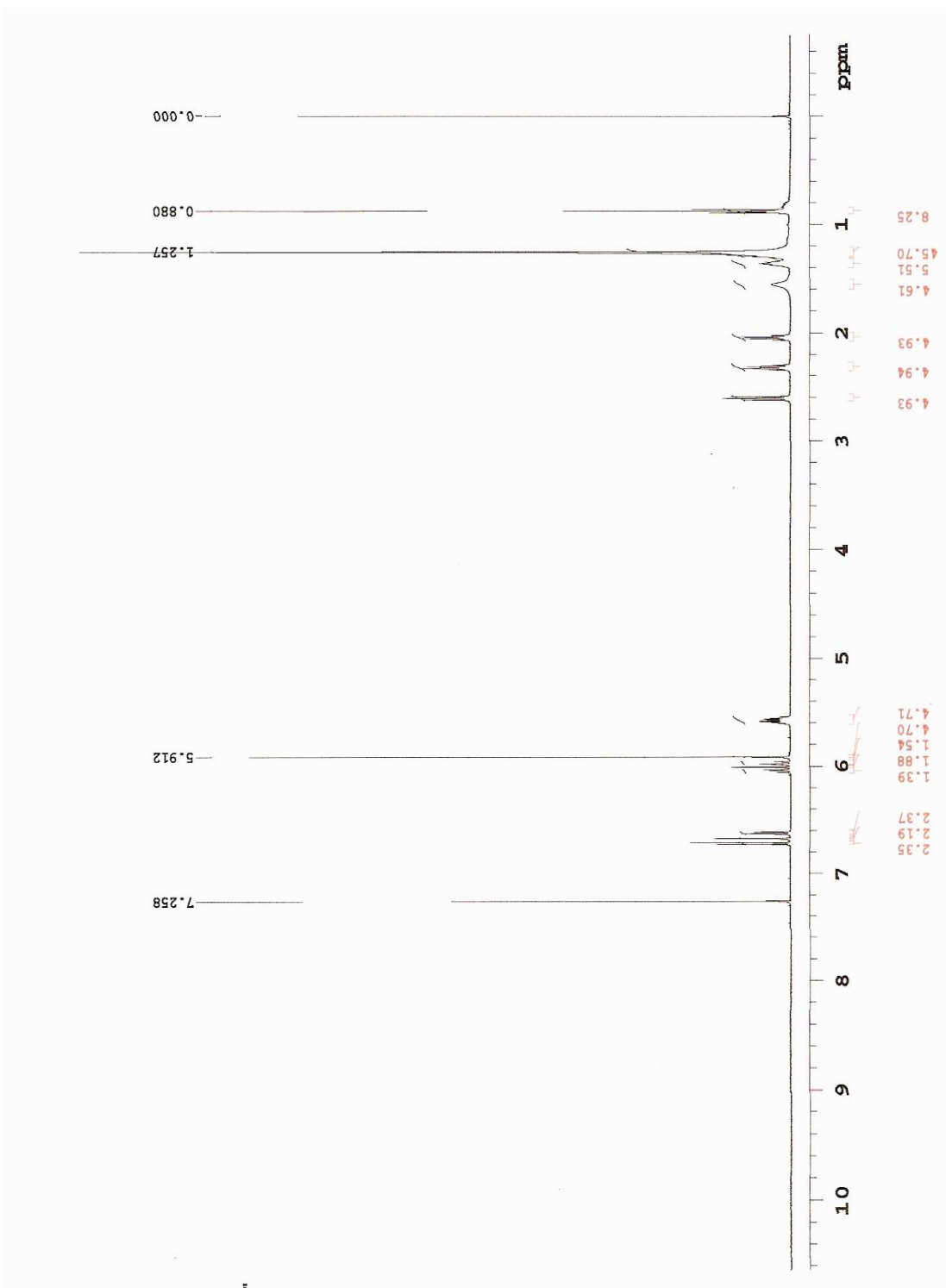


Figura 98: espectro de RMN de ^1H (δ , 500 MHz, CDCl_3) de Pmt-4

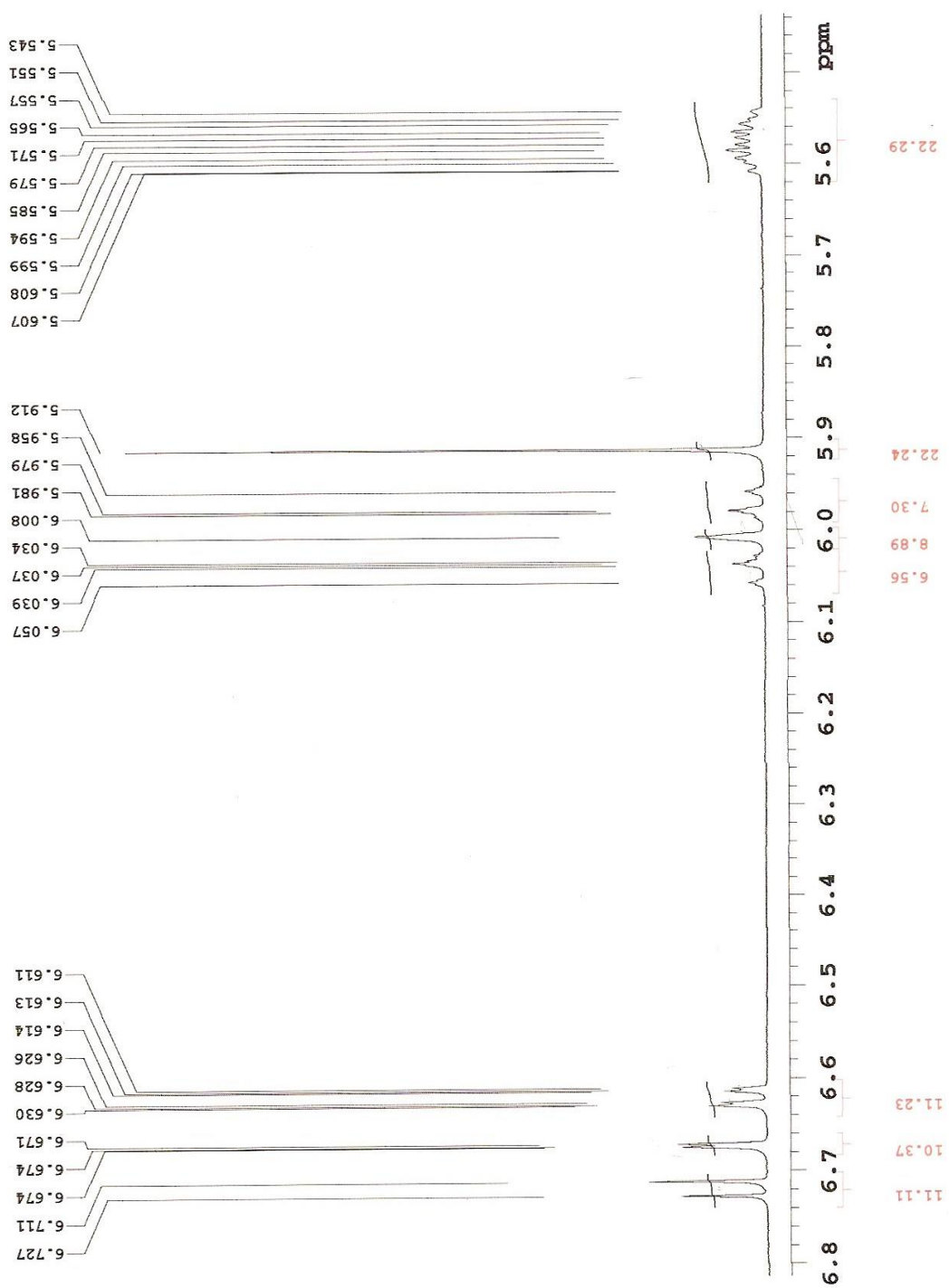
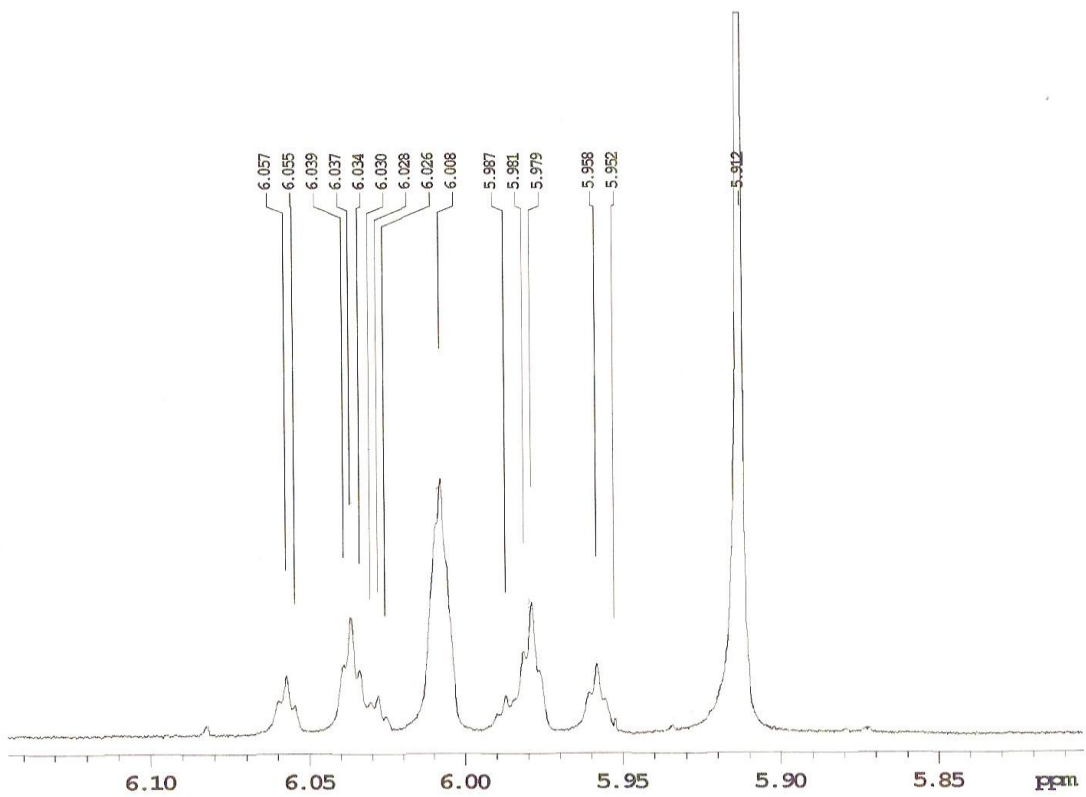
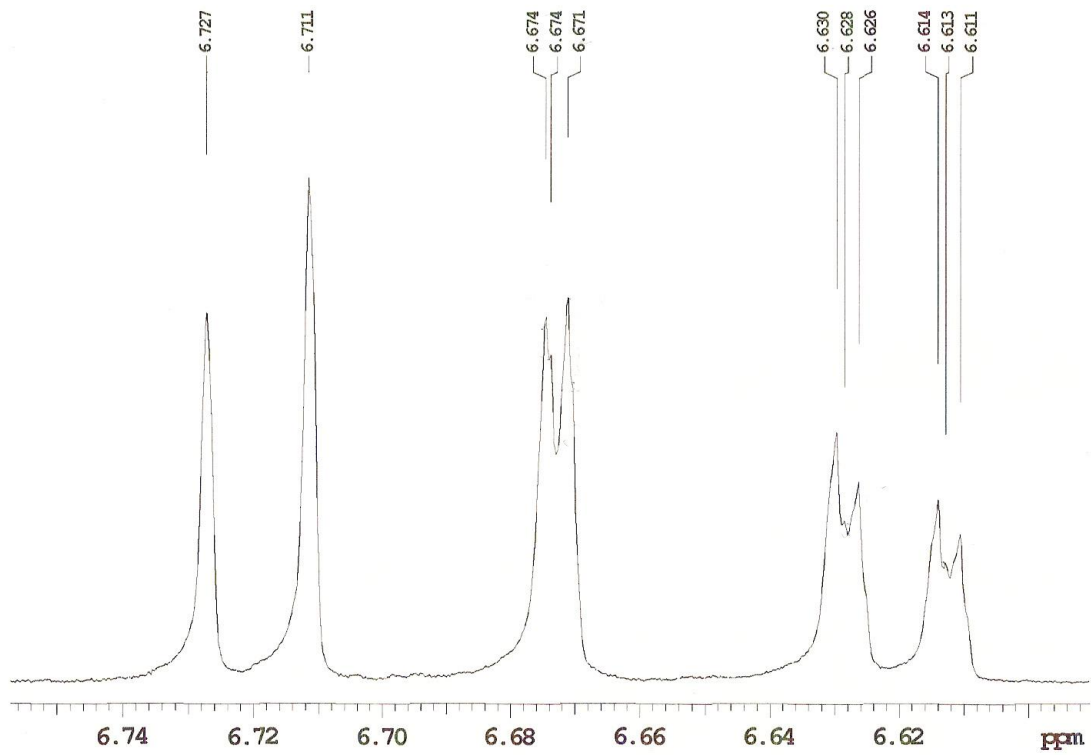
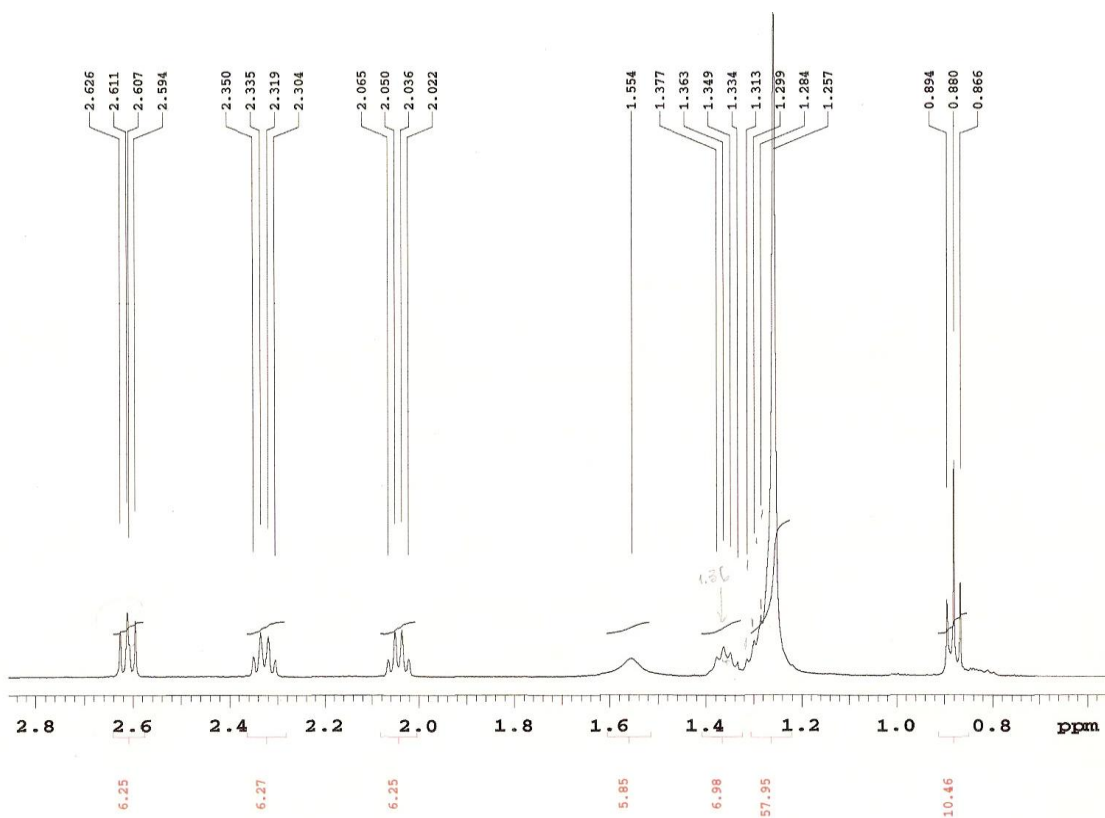
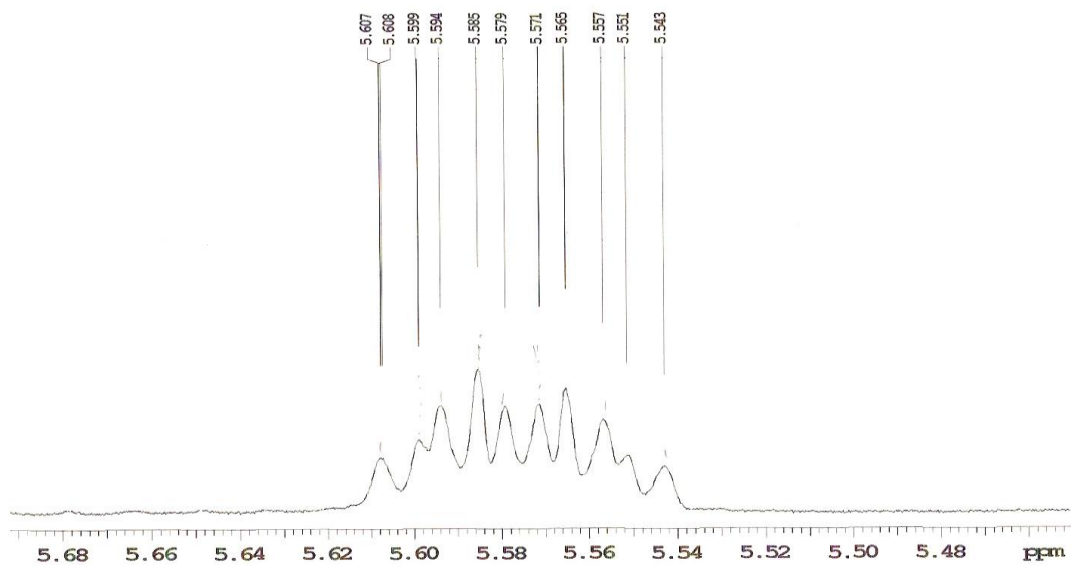


Figura 99: expansão do espectro de RMN de ¹H (δ, 500 MHz, CDCl₃) de Pmt-4



Figuras 100 e 101: expansões do espectro de RMN de ^1H (δ , 500 MHz, CDCl_3) de Pmt-4



Figuras 102 e 103: expansões do espectro de RMN de ^1H (δ , 500 MHz, CDCl_3) de Pmt-4

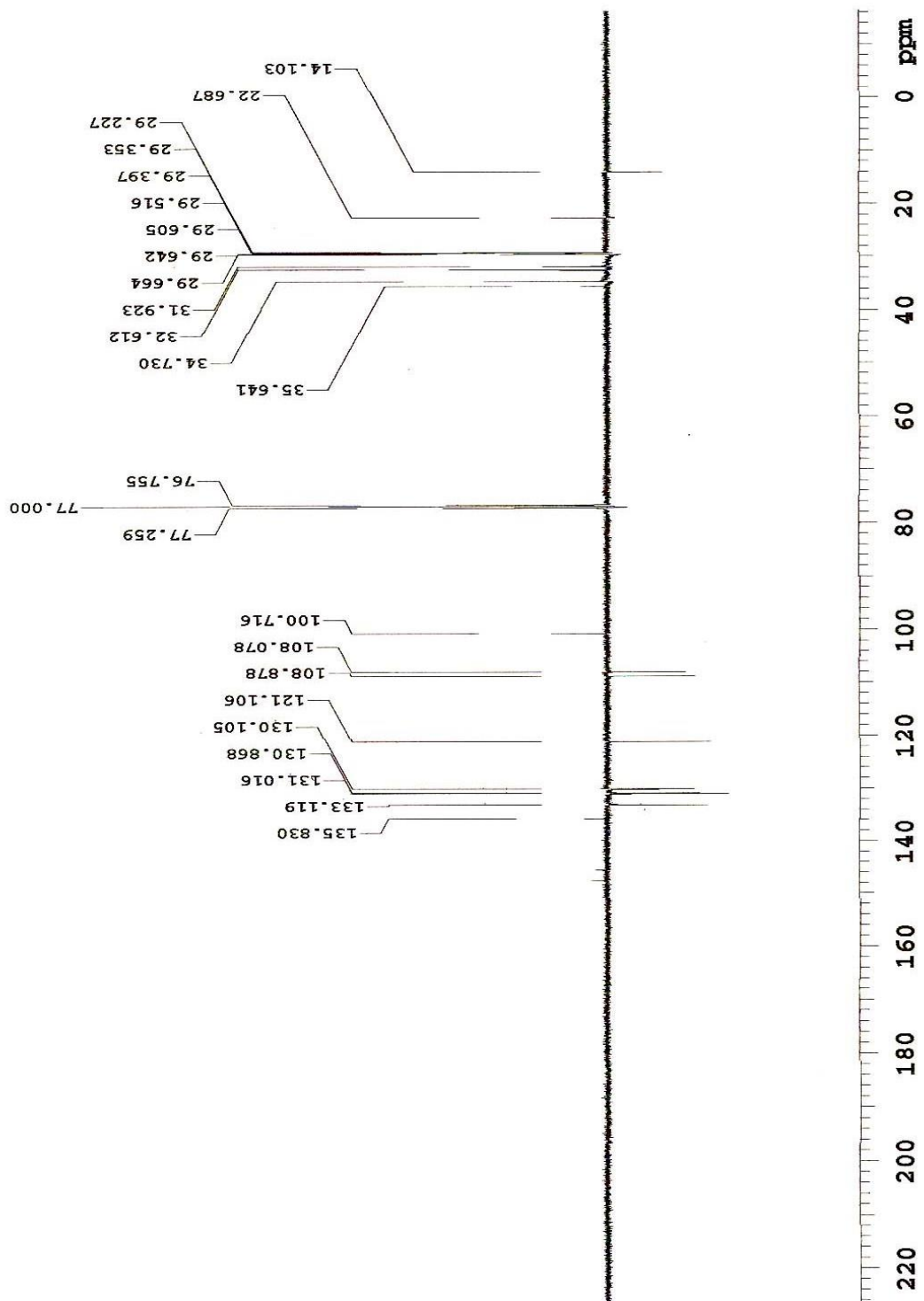
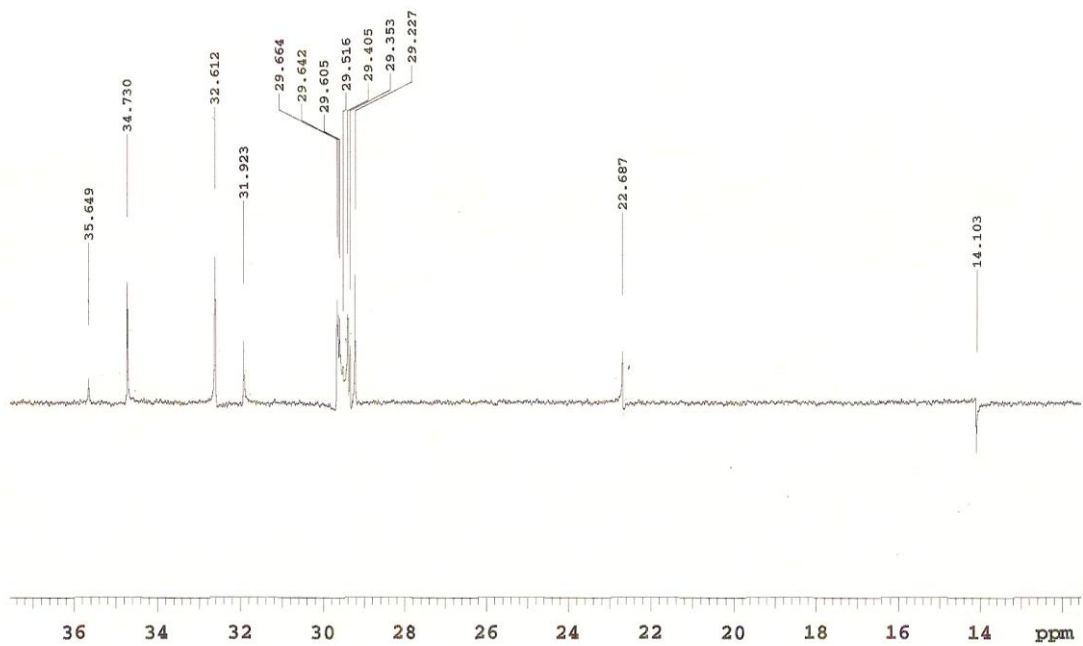
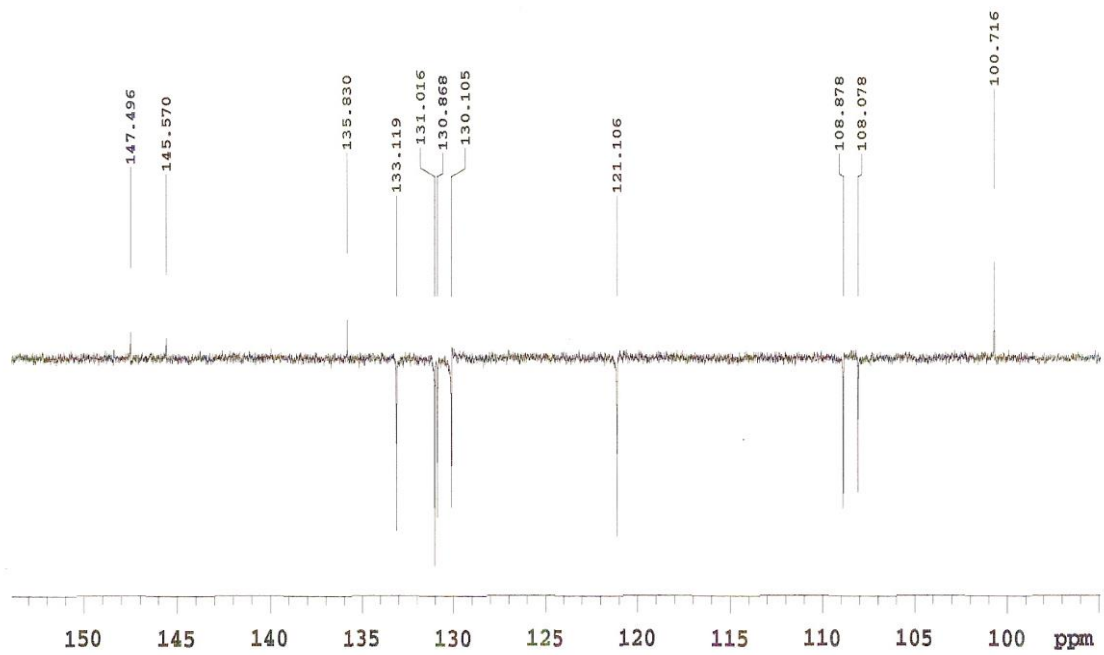
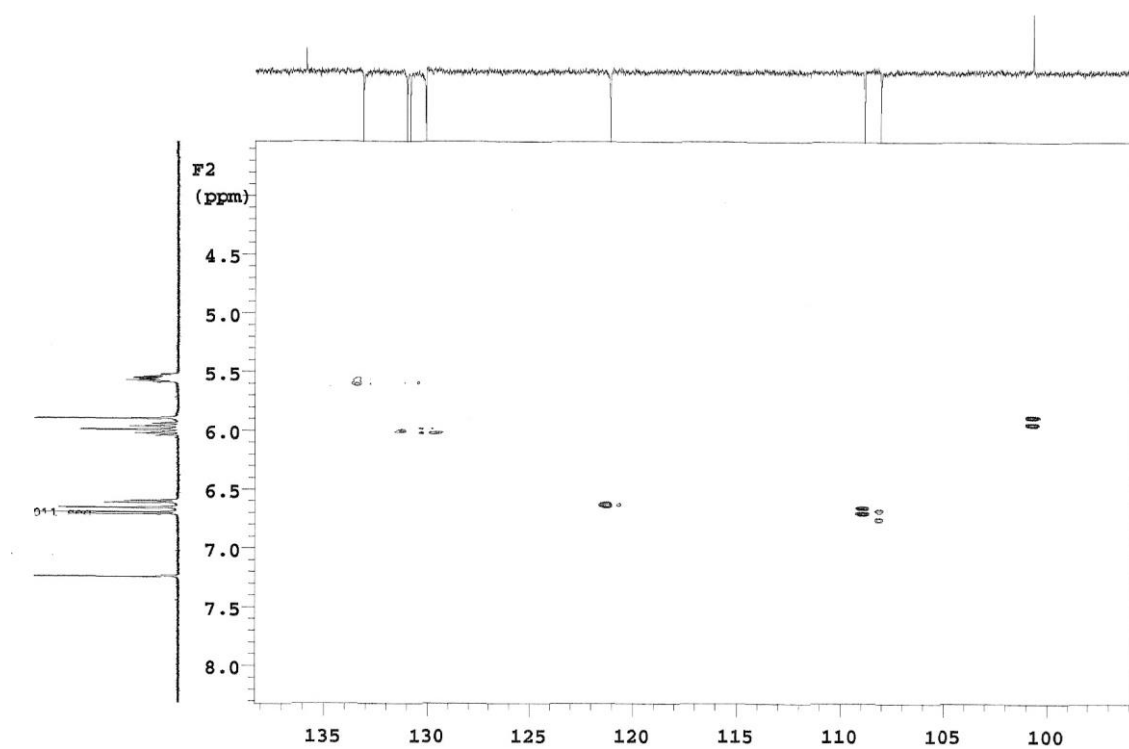
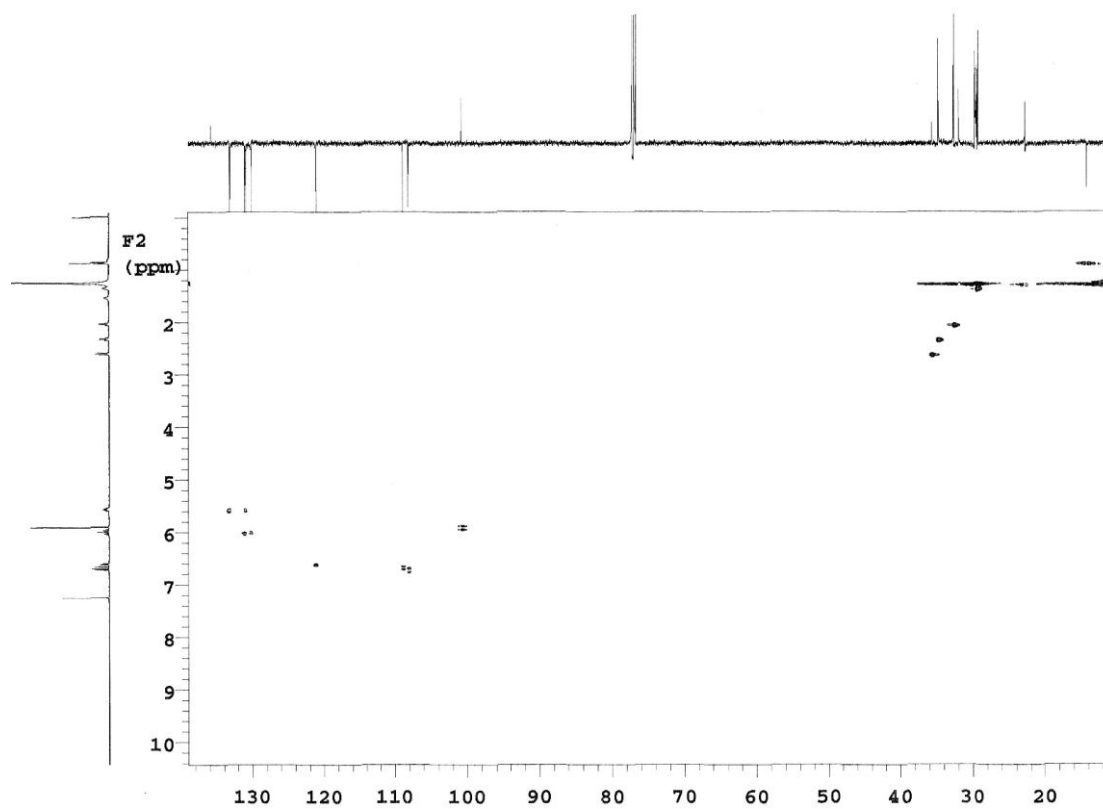


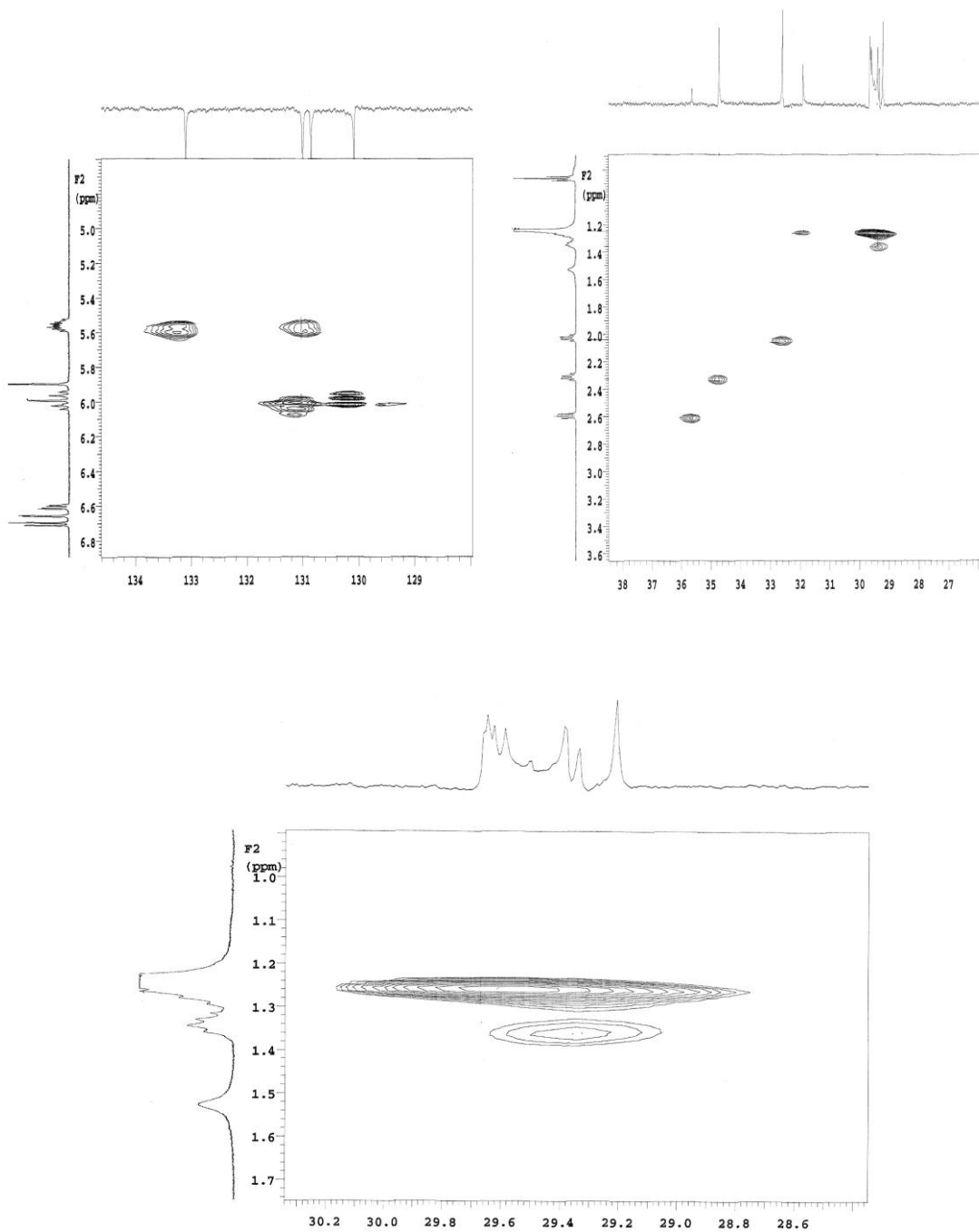
Figura 104: espectro de RMN de ^{13}C (δ , 125 MHz, CDCl_3) de Pmt-4



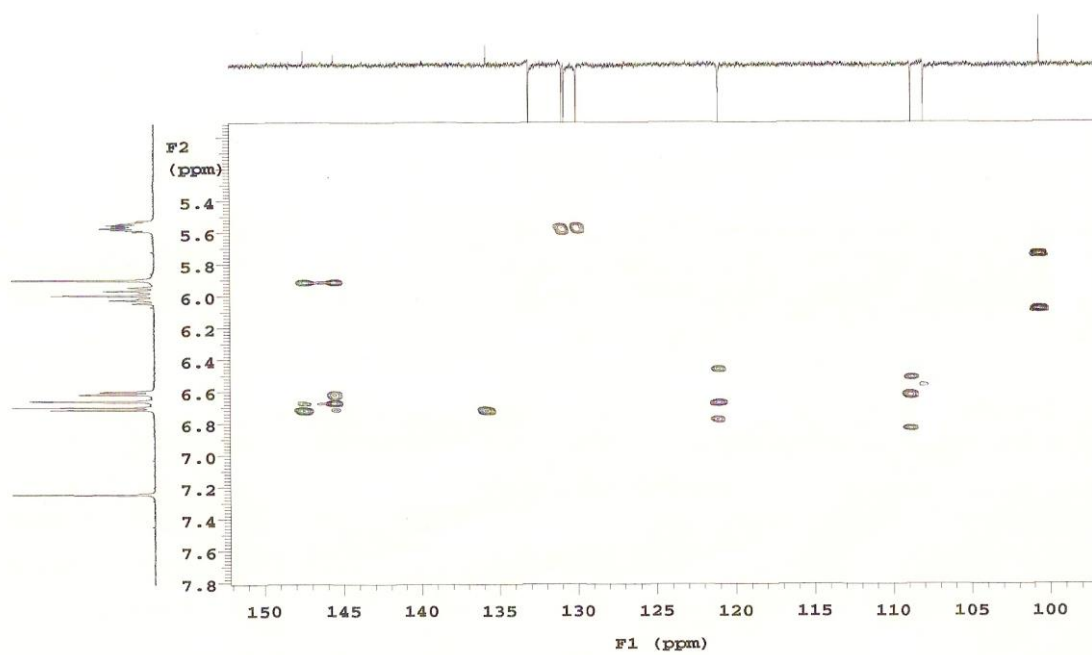
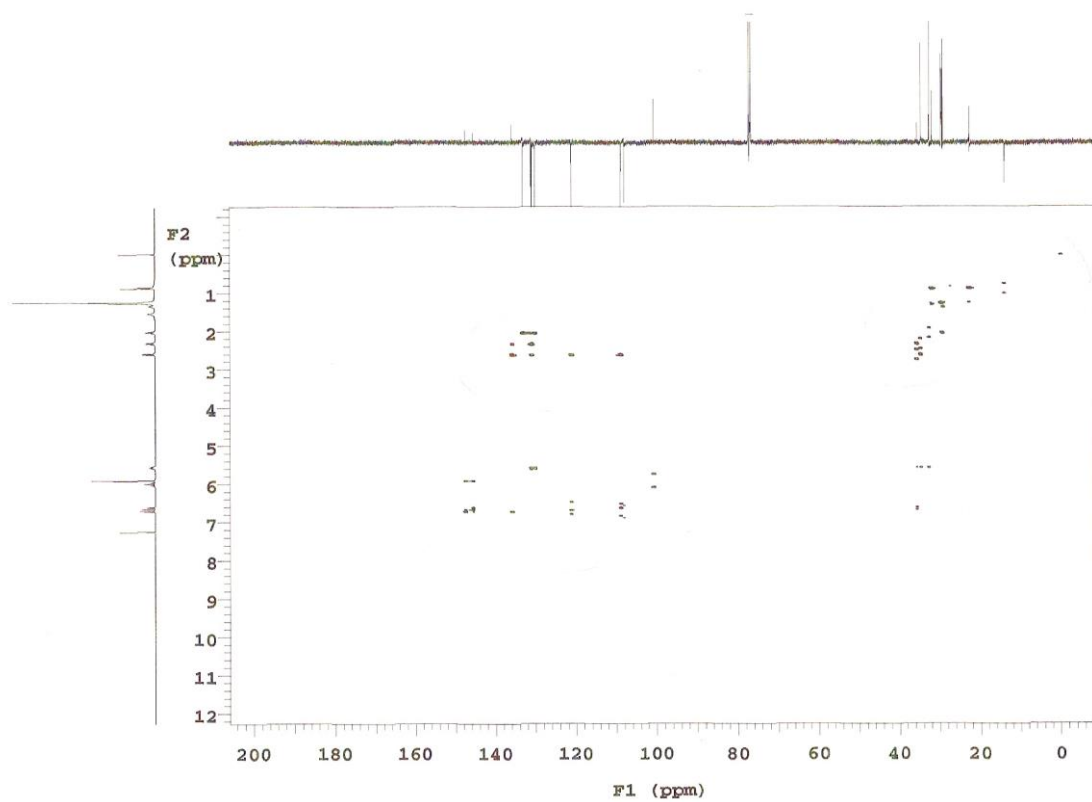
Figuras 105 e 106: expansões do espectro de RMN de ^{13}C (δ , 125 MHz, CDCl_3) de Pmt-4



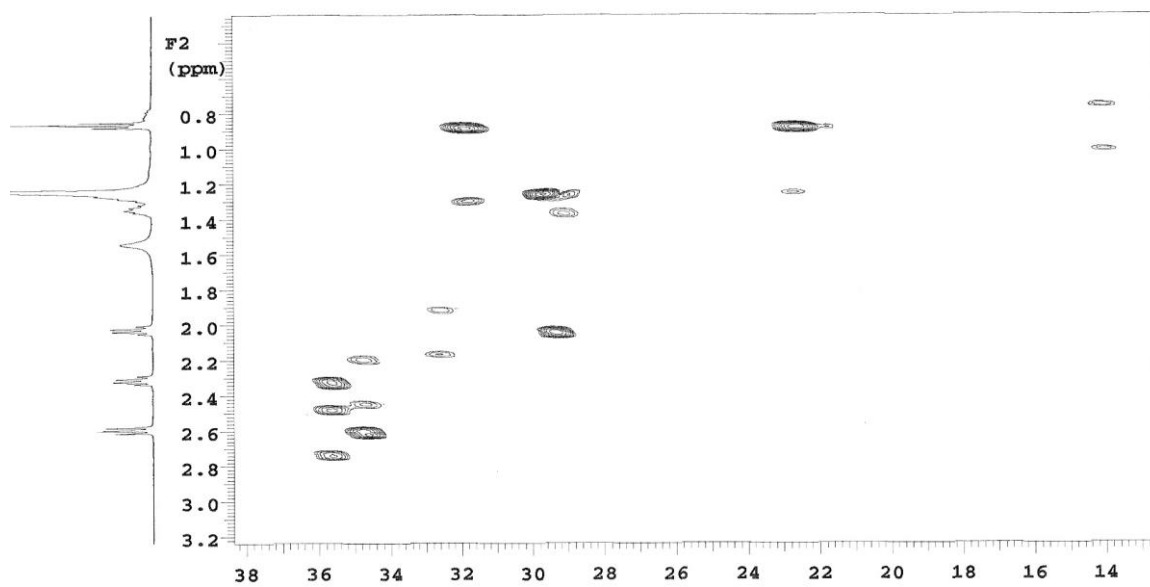
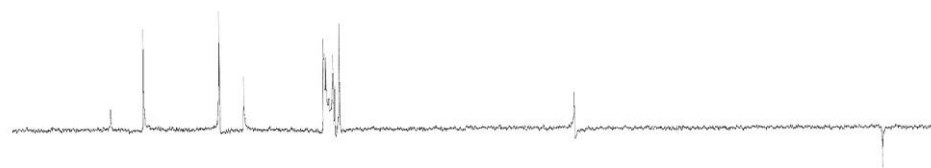
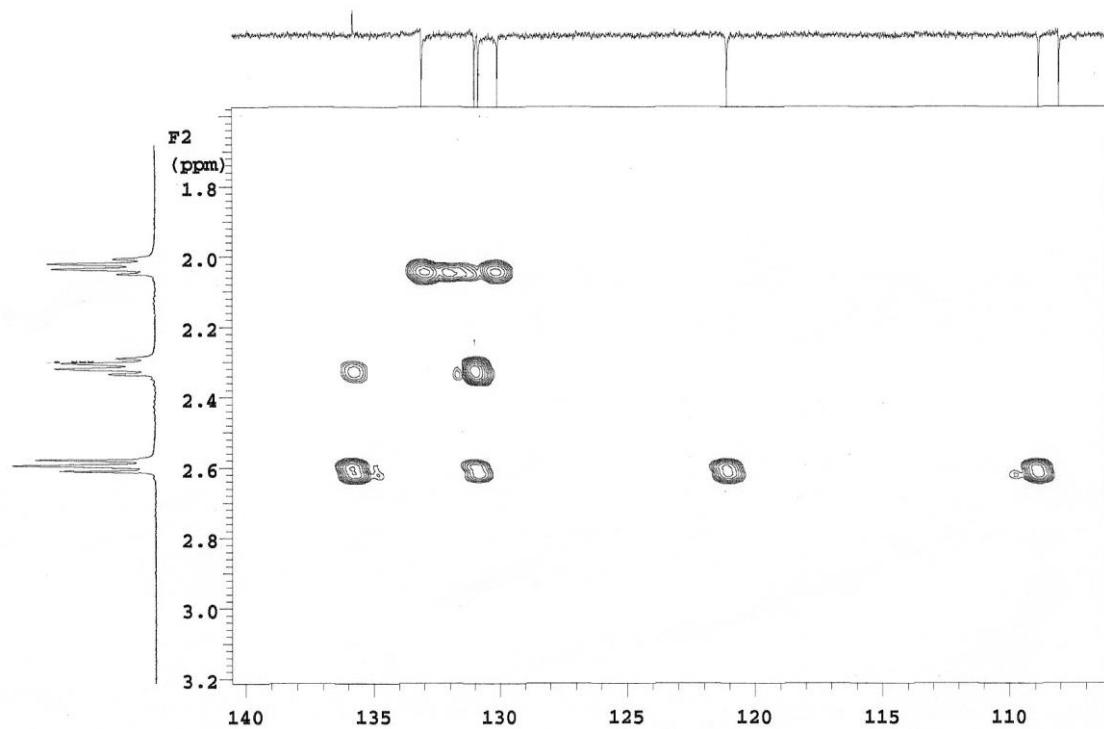
Figuras 107 e 108: espectro de correlação heteronuclear HMQC – $^1\text{H} \times ^{13}\text{C}$ de Pmt-4



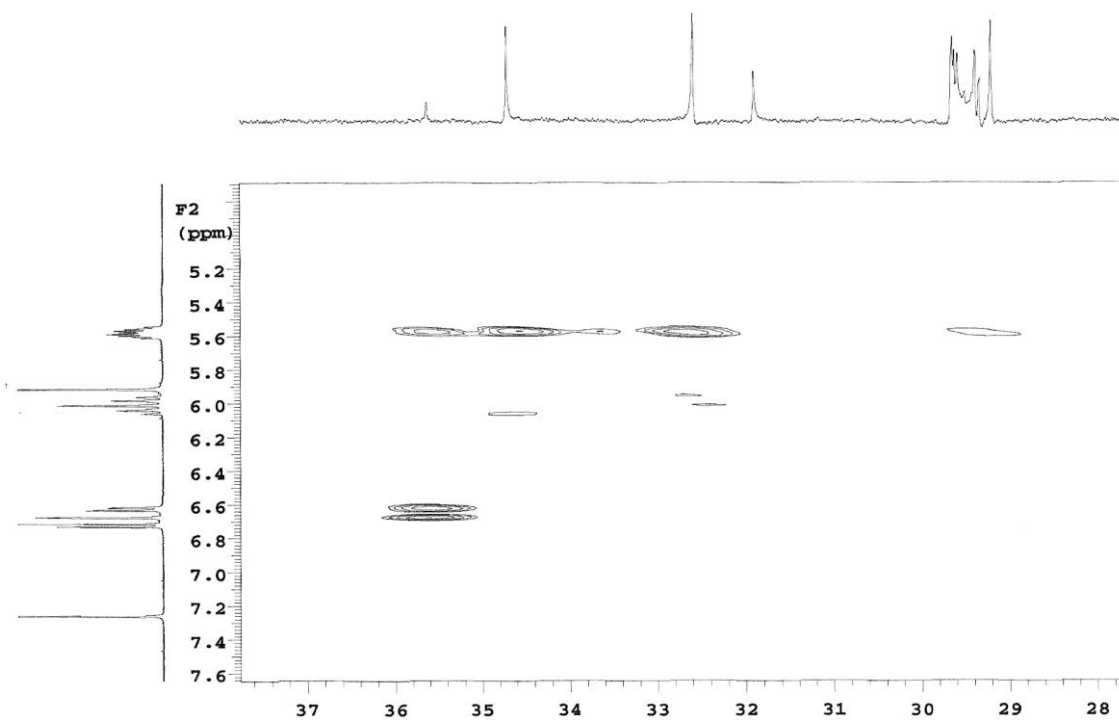
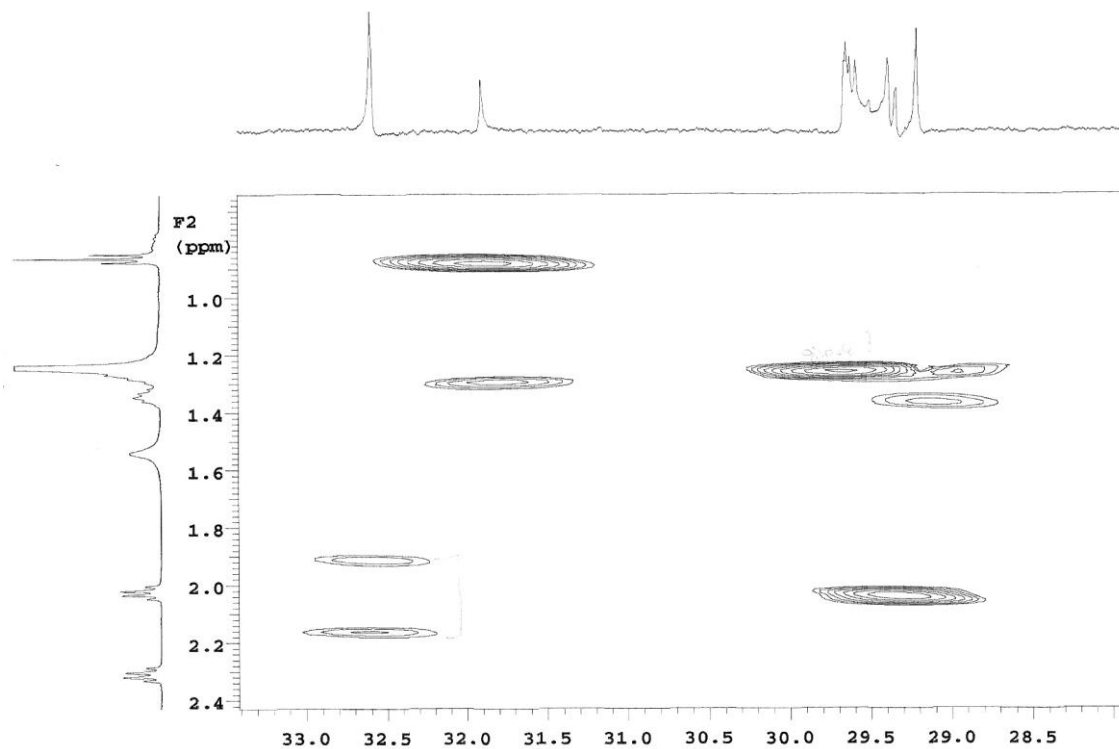
Figuras 109, 110 e 111: expansões do espectro de correlação heteronuclear HMQC – $^1\text{H} \times ^{13}\text{C}$ de Pmt-4



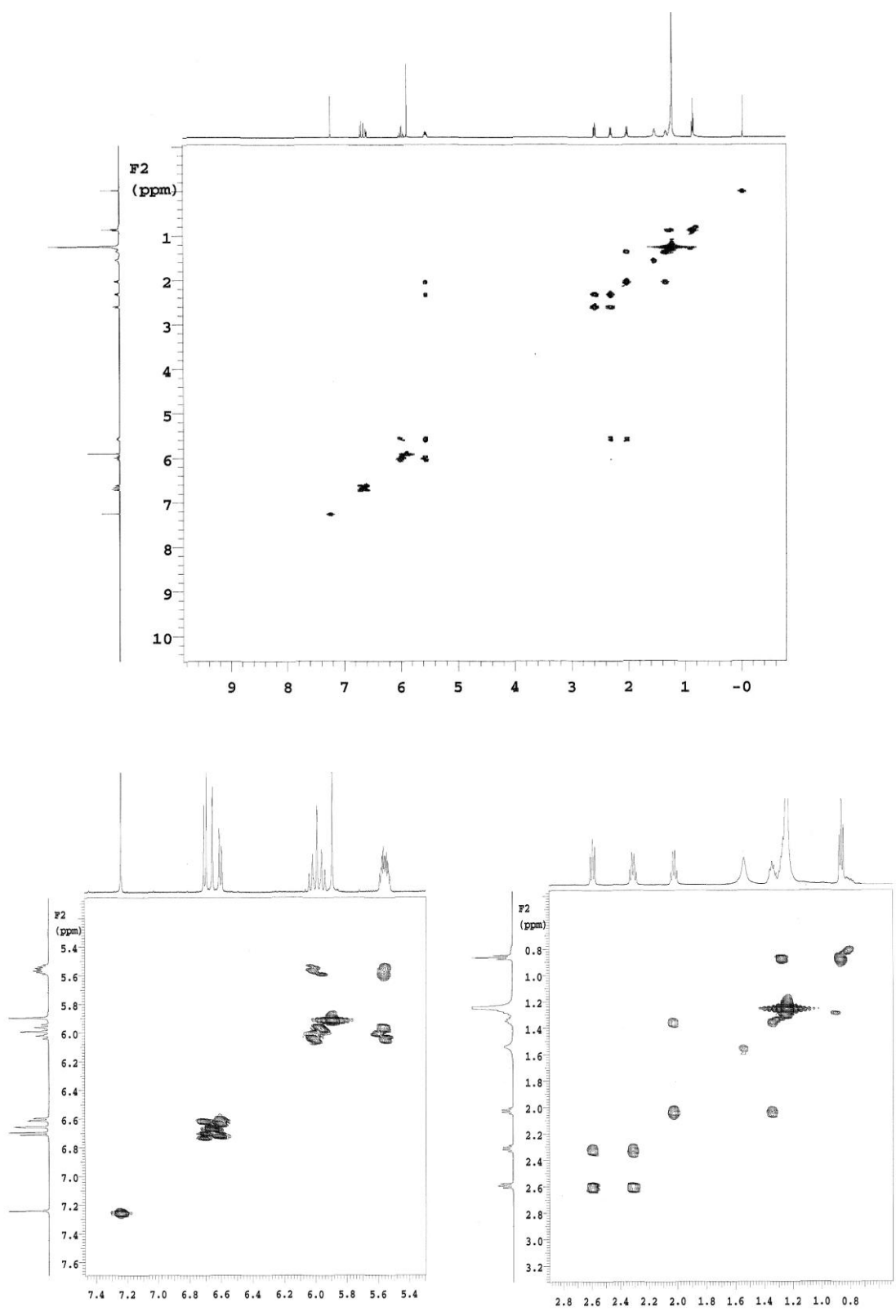
Figuras 112 e 113: expansões do espectro de correlação heteronuclear HMBC – $^1\text{H} \times ^{13}\text{C}$ de Pmt-4



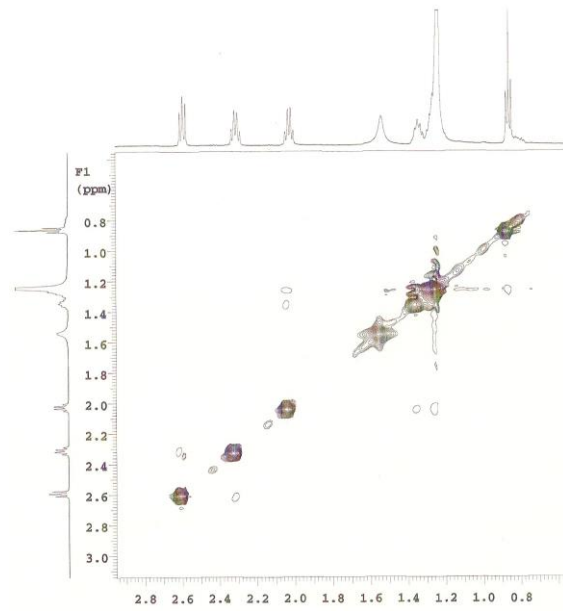
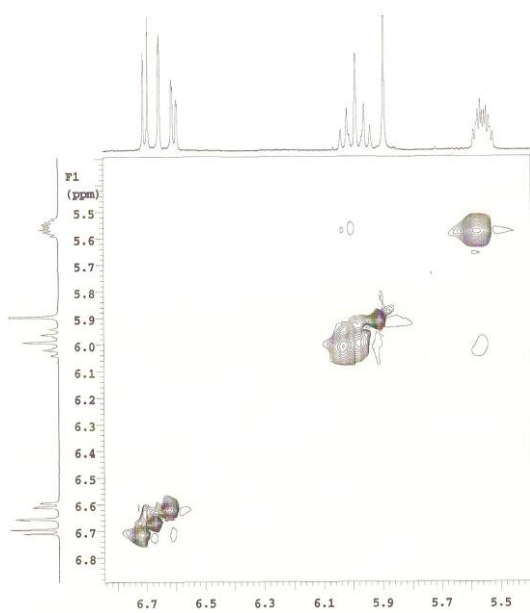
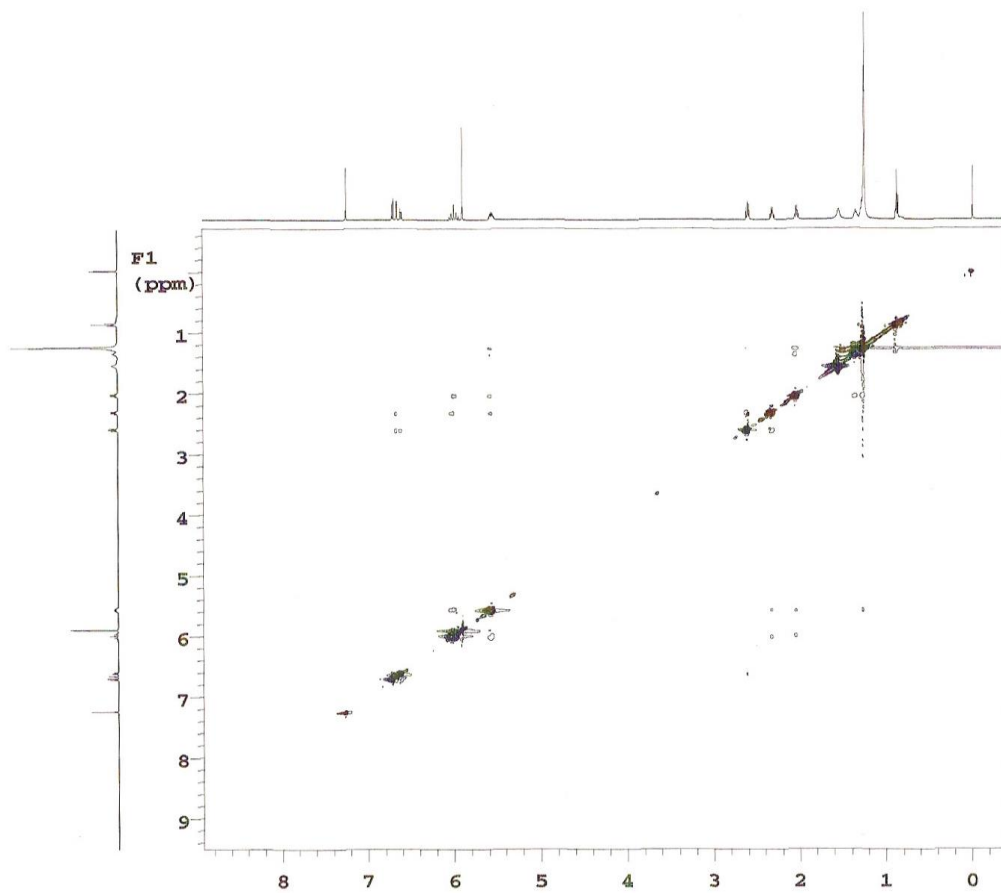
Figuras 114 e 115: expansões do espectro de correlação heteronuclear HMBC – $^1\text{H} \times ^{13}\text{C}$ de Pmt-4



Figuras 116 e 117: expansões do espectro de correlação heteronuclear HMBC – $^1\text{H} \times ^{13}\text{C}$ de Pmt-4

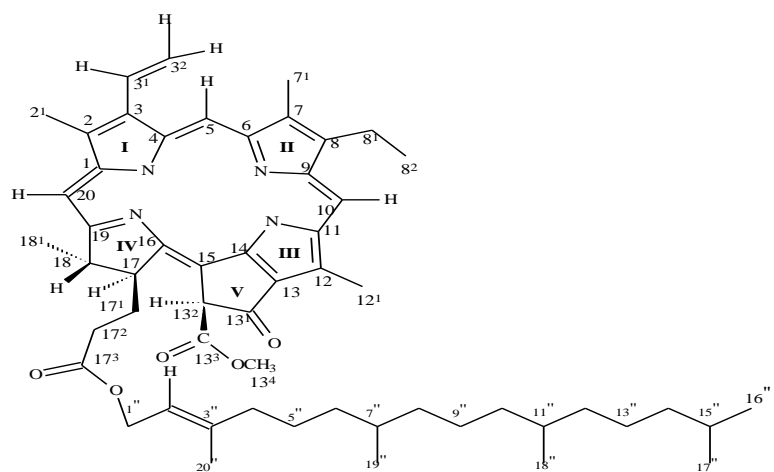


Figuras 118, 119 e 120: expansões do espectro de correlação homonuclear COSY – $^1\text{H} \times ^1\text{H}$ de Pmt-4



Figuras 121, 122 e 123: expansões do espectro de correlação homonuclear NOESY – $^1\text{H} \times ^1\text{H}$ de Pmt-4

5



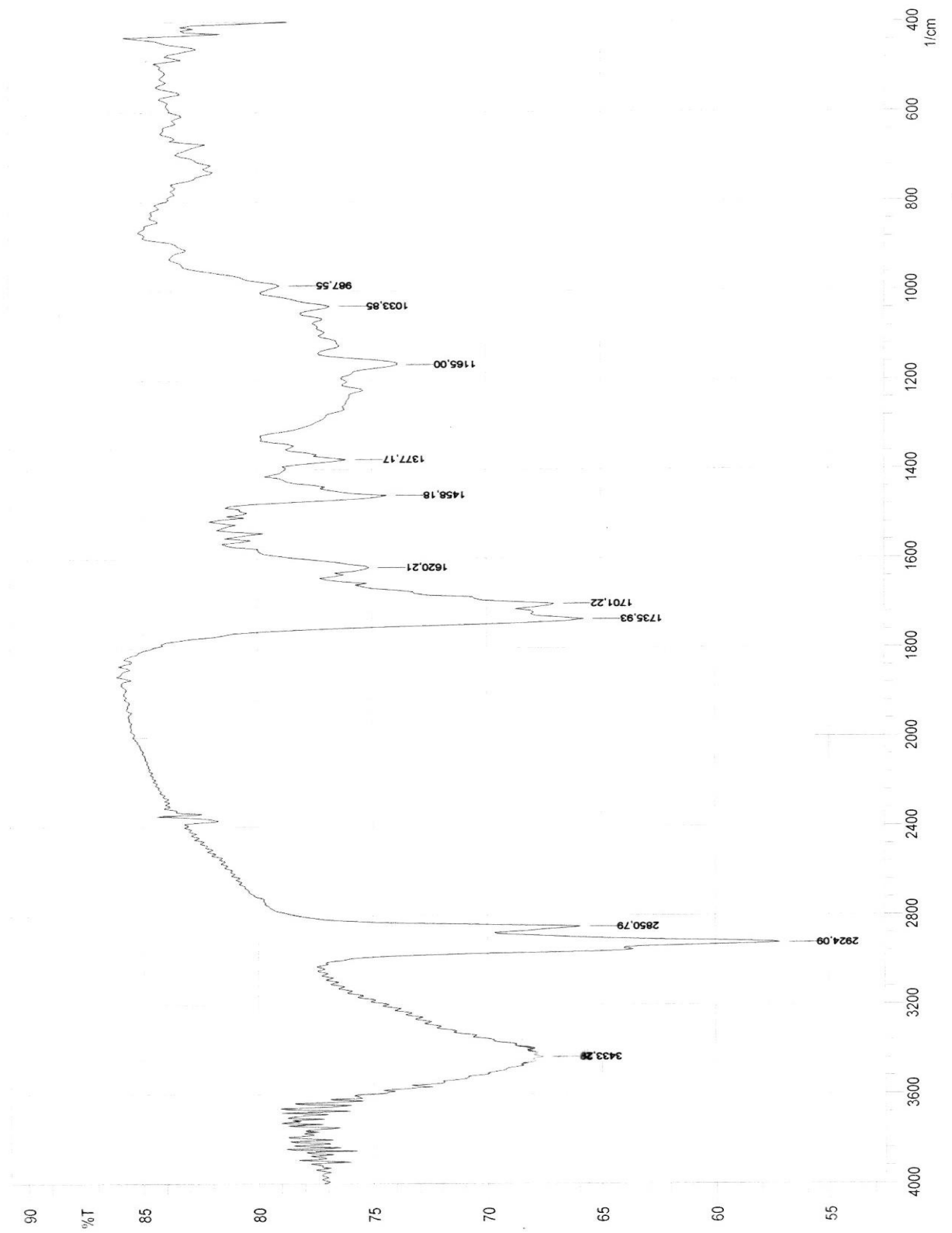


Figura 126: espectro no Infravermelho (λ_{max} , KBr, cm^{-1}) de Pmt-5

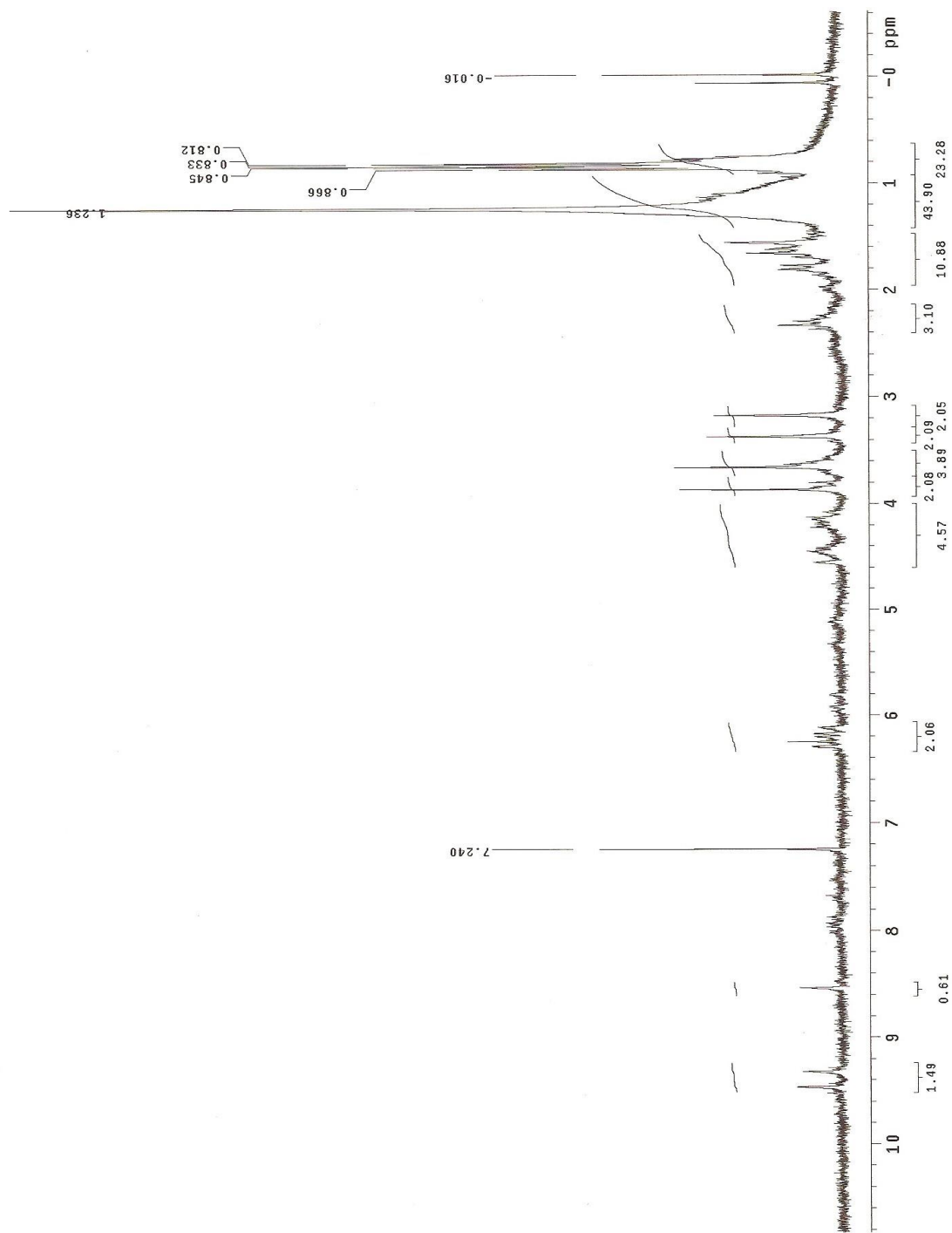


Figura 127: espectro de RMN de ^1H (δ , 200 MHz, CDCl_3) de Pmt-5

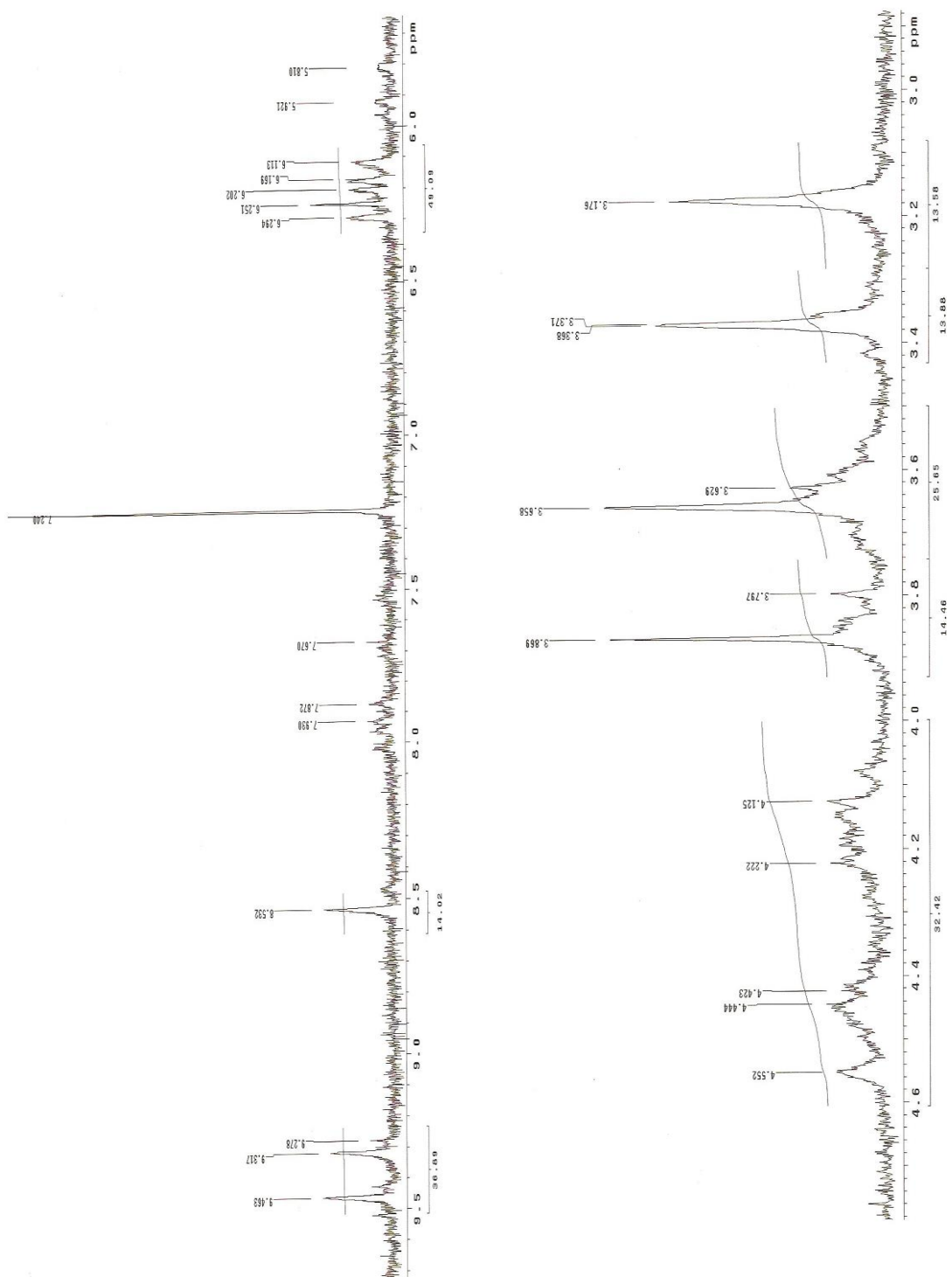


Figura 128 e 129: expansões do espectro de RMN de ^1H (δ , 200 MHz, CDCl_3) de Pmt-5

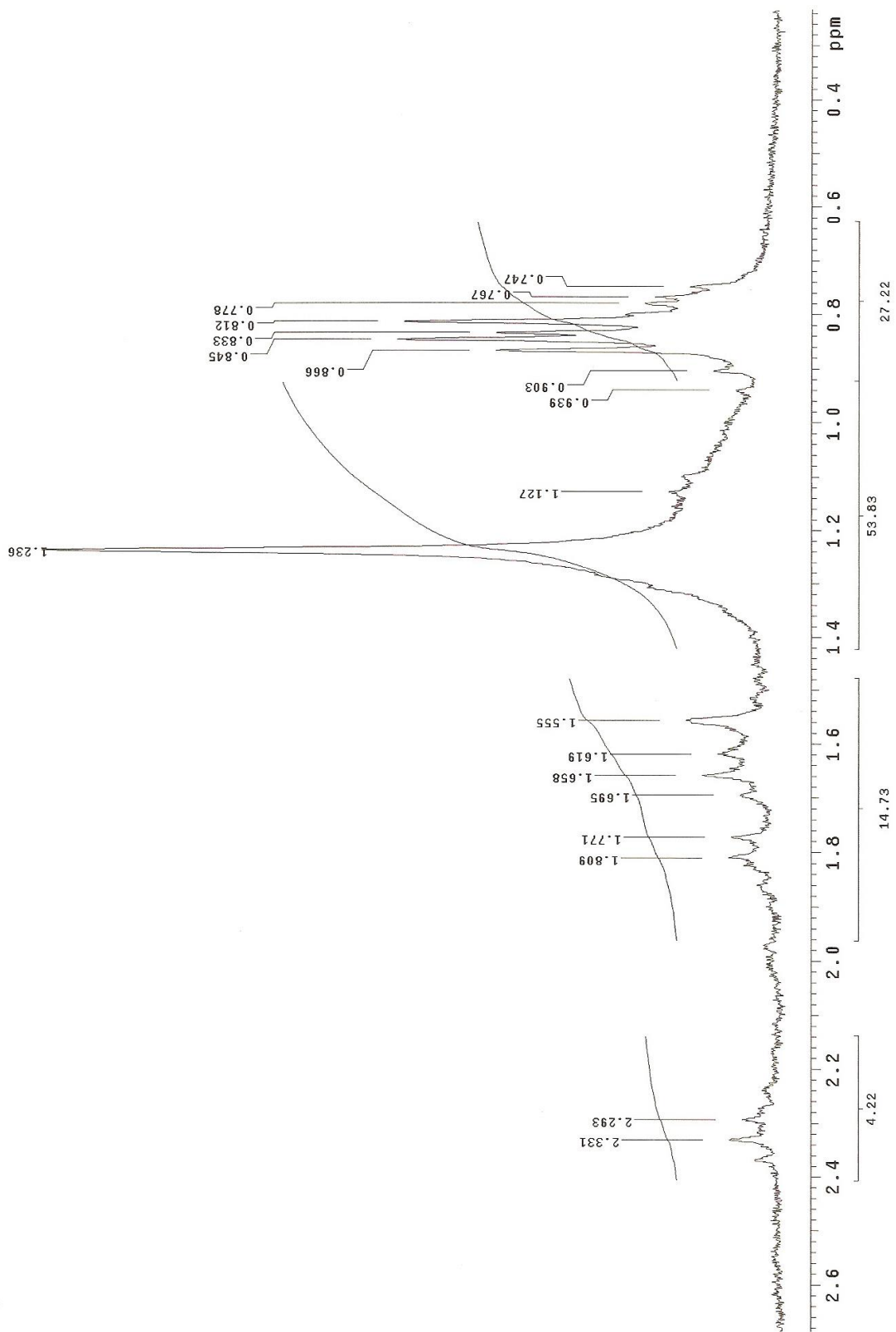


Figura 130: expansão do espectro de RMN de ^1H (δ , 200 MHz, CDCl_3) de Pmt-5

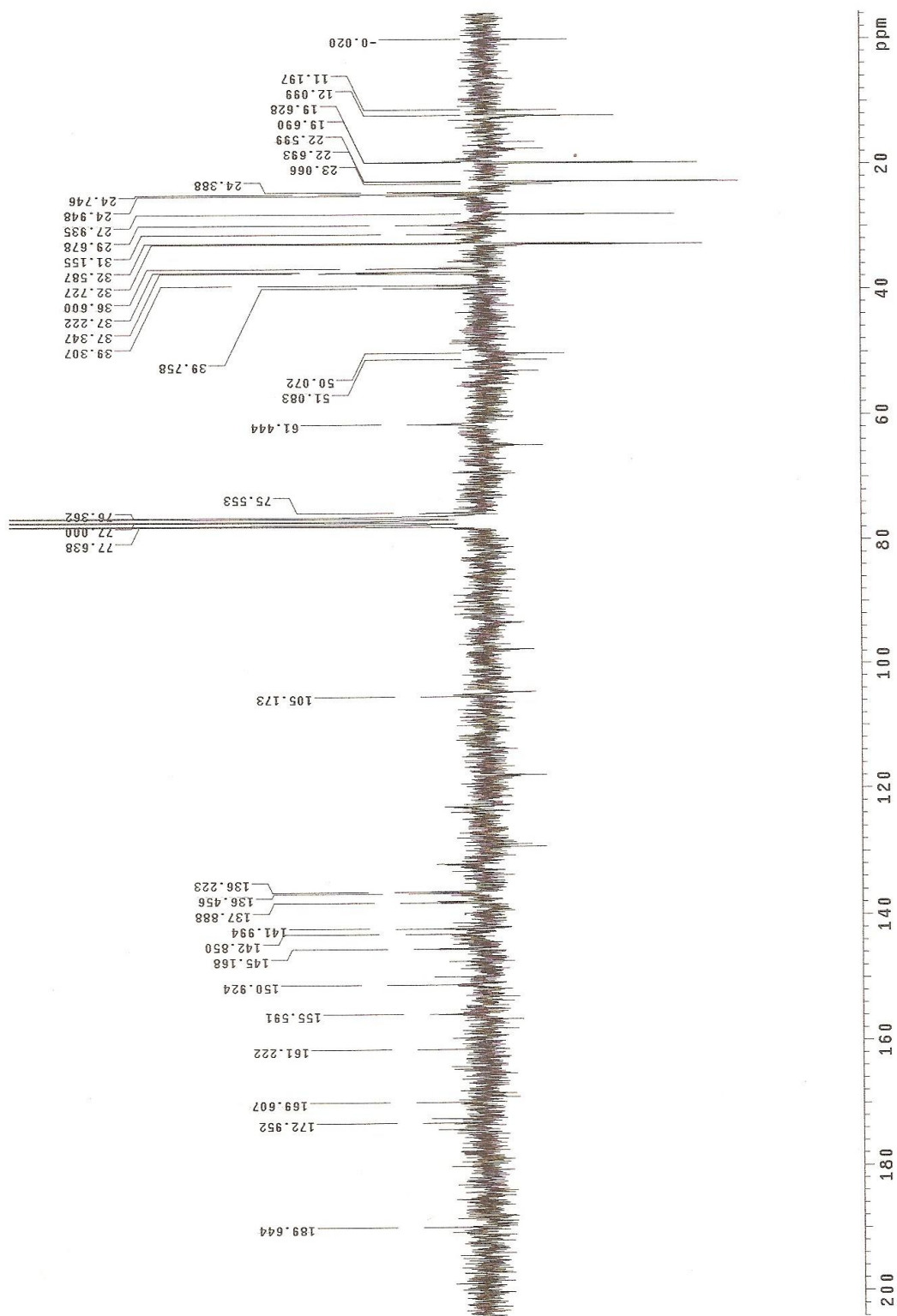


Figura 131: espectro de RMN de ^{13}C (δ , 50 MHz, CDCl_3) de Pmt-5

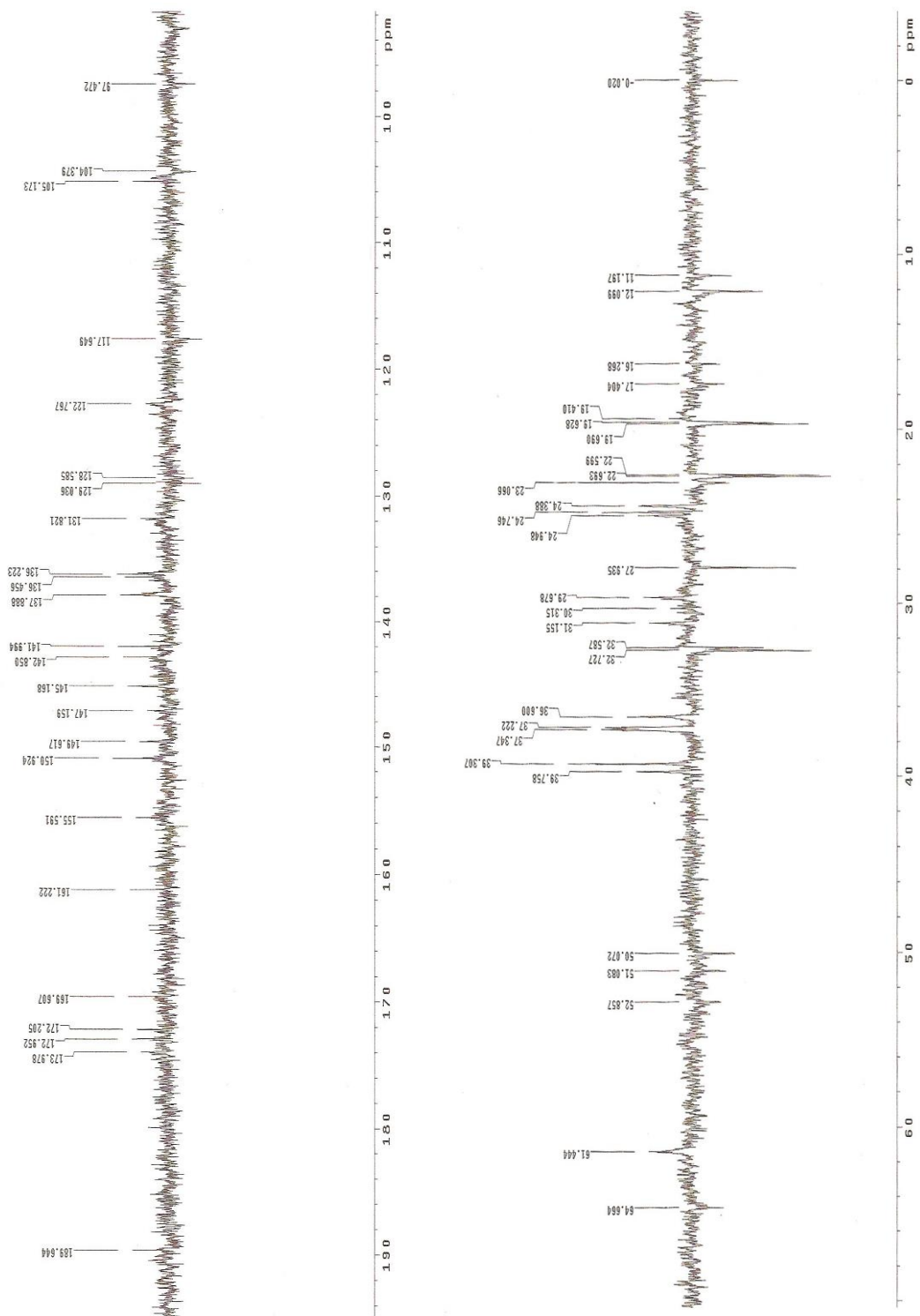


Figura 132 e 133: expansões do espectro de RMN de ^{13}C (δ , 50 MHz, CDCl_3) de Pmt-5

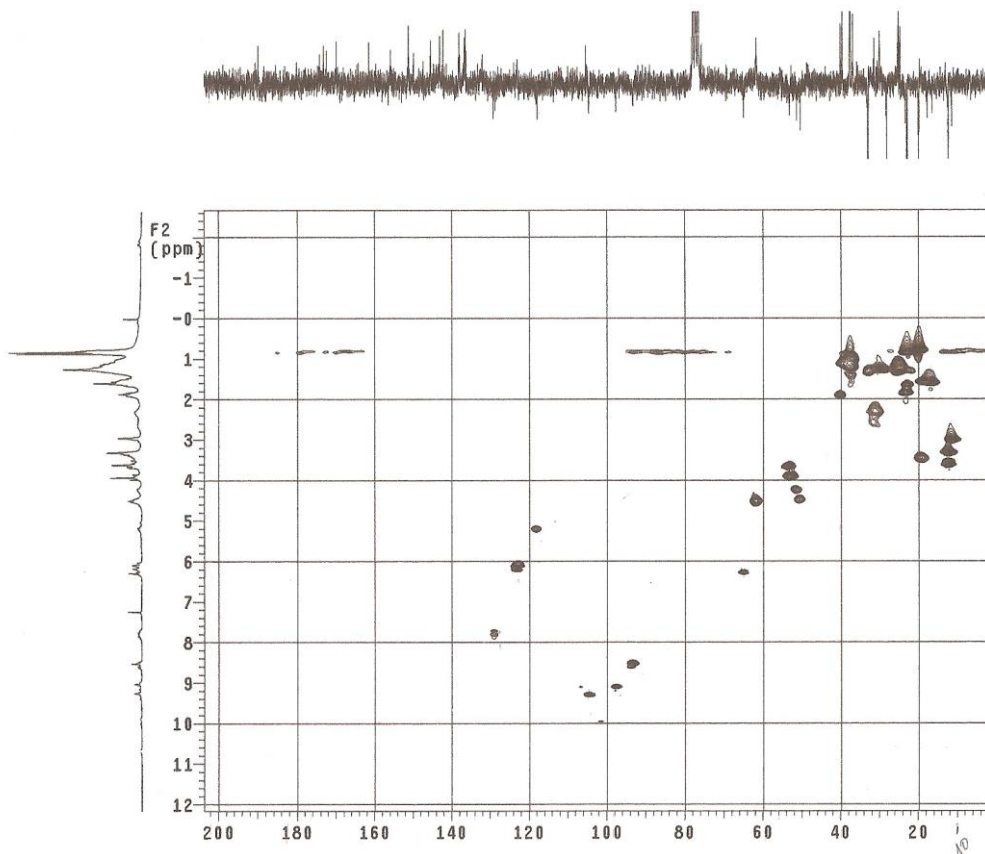


Figura 134: espectro de correlação heteronuclear HMQC – $^1\text{H} \times ^{13}\text{C}$ de Pmt-5

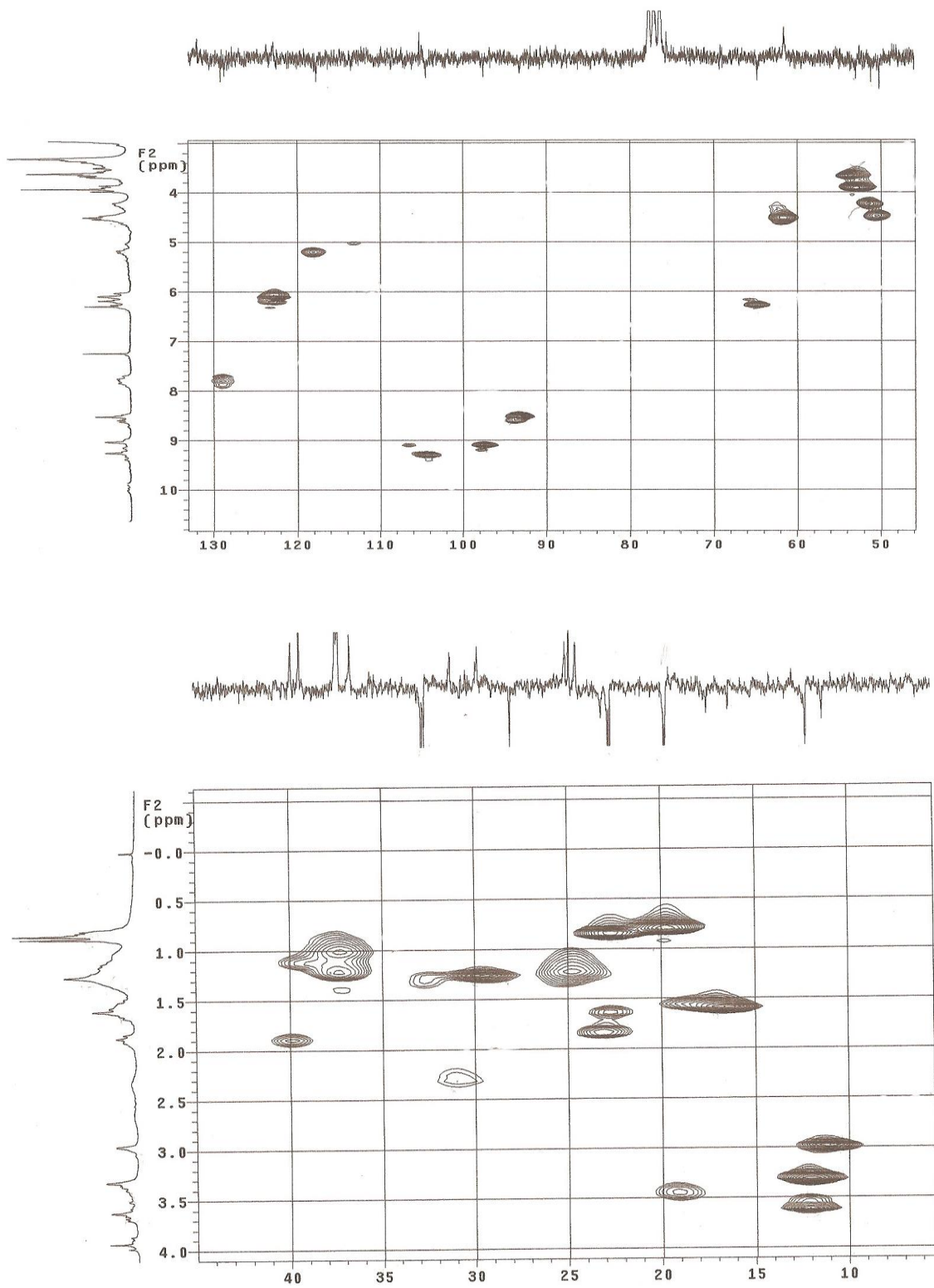


Figura 135 e 136: expansões do espectro de correlação heteronuclear HMQC – $^1\text{H} \times ^{13}\text{C}$ de Pmt-5

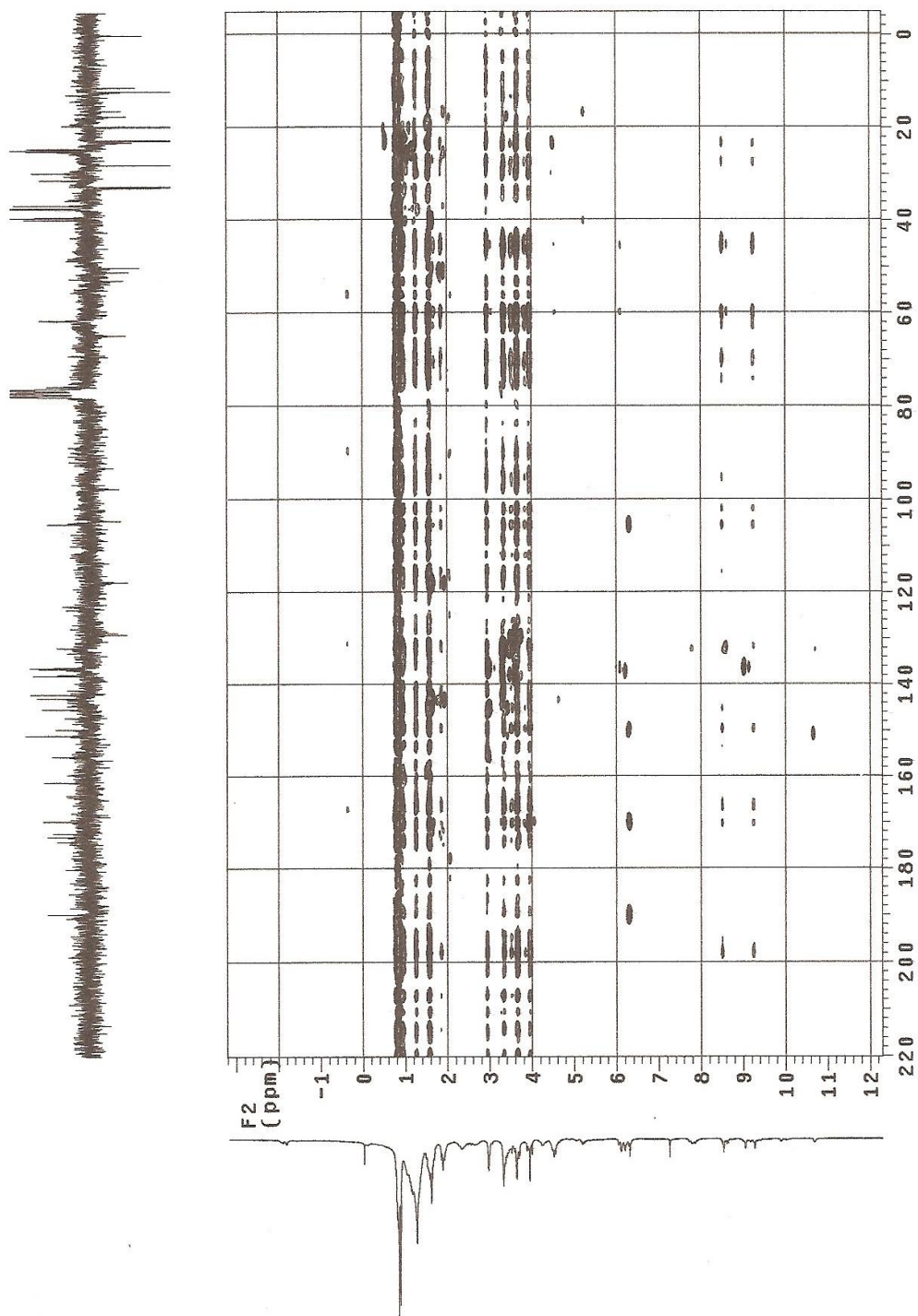


Figura 137: espectro de correlação heteronuclear HMBC – $^1\text{H} \times ^{13}\text{C}$ de Pmt-5

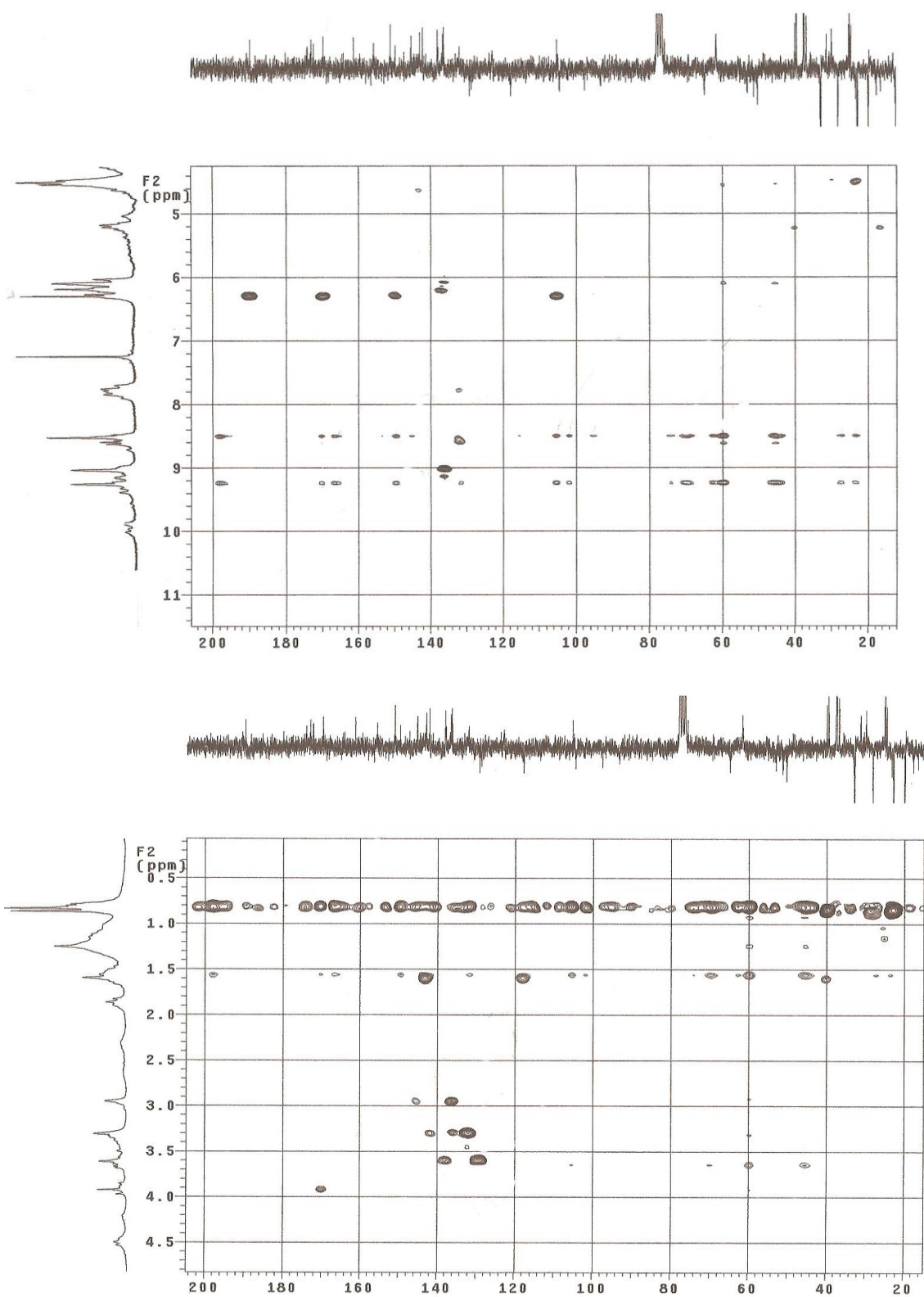


Figura 138 e 139: expansões do espectro de correlação heteronuclear HMBC – $^1\text{H} \times ^{13}\text{C}$ de Pmt-5

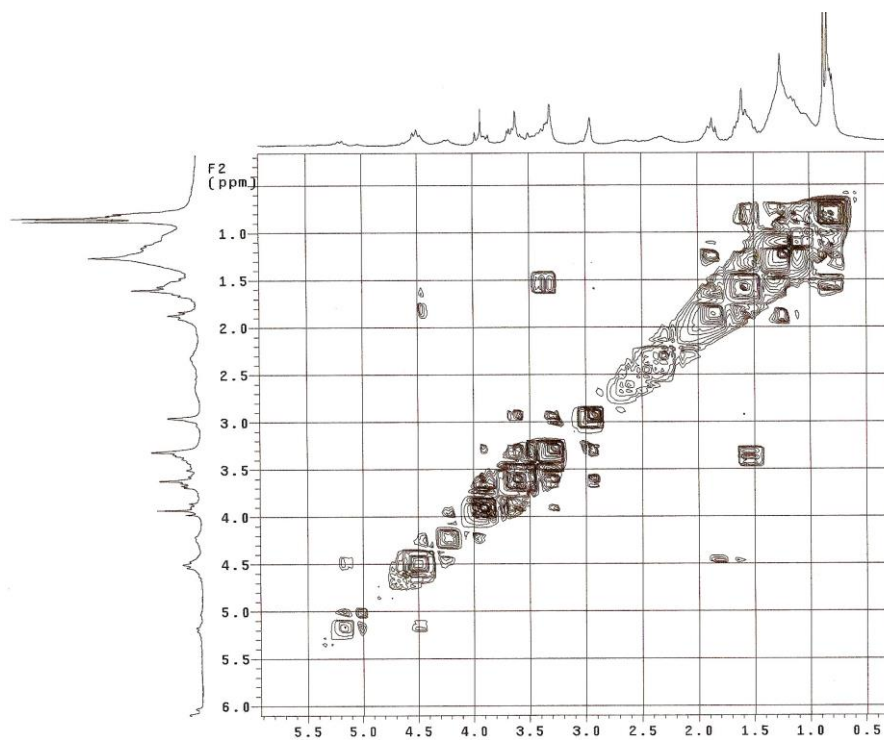
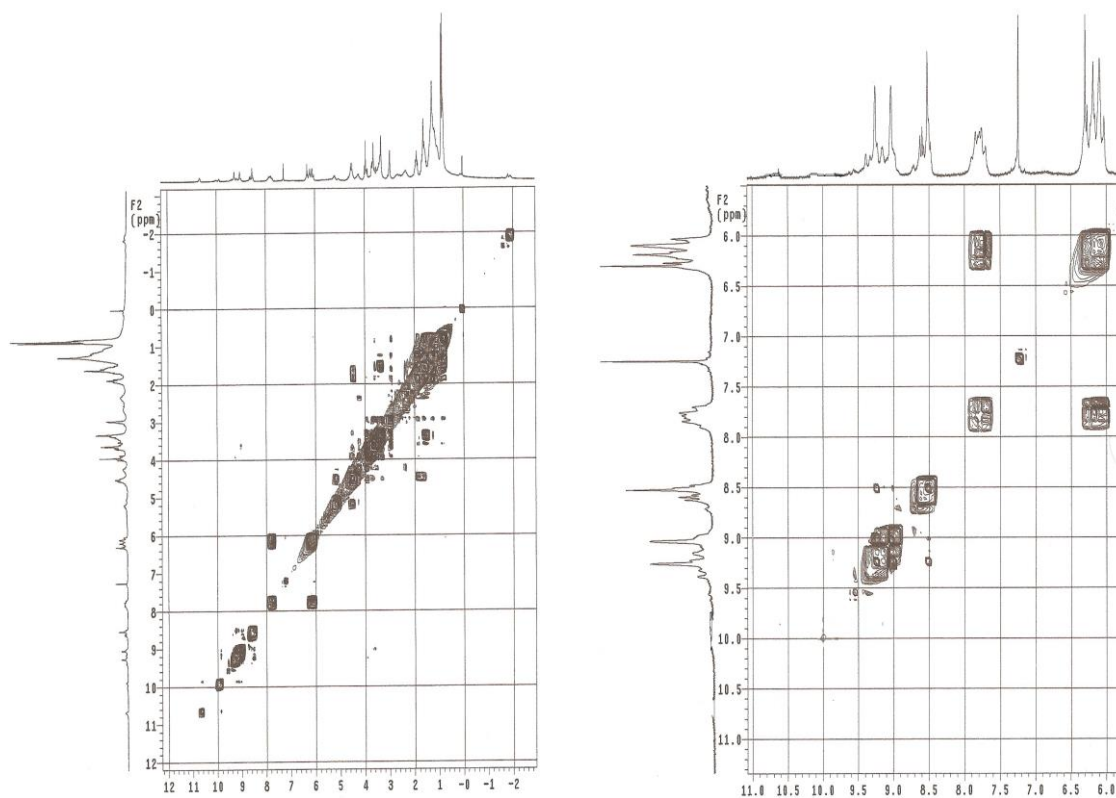


Figura 140, 141 e 142: expansões do espectro de correlação homonuclear COSY – $^1\text{H} \times ^1\text{H}$ de Pmt-5

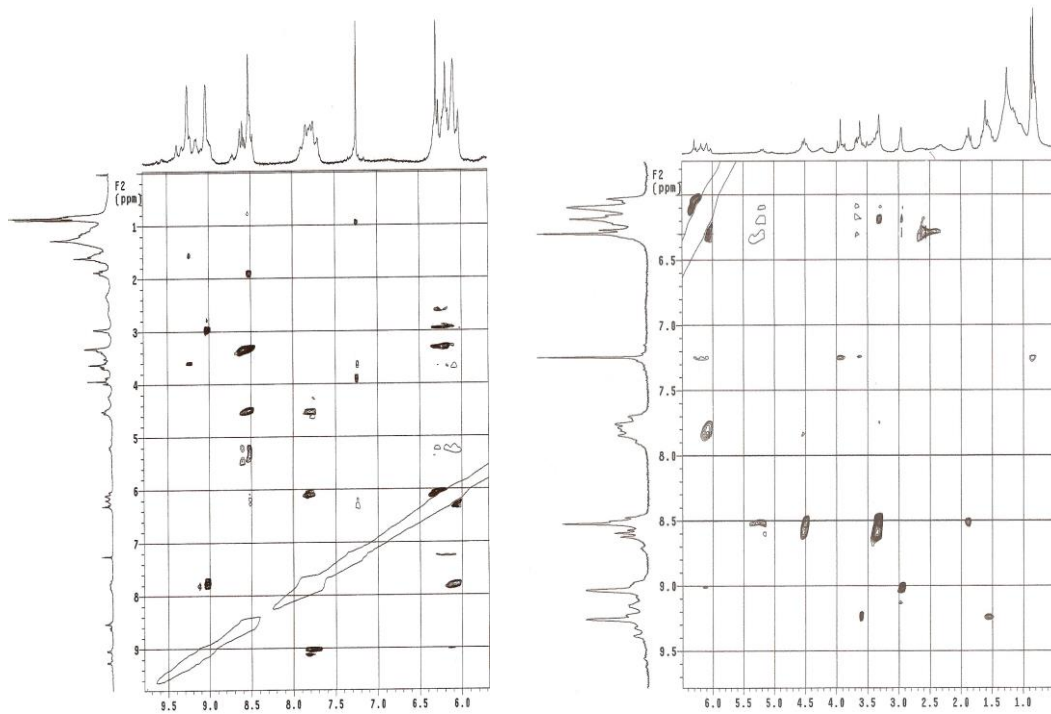
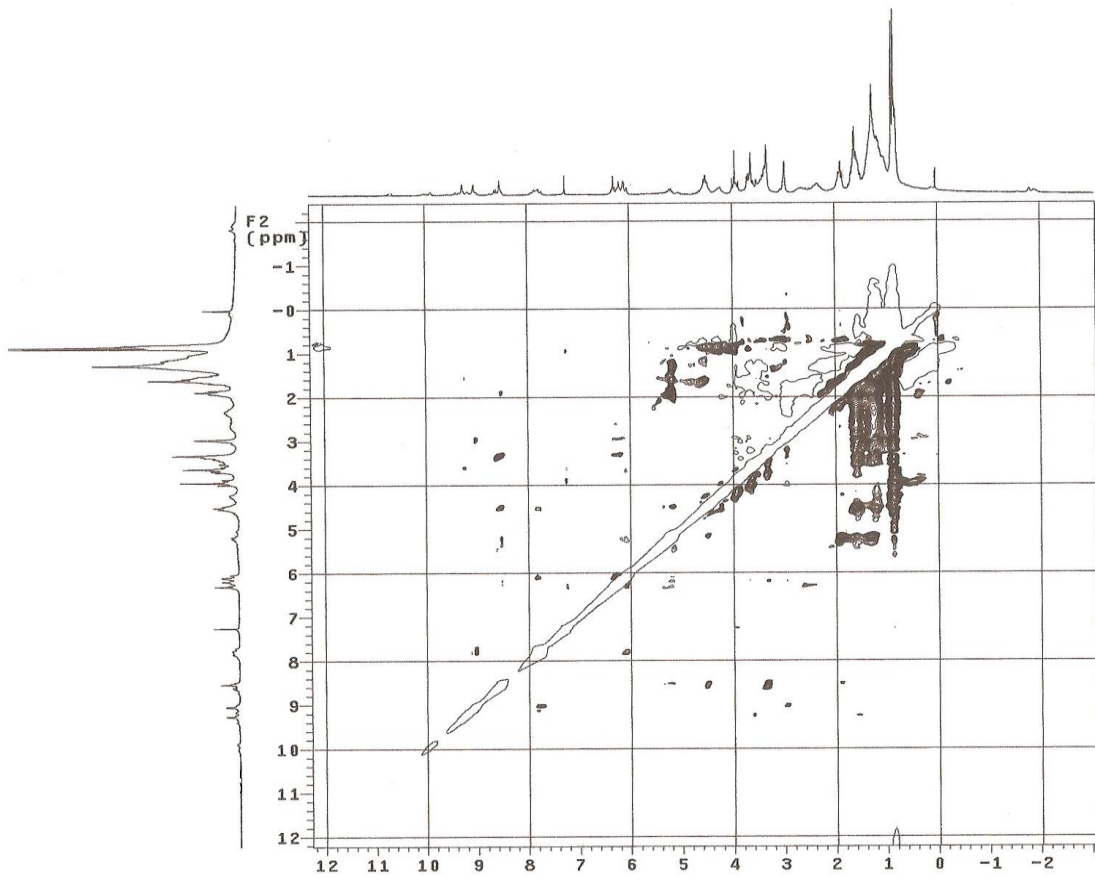


Figura 143, 144 e 145: expansões do espectro de correlação homonuclear NOESY – $^1\text{H} \times ^1\text{H}$ de Pmt-5

